2 6 4 11 1 8 8 % b Г Д О К Л А Д Ы

XLVI, № 5 1968

Խմբագրական կոլեգիա

է Գ. ԱՖՐԻԿՅԱՆ, կենսաբանական գիտութունների թեկնածու, Ա. Թ. ԲԱԲԱՅԱՆ,
2002 ԳԱ թղթակից-անդամ, Ա. Ա. ԹԱԼԱԼ3ԱՆ, 2002 ԳԱ թղթակից-անդամ, Վ. Մ.
ԹԱՌԱՅԱՆ, 2002 ԳԱ թղթակից-անդամ,
Վ. Հ. ՀԱՄԲԱՐՉՈՒՄՅԱՆ, ակադեմիկոս, Վ. Հ.
ՂԱԶԱՐՅԱՆ, ՀՍՍՀ ԳԱ թղթակից-անդամ
ատ. խմբագրի տեղակալ), Ս. Հ. ՄԻՐՋՈ3ԱՆ, ՀՍՍՀ ԳԱ թղթակից-անդամ, Ս. Ս.
ՄԿՐՏՉՅԱՆ, ՀՍՍՀ ԳԱ ակադեմիկոս (պատ.
Խմբագիր), Օ. Մ. ՍԱՊՈՆՋՅԱՆ, ՀՍՍՀ ԳԱ
թղթակից-անդամ, Մ. Լ. ՏԵՐ-ՄԻՔԱՅԵԼՅԱՆ.
2002 ԳԱ թղթակից-անդամ։

Редакционная коллегия

В. А. АМБАРЦУМЯН, академик, Э. І АФРИКЯН, кандидат бнологических наук, А. Т. БАБАЯН, чл. корресп. АП АрмССР, В. О. КАЗАРЯН, чл. корресп. АН АрмССР (зам. отв. редактора), С. А МИРЗОЯН, чл-корресп. АН АрмССР, С. С. МКРТЧЯН, академик АН АрмССР, А. Г. НАЗАРОВ, академик АН АрмССР (отв. редактор), О. М. САПОНДЖЯН, чл. корресп. АН АрмССР, А. А. ГАЛАЛЯН, чл. корресп. АН АрмССР, В. М. ТАРАЯН, чл. корресп. АН АрмССР, М. Л ТЕР-МИКАЕЛЯН, чл. корресп. АН АрмССР.

PNUULTUANPBNPE

UUPb	rus	Ի 4Ա
------	-----	-------------

Ռ. Ա. Շիբիկյան $-y'=kA(x)y$ տեսքի սիստեմի սպեկտրալ անալիղը կիսաառանցքի	0.0
TI'-	20 21
ԱՌԱՁԳԱԿԱՆՈՒԹՅԱՆ ՏԵՍՈՒԹՅՈՒՆ	
Մ. Ա. Ալեքսանդրյան — Շրջանային խոռոչով Թուլացված կիսահարԹության համար	21
ԻՆԺԵՆԵՐԱԿԱՆ ՍԵՑՍՄՈԼՈԳԻԱ	
է. Վ. Շանսուվաrյան, Վ. Ք. Ղուկասյան — Քարային որմածքի մոդելացման մի հնա- րավորության վերաբերյալ	22
ՖԻԶԻԿԱ	
Հայկական ՍՍՀ ԳԱ Թղթակից-անդամ Գ. Մ. Ավագյանց, Վ. Մ. Հաrությունյան — Խորը մակարդակներ ունեցող կիսամաղորդչի միջով հոսանքի անցման հարցի շուրջը Պ. Հ. Բեզիբգանյան, Մ. Ա. Նավասարդյան — Ռենտգենյան ռեֆլեքսի ստրուկտուրայի և ինտենսիվության կախումը ջերմաստիճանային գրադիենտի մեծությունից և ուղղությունից	
Յու. Կ. Մելիք-Ալավեւդյան — Ռադիոգալակտիկաների ռադիոլուսատվության ֆունկ- ցիայի մասին	
ՖԻԶԻԿԱԿԱՆ ՔԻՄԻԱ	
Թ. Տ. Ղուկասյան, Հայկական ՍՍՀ ԳԱ Թղթակից-անդամ Հ. Հ. Չալթիկյան, Ն. Մ. Բեյլեrյան — Ացետալդեհիդի գոյացման կինետիկան ջրային լուծույթում դիկթիլամինա- կթանոլը պերսուլֆատով օքսիդացնելիս	2
ՀԱՆՔԱԲԱՆՈՒԹՅՈՒՆ	
Ս. Հ. Ալիքգյոզյան, է. Մ. Նալբանդյան — Հյուսիսային Հայաստանի մի քանի կոլչեդա- նային հանքավայրերում քլորիտների միջին բեկման ցուցիլների (N _m) փոփոխության վերաբերյալ	2
የኮበ ₽ ኮሆኮԱ	
ա. Գ Մովաեսյան, Ռ Գ. Քամալյան — ՆԱԴ-սադաքքվի համադրումը ՆԱԴ-ից և ֆումարաքնվեց ճարացների համարե	2
ՄԻՋԱՏԱ ԲԱՆՈՒԹՅՈՒՆ	
Ա. Որիստեւ — Պարագիտ ճանձերի-տախինների (Diptera Tachinidae) նոր	20
Բովանդակություն XLVI հատորի	2

СОДЕРЖАНИЕ

МАТЕМАТИКА Р. А. Ширикян—Спектральный анализ систем вида $y' = \kappa A(x)y$ на полуоси Г. А. Гараков—Об одном свойстве провообразных элементов поля Z_P	209 213
теория упругости	
М. А. Александрян — Контактная задача для полуплоскост і, ослабленной круговой полостью	217
инженерная сеисмология	
Л. В Шахсуварян, В. К. Гукасян — Об одной везможности моделирования каменной кладки . ,	224
ФИЗИКА	
Член-корреспондент АН Армянской ССР Г. М Авакьяни В. М. Арутюнян— К вопросу о прохождении тока через полупроводник, содержащий глубокие уровни	228 232
АСТРОФИЗИКА	
Ю. К. Мелик-Алавердян — О функции радиосветимости радиогалактик	
ФИЗИЧЕСКАЯ ХИМИЯ	
Т. Т. Гукасян, член-корреспондент АН Армянской ССР О. А. Чалтыкян, Н. М. Бейлерян—Кинетика образования ацетальдегила при окислении диэтиламиноэтанола персульфатом в водных растворах	244
МИНЕРАЛОГИЯ	
С. О. Ачикгезян, Э. М. Налбандян—К вариации среднего показателя прелом- ления (N _m) хлоритов на некоторых колчеданных месторождениях северной Армении.	248
ВИОХИМИЯ	
Академик АН Армянской ССР Г. Х. Бунятян, А. А. Есаян, А. Р. Арменян—О проникновении гамма-аминомасляной кислоты через гематоэнцефалический барьер С Г. Мовсесян, Р. Г. Камалян—К вопросу образования НАД-сукцината из добавленных НАД и фумарата в митохондриальной фракции печеночной ткани кро-	252
ЛИКОВ	258
ЭНТОМОЛОГИЯ В. А. Рихтер—Новый вид паразитических мух-тахин (Diptera, Tachinidae)	
из Закавказья	264
Содержание XLVI тома	270

2ЦЗЧИЧИ UU2 ԳԻЅПԻРЗПРОТОГР ЦЧИТЫГРИЗР ДВЧПРЗВЪВГ ДОКЛАДЫ АКАДЕМИИ НАУК АРМЯНСКОЙ ССР XLVI

MATEMATUKA

УДК 517.948

Р. А. Ширикян

Спектральный анализ систем вида y' = kA(x) y на полуоси

(Представлено чл.-корр. АН Армянской ССР Р. А. Александряном 10/II 1968)

1. Спектральным анализом оператора $l_h(BL_2\equiv L_2(0,\infty))$

$$ly = -y'' + q(x)y$$

 $y'(0) - hy(0) = 0$

занимался М. А. Наймарк (1). Им получены доказательство теоремы разложения по собственным и присоединенным функциям оператора l_h и некоторые результаты о спектре. В частности он доказал, что если q(x) удовлетворяет условию

$$\sup |q(x)| \exp(\varepsilon x) < \infty, \ \varepsilon > 0,$$
 (1)

то оператор l_h имеет конечное число собственных значений. Б. С. Павлов (2) получил более точный результат. А именно: условие (1) можно заменить условием

$$\sup |q(x)| \exp (\varepsilon Vx) < \infty, \varepsilon < 0.$$

В настоящей статье рассматриваются аналогичные вопросы для уравнения:

$$y' = kA(x)y, \quad x \geqslant 0, \tag{2}$$

где A(x) — квадратная матрица порядка 2n, собственные значения которой равны

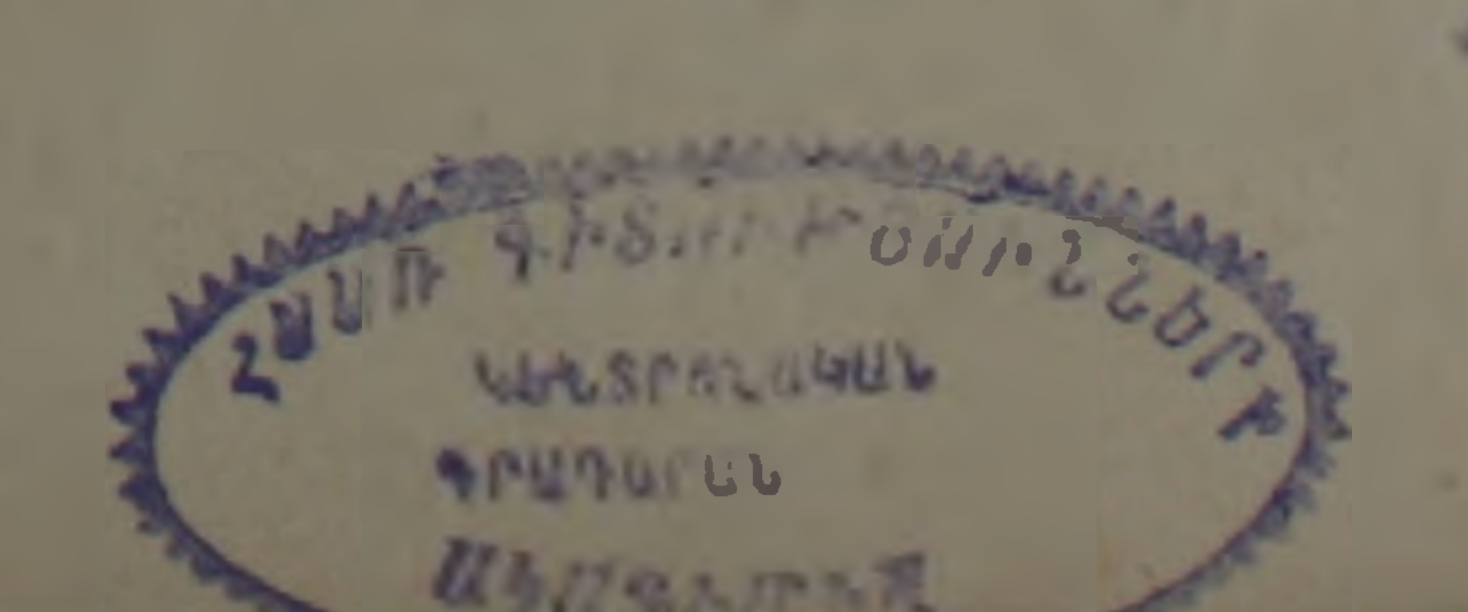
 $\lambda_j=i\rho_j(x),$

где $\rho_j(x) \to c_j \neq 0$, ∞ при $x \to \infty$. Числа c_j — вещественны, различны, половина из них — положительны, половина — отрицательны.

Введем оператор

$$l=\frac{d}{dx}-kA(x).$$

Пусть D- совокупность всех вектор-функций $y\in L_2$, все компоненты которых абсолютно непрерывны в каждом конечном интервале [0, a), a>0 и таких, что $ly\in L_2$. Пусть $\Omega=\|\omega_{lj}\|$ произвольная квадратная магрица порядка 2n, ранг которой равен n. Через D_2 обозна-



чим совокупность всех вектор-функций $y \in D$ таких, что $\Omega_y(0) = 0$. Через L_2 обозначим оператор в L_2 с областью определения D_2 и L_2 у при $y \in D_2$. Пусть $\omega_{l_1}, \; \omega_{l_2}, \cdots, \; \omega_n$ — линейно независимые строки матрицы Ω . Обозначим $\Omega_0(k)$ матрицу с элементами

$$\Omega_0(k) = (\omega_{l_m}, y_l(0, k)), \quad 1 \leqslant m, \ l \leqslant n,$$

где под скалярным произведением понимается матричное умножение строки ω_{l_m} на столбец у_l.

В работе доказывается, что если

$$||A'(x)|| \le c \exp(-\varepsilon \sqrt{x}), \quad c > 0, \quad \varepsilon > 0,$$

то число собственных значений оператора L2 конечно.

2. Сформулируем основные условия на уравнения (2).

 1° lim $A(x) = A(+\infty)$ существует, конечна и невырождена.

2°
$$\lim_{x\to +\infty} ||A'(x)|| = 0$$
, $||A'(x)|| \in L_1 \equiv L_1(0, \infty)$

 $3^{\circ} \|A'(x)\|^2 + \|A''(x)\| \in L_1.$

Введем диагональные матрицы Λ_0 и Λ_1 с элементами

$$(\Lambda_0)_{ii} = \lambda_i, \qquad (\Lambda_1)_{ii} = \lambda_i^{(1)},$$

где λ_i определяется формулой (3), $\lambda_i^{(1)} = -(T_0^{-1} T_0)_{ii}$. Матрица T_0 определяется из условия

$$T_0^{-1} A T_0 = \Lambda_0.$$

Обозначим

$$y_{io}(x_0, x, k) = \exp\{k \int_{x_0}^{x} (\lambda_l + k^{-1} \lambda_i^{(1)}) dt\}.$$

Лемма 1. Пусть условия $1^{\circ}-3^{\circ}$ выполнены. Тогда существует $x_1>0$ такое, что уравнение (2) при $x\geqslant x_1$, $\text{Im } k\geqslant 0$ имеет 2n линейно независимых решения y_1, y_2, \cdots, y_{2n} регулярных при Im k>0, непрерывных при $\text{Im } k\geqslant 0$. Решение $y_1, \cdots, y_n \in L_2$, а решения y_{n+1}, \cdots, y_{2n} и никакая их нетривиальная комбинация не принадлежит L_2 .

Лемма 2. Пусть условия $1^{\circ}-3^{\circ}$ выполнены. Тогда для решений, построенных в лемме 1, при $x \gg x_1$, $\operatorname{Im} k \gg 0$, $|k| \to \infty$ справедливы асимптотические формулы:

$$y_{i} = T_{0}(x) y_{io}(x_{0}, x, k) (f_{i} + k^{-1} \varphi_{i}(x, k)),$$

$$1 < i < 2n$$
(4)

где

$$|\varphi_i(x, k)| \leqslant \varphi(x), \quad \lim \varphi(x) = 0.$$

Лемма 3. Пусть условия $1^{\circ}-3^{\circ}$ выполнены. Тогда при $x\geqslant 0$, $Imk\geqslant 0$ существуют решения y_1 , для которых при $|k|\to\infty$ справедливы асимптотические формулы (4). Решения y_1 , y_2 , $y_n\in L_2$, а реше-

ния y_{n+1}, \cdots , y_{2n} и никакая их нетривиальная комбинация не принадлежит L_2 .

Таким образом мы получили две системы фундаментальных решений уравнения (2). Обозначим их соответственно { y_i } {y_i}.

Лемма 4. Системы решений {уі}, {уі} связаны формулой:

$$y(x, k) = \sum_{l=1}^{2n} x_{l}(x, k) c_{l}(k),$$

иде $c_1(k) = \rho_l + O(k^{-2})$ являются регулярными функциями по K.

3. Введем функцию

$$D_{\Omega}(k) = \det \Omega_{\Omega}(k)$$
.

Следуя Б. С. Павлову (2) будем называть точку $K = K_0$ особой точкой оператора L_2 , если $D_2(k_0) = 0$. Кратностью особой точки $K = K_0$ будем называть кратность корня $D_2(k_0) = 0$. Множество всех особых точек оператора L_2 обозначим через E; множество всех собственных значений — через E_0 ; множество всех особых точек, лежащих на вещественной оси $(-\infty, +\infty)$ — через E_1 ; множество всех точек накопления собственных значений — через E_3 .

Лемма 5. Пусть выполнены условия $1^{\circ}-3^{\circ}$. Гогда функция $D_{2}(k)$ регулярна при $\mathrm{Im}\,k>0$, непрерывна при $\mathrm{Im}\,k\geqslant0$ и для нее верна асимптотическая формула

$$D_{\Omega}(k) = c + O(k^{-1}), \quad c \neq 0, \quad |k| \to \infty.$$

Теорема 1. Пусть выполнены условия 1°-3°. Тогда

1) множество собственных значений, занумерованных с уче-том кратности, удовлетворяет условию

$$\sum \operatorname{Im} k_0 < \infty;$$

2) $E_3 \subset E_1$, 3) множество E_1 ограничено, замкнуто, имеет меру нуль и удовлетворяет условию

$$\sum |l_k| \ln |l_k| > -\infty$$
,

где $|l_k|$ — длина интервала смежности l_k к множеству E_1 и сум-мирование распространяется на все ограниченные интервалы смеж-ности.

Лемма 6. Пусть выполняется условие 1°-3° и

$$||A'(x)|| \le c \exp(-\varepsilon x^{\alpha}), c > 0, \varepsilon > 0, 0 < \alpha < \frac{1}{2},$$
 (5)

тогда

$$|D_{\Omega}^{(m)}(k)| \leqslant c_1 d^m m^{\frac{m}{a}}, \quad m \gg 1, \text{ Im } k \gg 0,$$

 $ide c_1$ не зависит от m_1 , d = const.

Теорема 2. Пусть выполняется условие $1^{\circ}-3^{\circ}$ и (5). Тогда $E_3 \subset E_2$; 2) множество E_2 ограничено, замкнуто, имеет меру нуль и удовлетворяет условию

$$\sum |l_k|^{\frac{1-2\alpha}{1-\alpha}} < \infty,$$

 $rde |l_k| - длина интервала смежности <math>l_k$ к множеству E_2 и сум. мирование распространяется на все ограниченные интервалы смежности.

 $a = \frac{1}{2}$, то число собственных значений оператора L_2 конечно.

Методы доказательств аналогичны методам, которые применялись в работах (2, 3).

Выражаю глубокую благодарность М. В. Федорюку за постановку задачи и постоянное внимание к работе.

Московский физико-технический институт

Ռ. Ա. ՇԻՐԻԿՑԱՆ

y' = kA(x) y տեսքի սիստեմի սպեկտրալ անալիզը կիսաառանցքի վրա

Դիտարկվում է

$$y' = kA(x)y, \qquad x \ge 0. \tag{1}$$

ավասարումը, որտեղ A(x)-ը 2n կարգի քառակուսային մատրիցա է, որի սեփական արժեղների կեսը գտնվում է վերին կիսաչարթեության մեջ, կեսը՝ ստորին կիսաչարթեսւթյան մեջ։

սը, եթե՝ μ_{μ} անված է μ_{μ} օպերատորը μ_{μ} (0, ∞) տարածություն և ապացուցվում է

$$||A'(x)|| \le c \exp(-\epsilon \sqrt{x}), c > 0, \epsilon > 0,$$

ատլա Լա-ի արժեքները կլինեն վերջավոր թվով։

ЛИТЕРАТУРА-ЧРИЧИЪПЬВЗПЬЪ

¹ М. А. Наймарк. Тр. Моск. матем. о-ва, т. 3, 181—270, 1954. ² Б. С. Павлов. Проблемы матем. физики, Вып. 1, Л., 1966. ³ М. В. Федорюк, ДАН СССР, т. 169, № 2. 288—291 (1966).

2ЦЗЦЦЦЦ UU2 ЧРЅПРФЗПРЪЪБРР ЦЦЦТБГРЦЗР ДБЦПРЗЗЪБР ДОКЛАДЫ АКАДЕМИИ НАУК АРМЯНСКОЙ ССР XLVI 1968

МАТЕМАТИКА

удк 519.48+519.92

Г. А. Гараков

Об одном свойстве первообразных элементов поля Z_p

(Представлено чл.-корр. АН Армянской ССР Р. А. Александряном 1/III 1968)

В настоящей заметке приводится результат, который позволяет, в некоторых случаях, сравнительно просто определять показатели** неприводимых в поле Z_p полиномов по их свободному члену.

В дальнейшем всюду: p — простое число; g_1 g_2 , \cdots , g_n^{***} —первообразные элементы поля Z_p мультипликативную группу которого обозначим через Z_p и r_1 , r_2 , \cdots , r_s — всевозможные различные делители p-1.

Лемма. Пусть

$$\lambda_{u} = \{g_{\sigma}^{r_{u}}\}_{(\sigma=\overline{1, n})}, (u=\overline{1, s}),$$

тогда

$$\lambda_i \cap \lambda_j = \varnothing \ (i \neq j) \quad \text{if} \quad \bigcup_{u=1}^s \lambda_u = Z_p.$$

Доказательство. Допустим противное, а именно, что два различных множества λ_i и λ_j ($i \neq j$) пересекаются, т. е. что найдутся по крайней мере два элемента g_σ и g_{σ_i} , удовлетворяющие условию:

$$g_{\sigma}^{\prime i} = g_{\sigma_1}^{\prime j}$$
.

Пусть r < r, тогда, возведя обе части этого равенства в $r_j^{-1}(p-1)$ степень, получим

$$g^{r_i r_j^{-1}}_{\sigma} = 1,$$

что невозможно, так как порядок примитивного элемента g, не мо-жет быть меньше p-1.

Кроме того, как легко понять, множество λ_u содержит те и $\eta_{0,1}$ порядок которых равен $r_u^{-1}(p-1)$.

^{*} Z_p — поле классов вычетов по модулю p (1).

^{**} Показателем неприводимого в поле Z_p полинома f(x) называется наименьнатуральное число l такое, что $f(x)|X^l-1$.

^{***} $n = \varphi(p-1)$, где $\varphi(\cdot)$ — мультипликативная функция Эйлера.

Поэтому $|\lambda_n|$ — число различных элементов λ_n равно $\varphi(r_n^{-1}(p-1))$, а следовательно (2)

$$|\bigcup_{u=1}^{|\lambda_u|} \lambda_u| = \sum_{u=1}^{|\omega|} \varphi(r_u^{-1}(p-1)) = \sum_{d/p-1} \varphi(d) = p-1$$

И

$$\bigcup_{u=1}^{s} \lambda_{u} = Z_{p}^{*}.$$

Лемма доказана.

Пусть далее целое m > 2, $L = p^m - 1$ и $l_p(m) = \{l_1, l_2, \cdots, l_k\} - \text{совокупность всевозможных делителей } L$, удовлетворяющих условию $p^* \equiv 1 \pmod{l}$ ($\gamma < m$). Имеет место следующая

Теорема. Пусть

$$\Lambda_{u} = \{g_{\sigma}^{Ll_{u}^{-1}}\}_{(\sigma=\overline{1, n}),} (u = \overline{1, k}),$$

тогда для выполнения условия

$$\Lambda_{j} \cap \Lambda_{j} = \emptyset \quad (i \neq j)$$

необходимо и достаточно, чтобы число $N = (p^m - 1)(p - 1)^{-1}$ было простым.

Доказательство. Достаточность. В случае простого N выражение L, очевидно, будет иметь 2s различных делителей вида r_uN , где $\delta=0$, 1. Между тем, как легко понять, ни одно из этих чисел, у которого $\delta=0$, не может принадлежать множеству $l_p(m)$. В то время как числа с $\delta=1$ являются элементами $l_p(m)$. Действительно, для любого натурального $\gamma \leqslant m$ произведение

$$(p-1)(p^{\gamma-1}+p^{\gamma-2}+\cdots+1)=p^{\gamma}-1$$

будучи кратным r_uN , должно делиться на простое число $N=p^{m-1}+p^{m-2}+\cdots+1$. Но это, очевидно, возможно только лишь в случае $\gamma=m$. Следовательно, $l_p(m)=\{r_1N,\ r_2N,\cdots r_sN\}$ и $\Lambda_v=\lambda_u$ (где v и связаны соотношением $r_v\cdot r_u=p-1$). Поэтому из доказанной леммы следует, что для любой различной пары i и j действительно $\Lambda_i\cap\Lambda_j=\emptyset$

Необходимость. Допустим обратное, т. е. что число N составное. Тогда можно показать, что по модулю, по крайней мере, одного из его делителей, число p принадлежит показателю m. В самом деле, возможны два случая:

1. т — простое,

2. m — составное.

В случае простого m ясно, что показателем числа p по модулю любого делителя N могут быть лишь числа 1 или m. Однако сравнения $p \equiv 1 \pmod{N_1}$ и $p \equiv 1 \pmod{N_2}$, где $N = N_1 \cdot N_2$, одновременно не могут выполняться, ибо тогда

$$N_1 \cdot N_2 \leq (p-1)^2 < p^2$$

откуда $p^{m-1} < p^2$ и m < 2, что противоречит условию m > 2. 214

В случае составного m, полагая $m = a \ b \ (a, b > 1 - \text{целые})$ и $N_2 = p^{a \ (b-1)} + p^{a \ (b-2)} + \cdots + 1$ можно показать, что по $mod \ N_2$ число p принадлежит показателю m.

В самом деле, показатель ω , которому принадлежит p по модулю N_2 , очевидно, должен удовлетворять соотношению $\omega > a$ (b-1).
И если предположить, что $\omega < m$, то тогда

$$1<\frac{m}{\omega}<1+\frac{a}{\omega}<2,$$

 $\frac{m}{40}$ противоречиво, так как $\frac{m}{\omega}$ — целое число.

Таким образом, мы показали, что в случае составного N по модулю, по крайней мере одного из его собственного делителя, скажем N_2 , число p, действительно принадлежит показателю m. А это значит, что $l_p(m)$ будет содержать числа $l_i = N_2$ и $l_j = N$, а следовательно, $\Lambda_l = \Lambda_j = \{l\}$ и

$$\Lambda_i \cap \Lambda_j \neq \emptyset$$
,

где $i \neq j$, так как $N_2 \neq N$.

Этим завершается доказательство теоремы.

Теперь о приложении результата.

Показатель l неприводимого в поле Z_p полинома степени m и его свободный член a связаны соотношением

$$(-1)^m a = g^{Ll^{-1}},$$

где g — некоторый первообразный элемент поля Z_p , справедливость которого легко устанавливается на основании теоремы Вьета и свойства корней неприводимых полиномов. Следовательно, число a является элементом множества Λ_u или — Λ_u , в зависимости от четности m. Однако, согласно приведенной теореме, множества Λ не пересекаются, когда число N простое, поэтому в этом случае имеется возможность определять показатели полиномов по их свободному члену.

Пример: $L = 7^5 - 1 = 6 \times 2801$; здесь p = 7; m = 5; N = 2801 —простое; $g_1 = 3$ и $g_2 = 5$ первообразные элементы Z_7 .

Из сказанного следует, что неприводимые в поле Z_7 полиномы 5-ой степени принадлежат показателям: l_1 =2801, l_2 =2 \times 2801, l_3 =3 \times 2801 и l_4 =6 \times 2801, в зависимости от того, какому из множеств [6, 6], {1, 1}, {5, 3} и {4, 2} соответственно принадлежит их свободный член.

В заключение отметим, что рассмотренная задача, естественно приводит к проблеме о простоте чисел вида $N=(p^m-1)(p-1)^{-1}$; бесконечно ли множество таких простых чисел или оно обрывается.

Ереванский политехнический институт им. К. Маркса

Գ. Հ. ԳԱՐԱԿՈՎ

Z_p դաշտի նախնական ելեմենտների մի հատկության մասին*

Հողվածում թերված է Թեորեմ, որը հարտվորություն է տալիս որոշ ղեպքում, համեմատարար հեշտ եղանակով որոշել Zp դաշտում չվերածվող ըազմանդամների ցուցանիչները ըստ նրանց աղատ անդամների։

Ընդունված են նշանակումներ՝ p-ն պարզ թիվ է, g₁, g₂,..., g_n (n=φ(p-1) ղաշտի նախնական էլեմենտներ են, m-ը ամբողջ թիվ է >2. L=pm-1, իսկ և թվերը և-ի այն րաժանարարներն են, որոնք բավարարում են առնչությանը

Թեորեմ։ Ընդունենք

$$\Lambda_{u} = \left\{ g_{\sigma}^{L l u} \right\}_{(\sigma=1, \overline{n})} (u = \overline{l, k})$$

որպեսգի

 $\wedge_i \cap \wedge_j = \emptyset \ (i \neq j)$

անհրաժեշտ և բավարար է $N=(p^m-1)(p-1)-1$ թվի պարզ լինելու պայմանը։
Հոդվածում բննակված խնդիրը բերում է $N=(p^m-1)(p-1)-1$ տեսքի թվերի պարզության պրորլեմին։

ЛИТЕРАТУРА — ЧРИЧИВО В РВО ПРВ

¹ В. Л. Ван-дер-Варден, Современная алгебра, ч. 1., 1947. ² И. М. Виноградов, Основы теории чисел, М., 1965.

^{*} Zp —ըստ թ մողուլի մնացքների դաշտ էւ

ТЕОРИЯ УПРУГОСТИ

уДК 539.3

М. А. Александрян

Контактная задача для полуплоскости, ослабленной круговой полостью

(Представлено чл.-корр. АН Армянской ССР О. М. Сапонджяном 23/II 1968)

Рассматривается задача о вдавливании жесткого штампа под действием нормальной силы P в упругую полуплоскость, ослабленную симметрично расположенным круговым отверстием (рис. 1). Пред-

полагается, что трение между штампом и упругим материалом отсутвует.

Аналогичная задача, когда штамп жестко сцеплен с упругим телом, впервые была рассмотрена И.Г. Арамановичем (¹), а позже Тамате Осаму (²). В указанных работах задача решается методом Колосова—Мусхелишвили.



иая задача решается в биполярной системе координат методом Фурье.

1. Как известно (³) плоская задача теории упругости в биполярных координатах сводится к решению дифференциального уравнения

$$\left[\frac{\partial^4}{\partial \alpha^4} + 2 \frac{\partial^4}{\partial \alpha^2 \partial \beta^2} + \frac{\partial^4}{\partial \beta^4} - 2 \frac{\partial^2}{\partial \alpha^2} + 2 \frac{\partial^2}{\partial \beta^2} + 1\right] (g\Phi) = 0, \qquad (1.1)$$

где $ag = ch \alpha - cos \beta$ масштаб преобразования, a параметр, а $\Phi(\alpha, \beta)$ функция напряжений.

В силу симметрии задачу будем решать только для половины основной области $\beta \gg 0$, требуя при этом выполнения условий сим-метрии.

$$\tau_{\alpha, \beta} = v = 0 \text{ при } \beta = 0; \pi.$$
 (1.2)

Рис. 1.

Граничные условия для рассматриваемой задачи имеют вид

$$\tau_{\alpha\beta}(\alpha_1, \beta) = \tau_{\alpha\beta}(0, \beta) = \sigma_{\alpha}(\alpha_1, \beta) = 0 \qquad (0 < \beta < \pi) \qquad (1.3)$$

$$u(0, \beta) = f_1(\beta) \qquad (\beta_1 < \beta < \pi),$$
(1.4)

$$\sigma_{\alpha}(0, \beta) = f_2(\beta) \qquad (0 < \beta < \beta_1).$$

Решение уравнения (1.1) ищем в виде ряда Фурье

$$g \Phi(\alpha, \beta) = A \operatorname{sh} \alpha + B \operatorname{ch} \alpha + \sum_{k=1}^{\infty} \psi_k(\alpha) \cos k\beta,$$
 (1.5)

где функции $\psi_k(\alpha)$ определяются соотношениями

$$\psi'(\alpha) = E_k \sinh k (\alpha_1 - \alpha) \sinh (\alpha_1 - \alpha) + G_k \sinh k (\alpha_1 - \alpha) \sinh \alpha + F_k \sinh k \alpha \sinh (\alpha_1 - \alpha) + H_k \sinh k \alpha \sinh \alpha \qquad (k \ge 2),$$

$$\psi_1(\alpha) = E_1 \sinh 2\alpha + G_1 \cosh 2\alpha + F_1 \alpha + H_1 \qquad (k = 1).$$
(1.6)

Используя формулы для напряжения и перемещения в биполярных координатах (³) и удовлетворяя граничным условиям (1.3) получим

$$E_k = H_k = 0$$
 $(k \ge 2),$ $2E_1 + F_1 = 0,$ $2E_1 \cosh 2\alpha_1 + 2G \sinh 2\alpha_1 + F_1 = 0,$

$$B - (\operatorname{ch} \alpha_1 - \cos \beta) \sum_{k=1}^{\infty} k^2 \psi_k (\alpha_1) \cos k\beta + \sin \beta \sum_{k=1}^{\infty} k \psi_k (\alpha_1) \sin k\beta +$$

$$+ \operatorname{ch} \alpha_1 \sum_{k=1}^{\infty} \psi_k (\alpha_1) \cos k\beta = 0. \tag{1.7}$$

Удовлетворяя условиям (1.4) для определения остальных коэффициентов, получаем парные уравнения вида

$$B - (1 - \cos\beta) \sum_{k=1}^{\infty} k^2 \psi_k (0) \cos k\beta + \sin \beta \sum_{k=1}^{\infty} k \psi_k (0) \sin k\beta +$$

$$+ \sum_{k=1}^{\infty} \psi_k (0) \cos k\beta = f_2(\beta) \quad (0 < \beta < \beta_1),$$

$$2uA \qquad (1.8)$$

$$\frac{2\mu A}{\lambda + 2\mu} - \sum_{k=1}^{\infty} (k^2 - 1) \int \psi_k (\alpha) d\alpha \left[\cos k\beta - \frac{\sin \beta \sin k\beta}{k (1 - \cos \beta)} \right] =$$

$$= \frac{4\mu (\lambda + \mu)}{\lambda + 2\mu} f_1(\beta) (\beta_1 < \beta < \pi).$$

Однако нахождение остальных неизвестных коэффициентов из соотношений (1.8) и последнего соотношения (1.7) довольно трудно. Поэтому сначала упростим эти условия, рассматривая их как интегральные уравнения в областях их задания относительно следующих неизвестных функций

$$\varphi(\beta) = \sum_{k=1}^{\infty} k^2 \psi_k(\alpha) \cos k\beta, \quad \varphi_1(\beta) = \sum_{k=1}^{\infty} (k^2 - 1) \int_{0}^{\infty} \psi_k(\alpha) d\alpha \cos k\beta. \quad (1.9)$$

В силу (1.9) соотношения (1.8) и последнее соотношение (1.7) примут вид

$$-(\operatorname{ch}\alpha - \cos\beta) \varphi(\beta) + \sin\beta \int_{0}^{\beta} \varphi(x) dx - \operatorname{ch}\alpha \int_{0}^{\beta} dx \int_{0}^{x} \varphi(y) dy = f(\beta),$$

$$-\varphi_{1}(\beta) - \frac{\sin\beta}{1 - \cos\beta} \int_{\beta}^{x} \varphi_{1}(x) dx = F(\beta),$$
(1.10)

где введены обозначения

$$f\left(\beta\right) = -B - \operatorname{ch} \alpha_{1} \sum_{k=1}^{\infty} \psi_{k}\left(\alpha_{1}\right) \quad \text{при } \alpha = \alpha_{1} \quad (0 < \beta < \pi),$$

$$f\left(\beta\right) = f_{2}\left(\beta\right) - B - \sum_{k=1}^{\infty} \psi_{k}\left(0\right) \quad \text{при } \alpha = 0 \quad (0 < \beta < \beta_{1}) \quad (1.11),$$

$$F\left(\beta\right) = \frac{4\mu\left(\lambda + \mu\right)}{\lambda + 2\mu} f_{1}\left(\beta\right) - \frac{2\mu A}{\lambda + 2\mu} \qquad (\beta_{1} < \beta < \pi).$$

Ядра интегральных уравнений Вольтерра второго рода (1.10) при $\alpha = \alpha_1 \neq 0$ непрерывные функции, вследствие чего решения этих уравнений непрерывны и единственны.

Эти решения имеют вид

$$\varphi(\beta) = -\frac{f(\beta)}{\cosh \alpha_1 - \cos \beta} - \frac{\int_0^\beta \sin x \cosh \alpha_1 \cos \beta + (1 - \cosh \alpha_1 \cos x) \sin \beta}{(\cosh \alpha_1 - \cos x)^2} f(x) dx \quad (0 < \beta < \pi),$$

$$(1.12)$$

$$\varphi_1(\beta) = \sin \beta \int_0^\pi \frac{F(x) dx}{1 - \cos x} - F(\beta) \quad (0 < \beta_1 < \beta < \pi).$$

Если же в первом уравнении (1.10) $\alpha = 0$, то ядро этого интегрального уравнения уже будет иметь неинтегрируемую особенность в точке $\beta = 0$. Для того, чтобы в этом случае существовало решение, мы должны требовать, чтобы $\beta^{-2}f(\beta) \to \text{const}$ при $\beta \to 0$. Тогда решение будет иметь вид

$$\varphi(\beta) = c \cos \beta - \frac{f(\beta)}{1 - \cos \beta}$$

$$-\int_{0}^{\beta} \frac{\sin x \cos \beta + (1 - \cos x) \sin \beta}{(1 - \cos x)^{2}} f(x) dx \quad (0 < \beta < \beta_{1}), \quad (1.13)$$

где c — произвольный параметр, а интеграл понимается сходящимся $\int_{0}^{\beta} x^{-1} dx < \infty$.

В силу (1.9)—(1.13) уравнения (1.7) и (1.8) примут вид

$$\sum_{k=1}^{\infty} k^{2} \psi_{k} (\alpha_{1}) \cos k\beta = \frac{B + \operatorname{ch} \alpha_{1} \sum_{k=1}^{\infty} \psi_{k} (\alpha_{1})}{\operatorname{ch} \alpha_{1} - 1} \cos \beta \qquad (0 < \beta < \pi),$$

$$\sum_{k=1}^{\infty} k^2 \psi_k(0) \cos k\beta = c \cos \beta - \frac{f_2(\beta)}{1 - \cos \beta} - \frac{f_2(\beta)}{1 - \cos \beta}$$

$$-\int_{0}^{\beta} \frac{\sin x \cos \beta + (1 - \cos x) \sin \beta}{(1 - \cos x)^{2}} f_{2}(x) dx \quad (0 < \beta < \beta_{1}),$$

$$\sum_{k=1}^{0} (k^2 - 1) \int_{-\infty}^{0} \mu_k(\alpha) d\alpha \cos k\beta = \sin \beta \int_{0}^{\pi} \frac{F(x) dx}{1 - \cos x} - F(\beta) \quad (\beta_1 < \beta < \pi). \quad (1.14)$$

Из первого уравнения (1.14) следует, что

$$\psi_k(\alpha_1) = 0 \quad (k \ge 2), \quad \psi_1(\alpha_1) = -B,$$
 (1.15)

а из условия, что напряжение на бесконечности обращается в нуль из (1.11) получим

$$B + \sum_{k=1}^{\infty} \psi_k(0) = f_2(0) = 0. \tag{1.16}$$

В системе (1.12) введем новые неизвестные следующим образом

$$(k^{2}-1)\int_{-1}^{0} \psi_{k}(\alpha) d\alpha = X_{k} \qquad \frac{2\mu A}{\lambda + 2\mu} = X_{1}. \qquad (1.17)$$

Тогда из (1.17) и (1.15) для старых неизвестных коэффициентов G_k и F_k найдем значения

$$G_k = \frac{k^2 - 1}{2k\Delta_k} X_k \sinh k\alpha_1, \quad F_k = \frac{k^2 - 1}{2k\Delta_k} X_k k \sinh \alpha_1, \quad (1.18)$$

$$\Delta_{F} = \sinh k\alpha_{1} \cosh k\alpha_{1} + k \sinh k\alpha_{1} \cosh \alpha_{1}$$

а для ψ₄ (0) в силу (1.17) из (1.15) получим

$$\psi_k(0) = -\frac{X_k}{2k}(1-N_k) \qquad (k \ge 2),$$

где

$$N_{k} = \frac{2k^{2} \sinh^{2} \alpha_{1} + k \sinh \alpha_{1} + 1 - e^{-2k\alpha_{1}}}{\sinh 2k\alpha_{1} + k \sinh 2\alpha_{1}} \qquad N_{1} = 0; \ 0 \le N_{k} < 1, \tag{1.19}$$

Пользуясь (1.17) и (1.19) парные уравнения (1.8) приводим к простому виду

$$\sum_{k=1}^{\infty} {}^{k}X_{k} (1 - N_{k}) \cos k \beta = C \cos k \beta + f_{2} (\beta) \quad (0 < \beta < \beta_{1}),$$

$$\sum_{k=1}^{\infty} X_k \cos k\beta = \overline{f_1}(\beta) \qquad (\beta_1 < \beta < \pi), \qquad (1.20)$$

где введены обозначения

$$\widehat{f_{2}}(\beta) = 2 \frac{f_{2}(\beta)}{1 - \cos \beta} + 2 \int_{0}^{\beta} \frac{\sin x \cos \beta + (1 - \cos x) \sin \beta}{(1 - \cos x)^{2}} f_{2}(x) dx,$$

$$\overline{f_{1}}(\beta) = \frac{4\mu (\lambda + \mu)}{\lambda + 2\mu} \frac{d}{d\beta} \int_{\beta}^{\pi} \frac{1 - \cos \beta}{1 - \cos x} f_{1}(x) dx,$$
(1.21)

а числа N_k , как видно из (1.19) ограничены сверху и стремятся к нулю как $N_k = O(k^2 e^{-2kx_1})$.

В том случае, когда $N_k = 0$ система (1.20) решается точно. Если же $N_k \neq 0$, то перенеся члены, содержащие N_k , в правую сторону и пользуясь точным решением при $N_k = 0$ (4) для определения неизвестных коэффициентов X_k получим следующую бесконечную систему линейных алгебраических уравнений.

$$X_n = \sum_{k=2}^{\infty} a_{nk} X_k + b_n \quad (n = 1, 2, 3 ...), \tag{1.22}$$

- где

$$A_{nk} = \frac{k}{2} N_k I_{nk}(\beta_1),$$

$$I_{nk}(\beta_1) = \frac{kz_k (\cos \beta_1) y_k (\cos \beta_1) - nz_n (\cos \beta_1) y_k (\cos \beta_1)}{n^2 - k^2} n \neq k,$$

$$I_{nn}(\beta_1) = \frac{1}{2n} \left\{ 2 + P_{n-1}^2(x) - P_n^2(x) - 4x + 2P_n(x) P_{n-1}(x) + 4 \sum_{k=1}^{n-1} P_k(x) [P_{k-1}(x) - xP_k(x)] \right\}_{x = \cos \beta_1},$$

$$F_1(\theta) = -\frac{2\sqrt{2}}{\pi} \int_0^{\pi} \frac{f'}{V \cos \theta - \cos \beta} d\beta,$$

$$F_2(\theta) = \frac{2\sqrt{2}}{\pi} \int_0^{\theta} \frac{f_2(\beta) \cos \beta/2}{V \cos \beta - \cos \theta} d\beta + c_1 y_1 (\cos \theta),$$

$$(1.23)$$

 $P_{k}(x)$ — полином Лежандра.

$$y_k(x) = P_{k-1}(x) + P_k(x)$$
 $z_k(x) = P_{k-1}(x) - P_k(x)$.

После решения бесконечной системы (1.22) для определения κ_0 фициента $c_{\scriptscriptstyle 1}$ получим уравнение.

$$2\overline{f_1}(\pi) + \sum_{k=2}^{\infty} N_k z_k (\cos \beta_1 X_k + \int_0^{\beta_1} F_2(\theta) \operatorname{tg} \theta / 2d\theta + c_1 (1 - \cos \beta) = 0.$$
 (1.24)

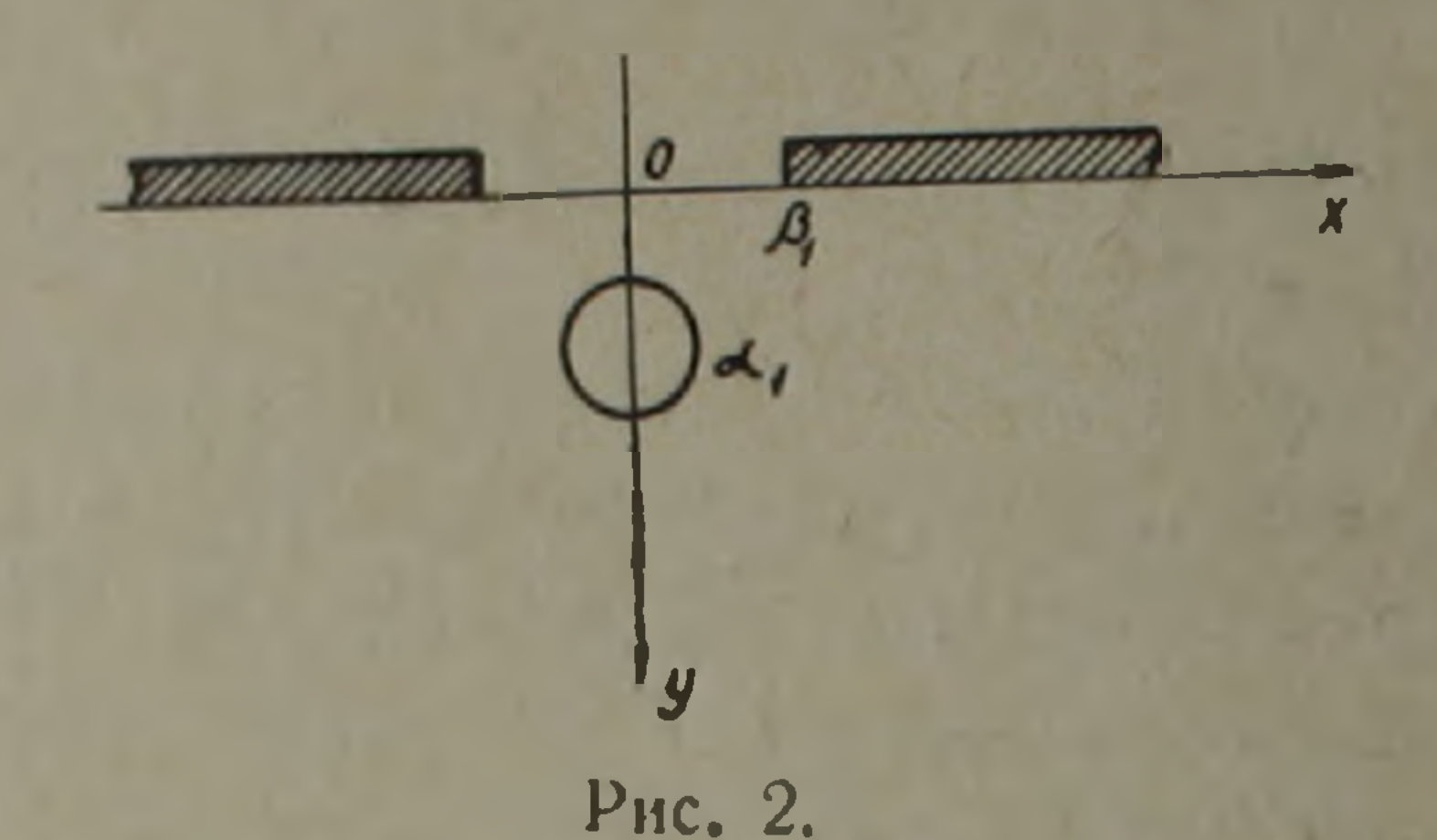
2. Совершенно аналогично решена и задача о вдавливании двух полубесконечных штамов в упругую полуплоскость, ослабленную круговым отверстием (рис. 2).

Граничные условия этой задачи имеют вид

$$\begin{array}{l}
\tau_{\alpha\beta}(0,\beta) = 0 \\
\tau_{\alpha\beta}(\alpha_{1},\beta) = 0 \\
\sigma_{\alpha}(\alpha_{1},\beta) = 0
\end{array}$$

$$\begin{array}{l}
\sigma_{\alpha}(0,\beta) = f_{1}(\beta) \stackrel{\pi}{=} (\beta_{1} < \beta < \pi), \\
u_{\alpha}(0,\beta) = f_{2}(\beta) (0 < \beta < \beta_{1}).
\end{array}$$

$$(2.1)$$



Функция напряжений Φ (α , β) ищется в виде (1.5), а напряжения и перемещения определяются по формулам (3).

Удовлетворяя граничным условиям (2.1), некоторые коэффициенты определяем сразу в конечном виде

$$E_k = H_k = 0$$
, $kG_k \sinh \alpha_1 - F_k \sinh k\alpha_1 = 0$, $E_1 (2\alpha_1 + \tan \alpha_1) = B_1 + H_1$

а остальные коэффициенты определяются из бесконечной системы ли-нейных уравнений

$$X_n = \sum_{k=2}^{\infty} a_{nk} X_k + b_n \quad (n = 1, 2, 3 \cdots), \tag{2.2}$$

где

$$a_{nk} = \frac{k}{2} N_k I_{nk} (\beta_1),$$

$$I_{nk} (\beta_1) = \frac{ny_n (\cos \beta_1) z_n (\cos \beta_1) - ky_k (\cos \beta_1) z_n (\cos \beta_1)}{n^2 - k^2},$$

$$I_{nn} (\beta_1) = \frac{1}{2} \left\{ 2 + P_{n-1}^2 (x) - P_n^2 (x) + 4 (x) - 2P_n (x) P_{n-1} (x) + 4 \sum_{k=1}^{n-1} P_k (x) [x P_k (x) - P_{k-1} (x)] \right\}_{x = \cos \beta_1},$$

$$F_1(\theta) = \frac{4\sqrt{2}}{\pi} \int_0^{\pi} \frac{\overline{f_1}(\beta) \sin \beta/2}{\sqrt{\cos \theta - \cos \beta}} d\beta + c_1 z_1 (\cos \theta),$$

$$F_2(\theta) = -\frac{2\sqrt{2}}{\pi} \int_0^{\theta} \frac{\overline{f_2}(\beta) + c \cos \beta}{\sqrt{\cos \beta - \cos \theta}} \sin \beta/2 d\beta.$$
(2.3)

После определения коэффициентов X_u , аналогично как и в пер-

вом случае, находим напряжения и перемещения.

Нетрудно показать, что в бесконечных системах (1.22) и (2.2) $_{\text{сумма}}$ модулей коэффициентов a_{nk} при неизвестных X_k удовлетворяют неравенству

$$\sum_{k=2}^{\infty} |a_{nk}| \leqslant \frac{c_1 + c_2 \ln n}{n} \quad n > 2. \tag{2.4}$$

Из этой оценки следует, что начиная с некоторого номера n_0 бу-

$$\sum_{k=2}^{\infty} |a_{nk}| < 1 - \varepsilon \quad n > n_0,$$

т. е. системы (1.22) и (2.2) квази—вполне регулярны.

Ереванский политехнический институт им. К. Маркса

Մ. Ա. ԱԼԵՔՍԱՆԴՐՅԱՆ

Շբջանային խոռոչով թուլացված կիսանաբրության համաբ կոնտակտային խնդիբը

Դիտարկվում է կամայական հիմքով կոշտ շտամպի ձնշման խնդիրը շրջանային խոռոչով թուլացված առաձգական կիսահարթության վրա։ Պարզության համար ձնթադրված է, որ կիսահարթության եզրը շտամպից դուրս, ինչպես նաև խոռոչի եզրը, ազատ են արտաքին ուժերից։ Ծնթադրված է նաև, որ նյութի և շտամպի միջև շփումը բացակայում էւ Խնդրի լուծումը բիպոլյար կոորդինատական տիստեմում փնտրված է Ֆուրյեյի շարքի տեսքով։ Ինտեգրման հաստատունների որոշումը բերվել է ըստ եռանկյունաշափական ֆունկցիաների «զույգ» շարք հավասարումների լուծմանը։ Այդ «զույգ» հավասարումները իրենց հերթին բերվել են գծային հանրահաշվական անվերջ հավասարումների լուծմանը։ Ապացուցված է, որ այդ սիստեմը քվազի-լիովին ռեգուլյար է, իսկ ազատ անդամները սահմանափակ են վերևից և ինդեքսի աձման հետ ձգտում են զրոյի։ Ստացված են լարումների և տեղափոխումների հաշվման համար հարմար

ЛИТЕРАТУРА-ЧРИЧИЕПЬВЗПРЕ

1 *И. Г. Араманович*, ДАН СССР, т. 112, № 4 (1957). ² Tamate Osamu, Part I, Technol Rep Tohoku Univ. vol. 27, № 2, 1963. ³ Я. С. Уфлянд, Биполярные координаты в теории упругости, Госиздат, М.—Л., 1950. ⁴ А. А. Баблоян, ПММ, т. 31, вып. 2,. (1967).

XLVI

1968

5

инженерная сеисмология

УДК 699.841

Л. В. Шахсуварян, В. К. Гукасян

Об одной возможности моделирования каменной кладки

(Представлено академиком АН Армянской ССР А. Г. Назаровым 27/II 1968)

Экспериментальные исследования работы каменных зданий и сооружений или их фрагментов в натурную величину связаны со значительными техническими затруднениями. При решении таких вопросов большую услугу может оказать метод моделирования, который для определенного круга задач является единственным путем исследования. С этой точки зрения интерес представляет исследование практических возможностей моделирования каменной кладки.

В настоящей статье рассматривается способ моделирования клад-ки из камней правильной формы.

Известно, что прочностные и деформативные свойства кладки помимо прочности камня во многом зависят от свойств и консистенции раствора, прочности его сцепления с камнем, условий вызревания кладки и др. Моделирование этих факторов представляет довольно сложную задачу и достижение точного подобия связано с кропотливыми работами. Однако, для практических задач некоторые факторы могут быть смоделированы приближенно с соблюдением достаточной точности.

Исходя из этого предлагается модель кладки осуществить из камней оригинала в соответствии с масштабом, применяя раствор, по основным свойствам подобный раствору оригинала, с соблюдением технологии возведения. Были поставлены опыты над натурными образцами кладки и их моделями. Моделирование произведено по условиям простого подобия (1), согласно которым материалы оригинала и модели должны иметь одинаковые механические характеристики. Исходя из технических возможностей осуществления растворных швов в моделях, линейный множитель подобия был принят равным 1:5.

Образцы оригиналов и моделей имели соответственно размеры $1.2\times1.2\times0.2$ и $0.24\times0.24\times0.04$ м. Были применены камни правильной формы двух месторождений — Артикского и Маисянского с прочностями соответственно 130 и 140 к Γ/c м 2 . Раствор был взят смешанный марки 50 состава по объему $1_{\rm u}:0.7_{\rm usb}:7_{\rm necok}$. Максимальная крупность зерен песка в модели была принята 1.2 мм, с целью соблюдения соотно-

шения между крупностью заполнителя и толщиною шва. которая по масштабу составляет 3-4 мм.

Образцы изготовлены по двум технологиям. Одна из них соответствовала действующим Временным техническим указаниям (ВТУ $_3-61$), согласно которым в горизонтальных швах кладки применяется раствор пластичной консистенции, а в вертикальных—литой, с погружением стандартного конуса соответственно $8 \div 9$ и $12 \div 13$ см (группы образцов A и B). По второй технологии во всех швах кладки был использован раствор литой консистенции (группы B и Γ). При этом образцы были изготовлены в горизонтальном положении. Необходимо отметить, что такой способ осуществления кладки обеспечивает ее сравнительную однородность, позволяет механизировать некоторые процессы кладки и потому он является одним из перспективных для изготовления стеновых панелей и блоков из штучных камней. Группы образцов $\mathcal A$ были изготовлены по второй технологии, но без перевязки швов. Образцы оригиналов и моделей вызревали в

Несущая способность образцов кладки оригиналов и моделей при центральном сжатии и сдвиге

5	Технология изготовления		Разрушающая нагрузка, кГ				Отклонение, 0/0		
вид камия		Группа образцов	оригинал мо		мод	ель	зцами	образцами	одели
			отдельные образцы	среднее	отдельные	среднее	между обра оригиналов	межлу обра:	образцов мод от оригинала
при центральном сжатии									
Артикский туф	Согласно ВТУ 3—61	A	105000	117500 (4700)	4000 3500	3750	24	14	20
Мансянский		Б	81000 99700	90350		3460	23	22	4
при сдвиге									
Артикский туф	Литой раствор во всех швах, швы с перевязкой	В	37500 40000	38750 (1 5 50)	1060 910	985	7	17	36
	Литой раствор во всех швах, швы без перевязки	-	30000 27500	28800 (1150)		885	9	1	23
Мансянский туф	Литой раствор во всех швах, швы с перевязкой	Д	33000	32500 (1300)	1370	1315	3	8	1
			1				2		

одинаковых условиях и были испытаны в месячном возрасте, за исключением оригиналов группы B, которые при испытаниях имели возраст 45-50 дней. Испытания произведены на характерные для работы каменной кладки—сжатие и сдвиг (перекос). Основные результаты испытаний сведены в таблицу, где величины нагрузок для оригиналов приведены к модельным по формуле $P' = \alpha^2 P$ и указаны в скобках.

Как показывают эти данные, разрушающие нагрузки при обоих видах испытания для моделей и соответствующих оригиналов оказались достаточно близкими. Среднее расхождение составляло $12^{0}/_{0}$. В группе B образцы оригиналов имели значительно большую прочность, чем образцы модели, ввиду большого возраста оригиналов. Поэтому

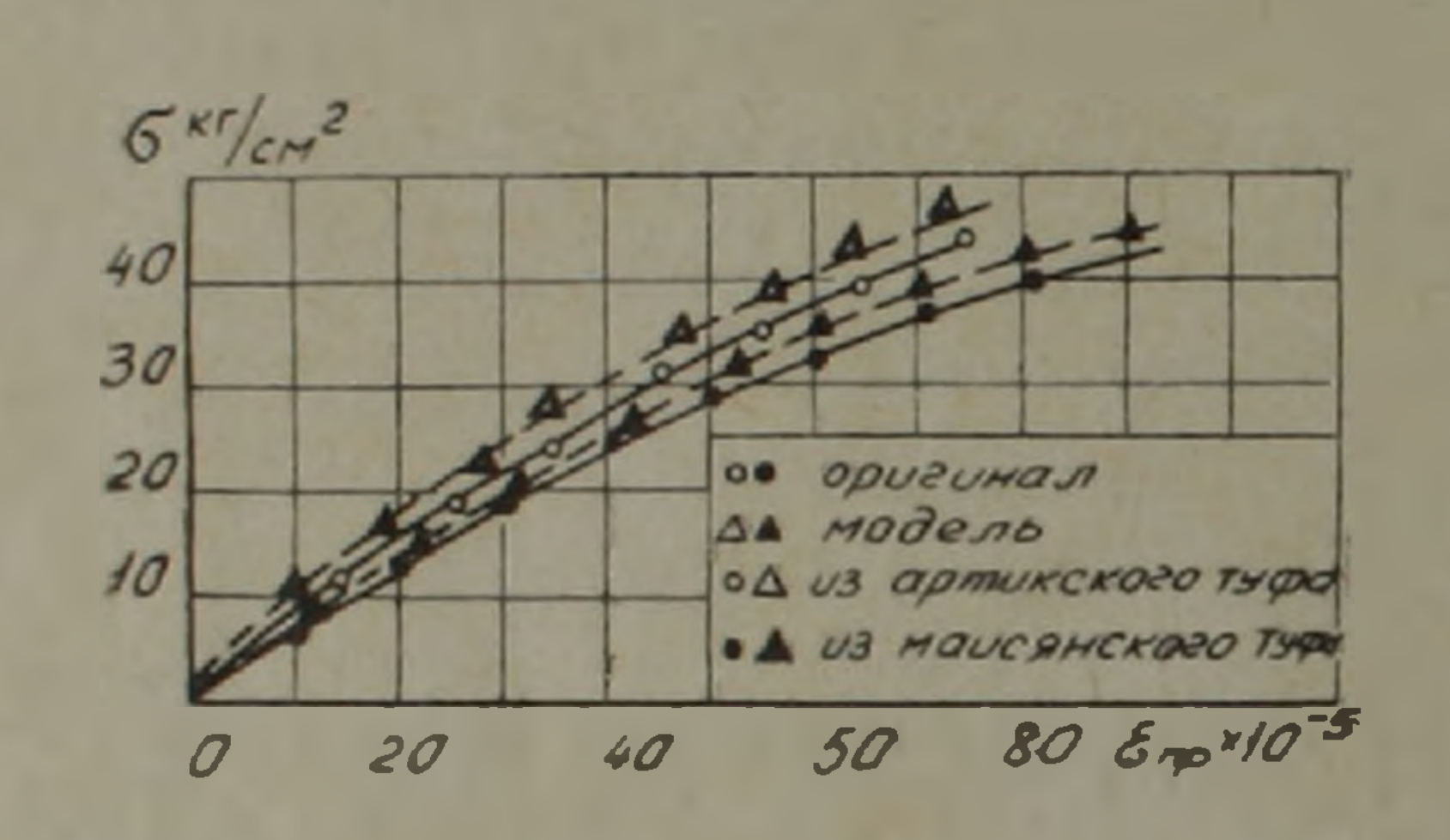


Рис. 1. Продольные деформации образцов группы А**Г**и: Б.

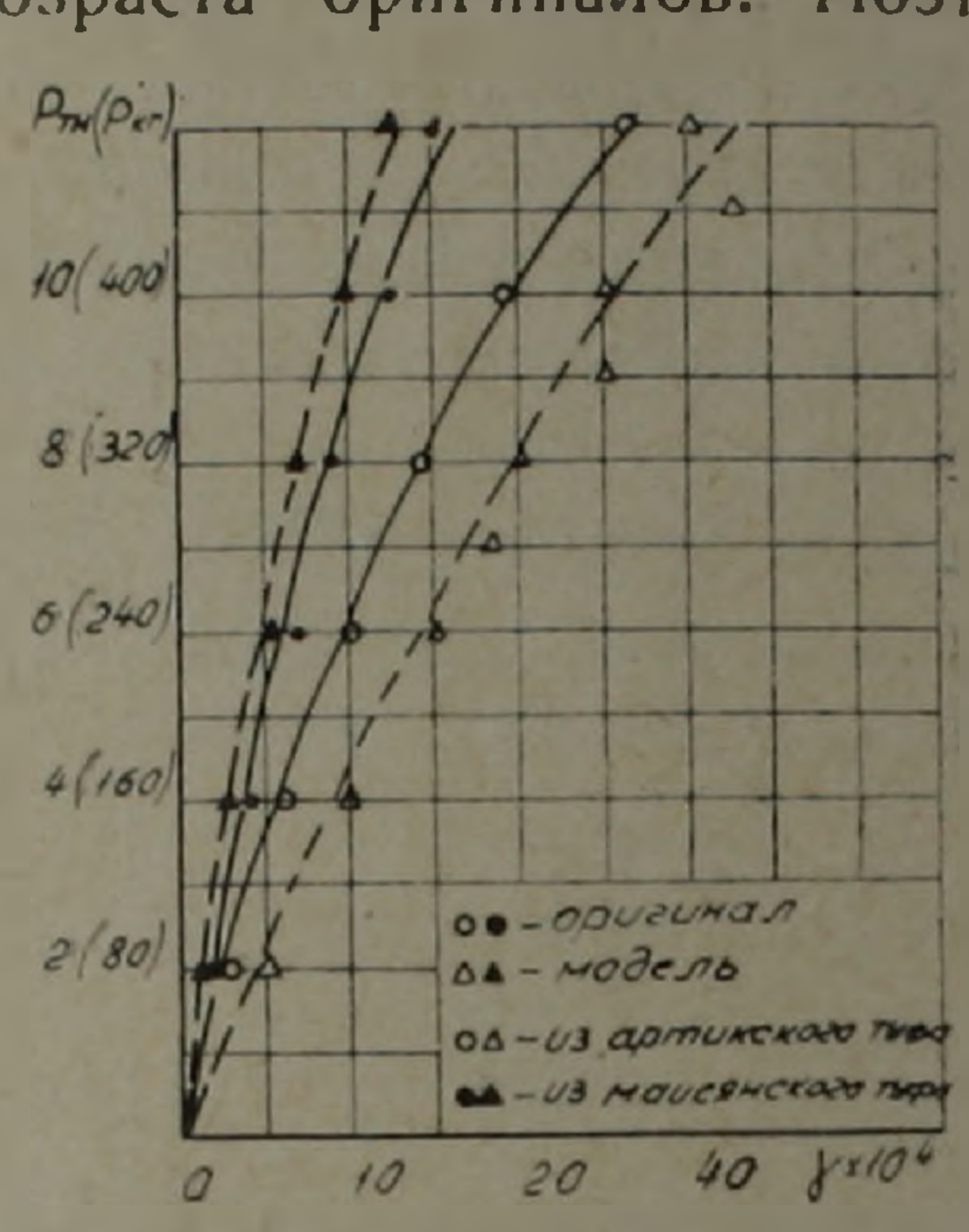


Рис. 2. Графики перекосов (относительный угол сдвига) образцов группы В и Д_

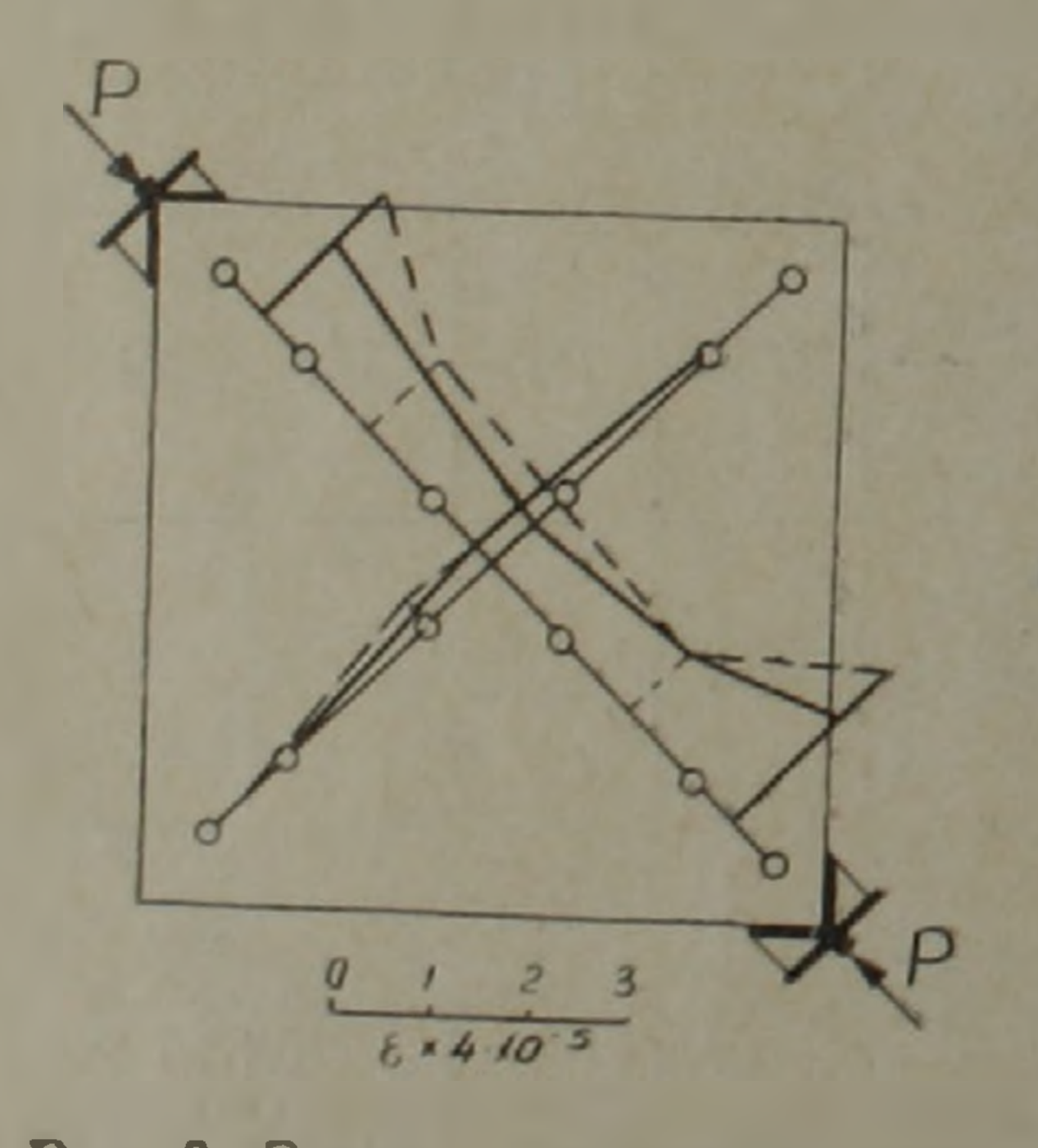


Рис. 3. Эпюры относительных деформаций вдоль диагоналей при нагрузке равной 0,4 $P_{\rm pas}$.

Рис. 4. Схема разрушений образцов: a— образцы группы B и \mathcal{A} ; δ — образцы группы Γ .

— оригинал; — — модель.

-оригинал; - - модель.

эти данные в расчет среднего отклонения не введены. Интересно отметить, что разброс величины разрушающих нагрузок для отдельных образцов оригиналов и моделей почти одинаковый, что показывает на незначительность масштабного эффекта в данном случае.

Деформирование образцов оригиналов и моделей как при сжатии (рис. 1), так и при сдвиге (рис. 2), происходило подобно, что видно по приведенным кривым и эпюрам (рис. 3) деформаций. Имеющие место даже максимальные расхождения в деформациях сдвига порядка $20^{\circ}/_{\circ}$ можно считать не выходящими за рамки удовлетворительной точности, если учесть специфическую особенность кладки—еенеоднородность. Подобие наблюдалось также в характере и расположении повреждений при обоих видах испытания (рис. 4).

Таким образом полученные данные по деформативности, характеру повреждений и несущей способности при различных видах напряженного состояния показали, что моделирование кладки описанным способом по условиям простого подобия (1) обеспечивает подобие работы кладки во всех стадиях, вплоть до разрушения.

Армянский НИИ стройматериалов и сооружений

1. Վ. ՇԱՀՍՈՒՎԱՐՅԱՆ, Վ. Ք. ՂՈՒԿԱՍՅԱՆ

Քառային ումածքի մոդելացման մի հնառավուության վեռաբեւյալ

Հոդվածում բերված է (1) հիման վրա կանոնավոր ձևի տուֆաքարից որմածքի մոդելացված և իրական նմուշների կենտրոնական սեղմման և սահքի փորձարկումների արդյունքները։ Նրանց համար ստացված տարբեր լարվածային պայմաններում կրողականության, դեֆորմացիաների և քայքայման բնութագրերի բաղդատմամբ ցույց է տրված, որ նման որմածքների ուսումնասիրությունը կարելի է կատարել մոդելացման եղանակով համաձայն (1) պարզ նմանության տեսության։

ЛИТЕРАТУРА-ЧРЦЧЦЬПЬРЗПЬЪ

¹ А. Г. Назаров, О механическом подобии твердых деформируемых тел, Изд. АН АрмССР, Ереван, 1965.

1968

XLVI

ФИЗИКА

УДК 621.382.2.

Член-корреспондент АН Армянской ССР Г. М. Авакьянц, В. М. Арутюнян

К вопросу о прохождении тока через полупроводник, содержащий глубокие уровни

(Представлено 18/XII 1967)

В настоящее время большой интерес вызывают вопросы прохождения тока через полупроводниковую структуру с двойной инжекцией, в базе которой имеются мелкие донорные примеси и глубокие акцепторные центры, не полностью заселенные электронами в состоянии теплового равновесия. Концентрации примесей $-N_g$ и N_0 , соответственно. Длина базы намного превосходит диффузионную длину, поэтому используется дрейфовое приближение. Для напряженности электрического поля в базовой области методом итерации получено уравнение, один из частных случаев которого рассмотрен в (1). Здесь мы предполагаем выполнение следующих неравенств, накладывающих в какой-то степени ограничение на энергетическое расположение и отношение сечений захвата выбираемого глубокого уровня:

$$\theta n_1 < p_1 \hat{o}_0$$
 (1) $H = \frac{j}{eu_n E} > \frac{p_1}{\theta} + \frac{\theta n_1}{b}$, (2)

где n_1 и p_1 — тепловые концентрации по Шокли-Риду (2), $\theta = \frac{\beta'}{\beta}$, где β' — коэффициент рекомбинации электронов на глубокий уровень, β — то же для дырок.

Величину $\hat{o}_0 = \frac{N_0 - N_g}{N_g}$ назовем степенью компенсации, тогда кон-

центрация незаполненных центров N_n будет $\delta_0 N_g$.

Приближенное уравнение для напряженности электрического поля имеет вид:

$$\frac{d^{2}E}{dx^{2}} - \left(\frac{j}{u_{n}E^{2}D} - \frac{e^{2}u_{n}p_{1}N_{n}}{\theta(1+\delta_{0})Dj} - \frac{b}{u_{n}\tau_{p}E}\right)\frac{dE}{dx} + \frac{b}{u_{n}\tau_{p}E} \cdot \frac{e}{D}\left[\frac{j}{eu_{n}E} + N_{n} + \frac{(p_{1}\delta_{0} - p_{0})eu_{n}N_{g}E}{\theta j}\right] = 0.$$
(3)

Анализ, полностью идентичный проведенному в (¹), приводит к следующим закономерностям до участка отрицательного сопротивления (ОС) при

$$N_n \gtrsim \frac{j}{eu_n E}$$
: (4)

1) квадратичная зависимость

$$j = \frac{9}{8} \cdot \frac{eu_n p_1 u_p \tau_p}{\theta} \cdot \frac{V^2}{d^3}; \tag{5}$$

2) вертикаль до срыва

$$V = \frac{1}{3} \sqrt{\frac{eN_n}{2Du_p \tau_p (1 + \delta_0)}} V_{\text{min}}. \tag{6}$$

При

$$N_n < \frac{j}{eu_n E}$$
 (7)

1) закон трех вторых

$$j = \frac{8}{9} e u_n \sqrt{\frac{p_1 N_n u_p \tau_p}{\theta (1 + \delta_0)} \cdot \frac{V^{3/4}}{d^2}};$$
 (8)

2) кубическая закономерность

$$j \approx \frac{27}{4\pi} \cdot \frac{u_n u_p \, \varepsilon \tau_p}{d^5} V^3. \tag{9}$$

Обозначения (1), постоянные интегрирования определены из граничных условий: E=0 при x=d и $E=E_{\max}$ на $x=\frac{d}{2}$.

Закономерности (5) и (6) при соответствующих приближениях переходят в формулы Ашли (3), зависимость (9) же, как нам кажется, может описать кубическую зависимость, недавно наблюдавшуюся Холоньяком и др. (4) на кремнии с золотом.

Возможно появление участка ОС, что связано с возникновением и последующим рассасыванием объемного заряда (для (7)) или обязано наличию в базе глубоких уровней, не занятых электронами до инжекции (для (4)). Для последнего случая методом разделения базы, аналогичным (1), можно получить напряжение срыва:

$$V_{\text{max}} = \sqrt{\frac{3}{8} \cdot \frac{\theta N_n}{p_1 (1 + \delta_0)} \left[\ln \left| 1 + \sqrt{\frac{\theta N_n}{p_1 (1 + \delta_0)}} \right| \right]^{-1} V_{\text{min}}}.$$
 (10)

Область ОС достигает при этом 1 4 базы. Времена жизни носителей в этом интервале токов остаются постоянными, а $\tau_p/\tau_n \approx \delta_0$ Заметим, что все приведенные в настоящей заметке результаты справедливы при выполнении неравенства

 $\partial_0 \theta < 1. \tag{11}$

Ожидаются иные закономерности, когда имеет место неравенство, обратное (2), т. е. глубокие уровни заметно смещены от центра запрещенной зоны (для определенности, рассмотрим центр, смещенный к валентной зоне). Такое расположение центра приводит к резкому увеличению теплового члена p_1 и поэтому возможна область то-

ков выше области закона Ома, когда число инжектированных носителей остается меньшим p_1 . Считая наибольшим членом в полном выражении для τ_p член с p_1 имеем область уменьшения времени жизни дырок по закону

$$\tau_p = \frac{p_1}{\theta n} \tau_{p0}. \tag{12}$$

Однако с ростом тока эти условия изменяются и время жизни становится постоянной величиной (рис. 1). Для (12) имеем следующее приближенное уравнение:

$$\frac{d^{2}E}{dx^{2}} - \frac{e}{DE} \left[\frac{j^{2}}{e^{2}u_{n}^{2}E^{2}p_{1}} - \frac{N_{n}}{1+\delta_{0}} - \frac{D\theta j}{e^{2}u_{p}\tau_{p0}p_{1}u_{n}E} \right] \frac{dE}{dx} + \frac{e}{DE} \cdot \frac{\theta j^{2}}{e^{2}u_{n}^{2}E^{2}u_{p}\tau_{p0}p_{1}} = 0,$$
(13)

решение которого дает новые закономерности после закона Ома:

$$j = \frac{8}{9} e u_n \sqrt{\frac{u_p \tau_{p0} p_1 N_n}{\theta (1 + \delta_0)} \cdot \frac{V^{3/2}}{d^2}}, \qquad (14)$$

(заметим, что (14) совпадает с (8)) и

$$j = \frac{32}{\pi^2} e u_n \sqrt{\frac{D u_p \tau_{p0} p_1}{e \theta}} \cdot \frac{V^2}{d^3}.$$

$$n = \frac{\rho_t}{\theta}$$

$$T_p$$

mox

Рис. 1.

Зависимость (15) получена ранее одним из авторов (5). В процессе уменьшения времени жизни не создается условий для сформирования участка ОС (центр, как нетрудно показать, работает в качестве уровня прилипания для дырок).

Однако тогда, когда центр начинает работать как рекомбинационный, происходит накопление носителей, что приводит к участку ОС; напряжение срыва равно

$$V_{\text{max}} = \sqrt[3]{\frac{2}{9} \cdot \frac{(1+\delta_0) p_1}{9N_n} V_{\text{min}}}$$
(16)

Это выражение получено методом разделения базы. Считаем что область ОС, связанная с образованием объемного заряда при постоянном времени жизни, входит в базу и вытесняет область закона (14). Срыв происходит при достижении областью ОС трети базы. Напряжение срыва (16) увеличивается с ростом температуры.

В заключение хотелось бы отметить, таким образом, важность учета накопления носителей (т. е. образования объемного заряда) при анализировании закономерностей на прямой ветви вольтамперной характеристики диодов с глубокими уровнями в базе.

Институт радиофизики и электропики Академии наук Армянской ССР

Հայկական ՍՍՀ ԳԱ թղթակից-անդամ Գ. Մ. ԱՎԱԳՅԱՆՑ, Վ. Մ. ՀԱՐՈՒԹՅՈՒՆՅԱՆ

Խուր մակարդակներ ունեցող կիսանաղուդչի միջով ճոսանքի անցման ճարցի շուրջը

Առաջարկվում է բացասական դիմադրության նոր մեխանիզմ և տեսականորեն հետազոտվում է վոլտամպերային բնութագիրը այն դեպքում, երբ խորը մակարդակը շեղված է արգելված զոնայի մեջտեղից դեպի վալենտայինը։

ЛИТЕРАТУРА-ԳРЦЧЦЪПЬРЗЛЬЪ

1 Г. М. Авакьянц, "Известия АН АрмССР", Физика, 1, 4, 248 (1966). 3 W. Shockley and W. Read, Phys. Rev. 87, 835 (1952). 3 K. L. Ashley and A. G. Milnes, J. Appl. Phys. 35, 369 (1964). 4 J. S. Moore, N. Holonyak and M. D. Sirkis, Solid—State Electron. 10, 823 (1967). 5 Г. М. Авакьянц, Радиотехника и электроника, 10, 10, 1880 (1965).

УДК 537.531:535.4

ФИЗИКА

П. А. Безирганян, М. А. Навасардян

Зависимость структуры и интенсивности рентгеновых рефлексов от величины и направления температурного градиента

(Представлено чл.-корр. АН Армянской ССР М. Л. Тер-Микаеляном 10/1 1968)

Влияние тепловых напряжений на пятна лауэграммы впервые экспериментально исследовали Сакисака и Сумото (1). Они показали, что под влиянием термических напряжений, возникающих в облучаемом образце кварца при температурном градиенте, раздвоенность лауэ пятен исчезает: не только поверхностные слои, но и весь облучаемый объем при градиенте рассеивает сильнее. Эти исследования были произведены при больших градиентах $\left(167 \frac{2pad}{cM}\right)$.

Борман и Гильдебрант ($^{2, 3}$) исследовали зависимость интенсивности "прямого" и дифрагированного пучков от температурного градиента в кристалле кальцита при MoK_{α} излучении в режиме аномального прохождения (толщина кристалла 3,2 см, $\mu t = 70$, где $\mu -$ коэффициент поглощения, t - толщина кристалла). Они показали, что даже незначительный градиент $\left(0,6\,\frac{2pad}{cM}\right)$ сильно влияет на интенсивность как "прямого", так и дифрагированного пучков — интенсивность этих пучков с появлением градиента сильно падает. В этой работе отмечается также, что отношение интенсивностей "прямого" и дифрагированного пучков несколько зависит от направления градиента (они наблюдали эту слабую зависимость, меняя направление градиента только на обратную сторону).

Окерз и Пеннинг (4) исследовали зависимость интенсивностей "прямого" и дифрагированного пучков в германиевых кристаллах в режиме аномального прохождения при сравнительно больших градиентах $\left(20-30\frac{zpad}{cM}\right)$. Они тоже показали, что интенсивность "прямого" и дифрагированного пучков при этих градиентах падает и отношение интенсивностей этих пучков зависит от направления градиента.

Однако необходимо отметить, что этот интересный и важный вопрос зависимости интенсивностей "прямого" и дифрагированного пучков от направления градиента при различных факторах (и и величины градиента) никто специально и детально не исследовал.

В данной работе на кварцевых образцах исследована зависимость интенсивности и структуры рентгеновых рефлексов (дифрагированных пучков) от направления и величины температурного градиента для различных μt , при непрерывном изменении направления градиента в пределах углов от нуля до 2π .

Исследована также зависимость интенсивностей рефлекса (220) от направления градиента и величины ψt , т. е. в режиме аномального и неаномального прохождения на кристаллах кремния.

1. Исследование интенсивности рентгеновых рефлексов при температурном градиенте на кристаллах кварца. Исследованы рефлексы, полученные от плоскостей (1011) кварцевых кристаллических дисков в двустороннем случае (плоскости были перпендикулярны к большой поверхности диска). Были исследованы интенсивности отражений первого порядка $Mo\ K_a$ излучений от указанных плоскостей в зависимости от величины и направления градиента и от толщины кристалла. Толщина кристалла варьировалась в пределах от 1,5 до 4 мм, а градиент — в пределах от 3 до $25\frac{rpad}{cm}$. Измерения проводились на дифрактометре УРС-50ИМ. Специальным приспособлением направление градиента непрерывно менялось.

Результаты измерений следующие:

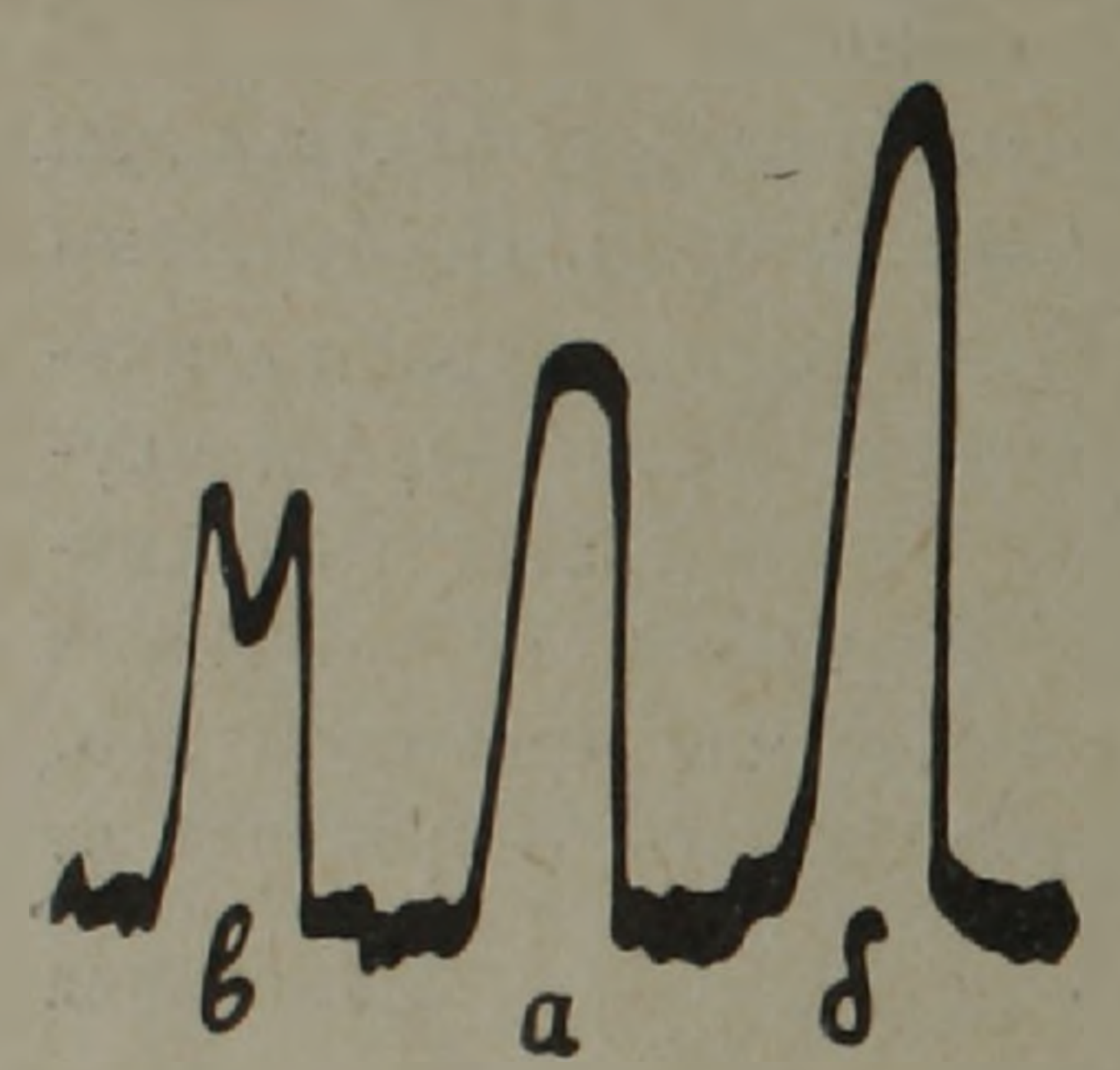
- 1. Градиент сильно влияет на интенсивность отражения только в том случае, когда он перпендикулярен к отражающим плоскостям, т. е. когда вектор градиента параллелен вектору $\vec{S} = \vec{S}_0 \vec{S}_1$, где \vec{S}_0 и \vec{S}_1 единичные векторы в направлениях падения и отражения соответственно. С увеличением угла между вектором \vec{S} и вектором градиента \vec{B} влияние градиента сильно падает и принимает минимальное значение, когда угол между векторами равен $\frac{\pi}{2}$.
- 2. Влияние градиента также резко зависит от того, векторы градиента и дифракции (\vec{B} и \vec{S}) параллельны или антипараллельны. На рис. 1 кривая a изображает интенсивность рефлекса при отсутствии градиента, а кривая b интенсивность рефлекса при градиенте b антипараллелен дифракционному b когда вектор градиента b антипараллелен дифракционному b когда вектору b (рис. b изображает интен-

сивность рефлекса при том же градиенте, когда вектор градиента \vec{B} параллелен дифракционному вектору \vec{S} (рис. 26, $T_2 < T_1$). Как

видно из этих кривых, градиент увеличивает интенсивность отражения, когда он направлен навстречу дифракционному вектору. А когда вектор градиента направлен в сторону дифракционного вектора, интенсивность рефлекса сильно падает и происходит расщепление рефлекса.

При больших градиентах $\left(25\frac{rpad}{cM}\right)$ как в первом $(\vec{B}\downarrow\uparrow\vec{S})$, так

и во втором $(B \cap S)$ случаях интенсивность рефлекса из-за градиента увеличивается и расщепление не происходит. Однако в первом случае увеличение интенсивности гораздо больше, чем во втором (рис. 3, кривые δ и δ соответственно).



Измерения интенсивности рефлекса при градиенте проводились также для различных толщин кристаллического диска. Эти измерения показали, что характер зависимости интенсивности рефлекса от градиента не зависит от толщины кристалла, в пределах толщин от 1,5 до 4 мм ($\mu t = 1,5 \div 4$).

Была исследована зависимость интенсивности рефлекса (100) от направления градиента и для кристалла КДП

Рис. 1. Отражение от кварца (КН₂ РО₄). Эти измерения также подпри малом градиенте. твердили вышеуказанный характер зависимости интенсивности рефлекса от градиента.

2. Исследование интенсивности рентгеновых рефлексов при температурном градиенте на кристаллах кремния в режиме аномального и неаномального прохождения. В случае кремния исследованы образцы, тоже имеющие вид диска. В зависимости от режима (аномального и неаномального прохождения) характер изменения интенсивноси от температурного градиента различен.

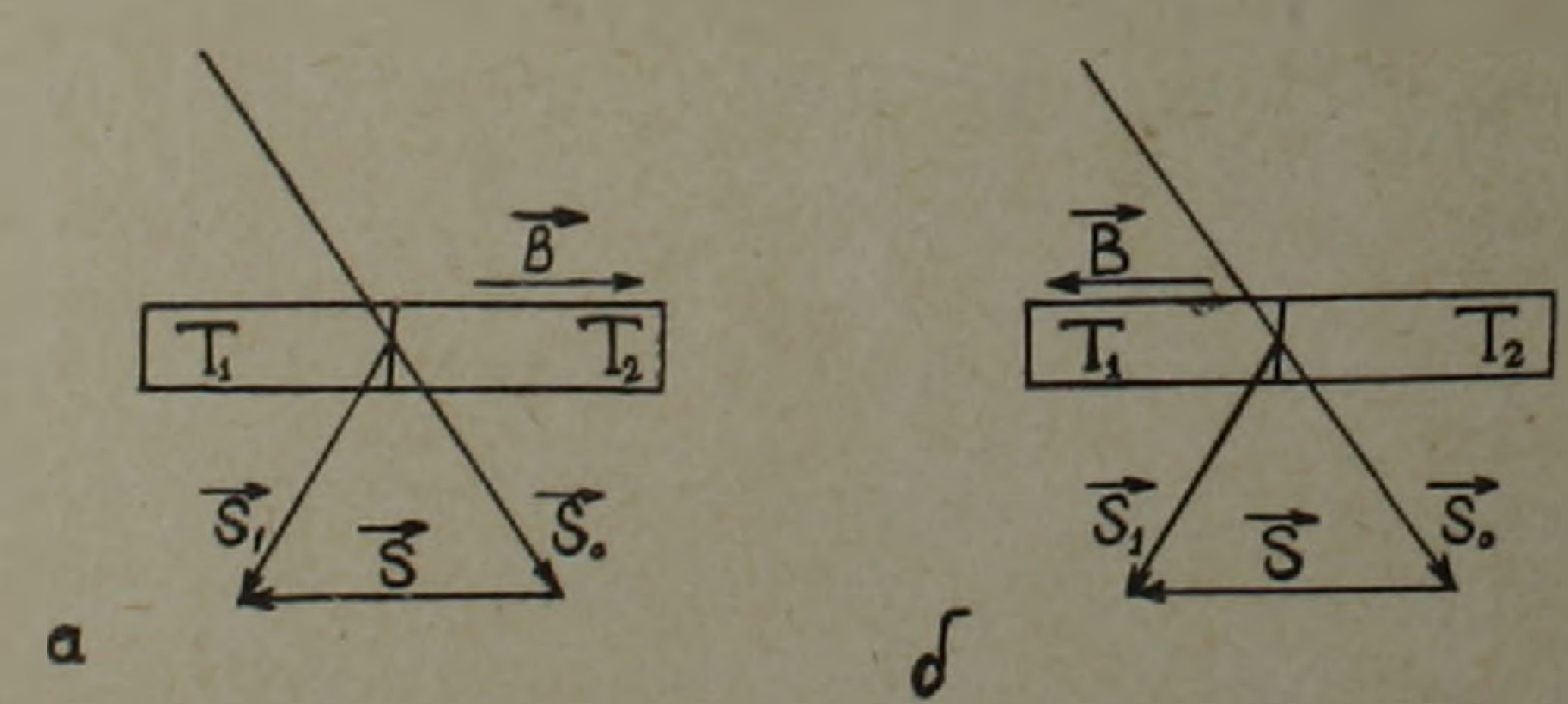


Рис. 2. a — направление векторов градиента и дифракции антипараллельны $(B\downarrow\uparrow S);$ δ — направление векторов градиента и дифракции параллельны $(B\uparrow\uparrow S).$

В режиме неаномального прохождения (тонкий кристалл $\mu t \approx 1$) ход зависимости интенсивности рефлекса от направления температур-

прадиента почти такой же, как и в случае кварца (при малом градиенте), если не считать то, что в случае кремния интенсивность рефлекса несколько слабее зависит от величины градиента, чем в случае кварца. В случае аномального прохождения (толстый кристалл $\mu t - 10 \to 30$) в зависимости от толщины кристалла, т. е. в зависимости от μt , влияние температурного градиента сказывается на интенсивность рефлекса по-разному. Так, например, при $\mu t = 15$, интенсивность резко зависит от направления градиента. На рис. 4 α по-казана интенсивность рефлекса при отсутствии градиента, на рис. 4 α по-казана интенсивность рефлексов при наличии градиента, 50 $\frac{rpad}{cm}$ в

случаях $\vec{B} \downarrow \uparrow \vec{S}$ и $\vec{B} \uparrow \uparrow \vec{S}$ соответственно. Как видно, из кривых рис. 4,

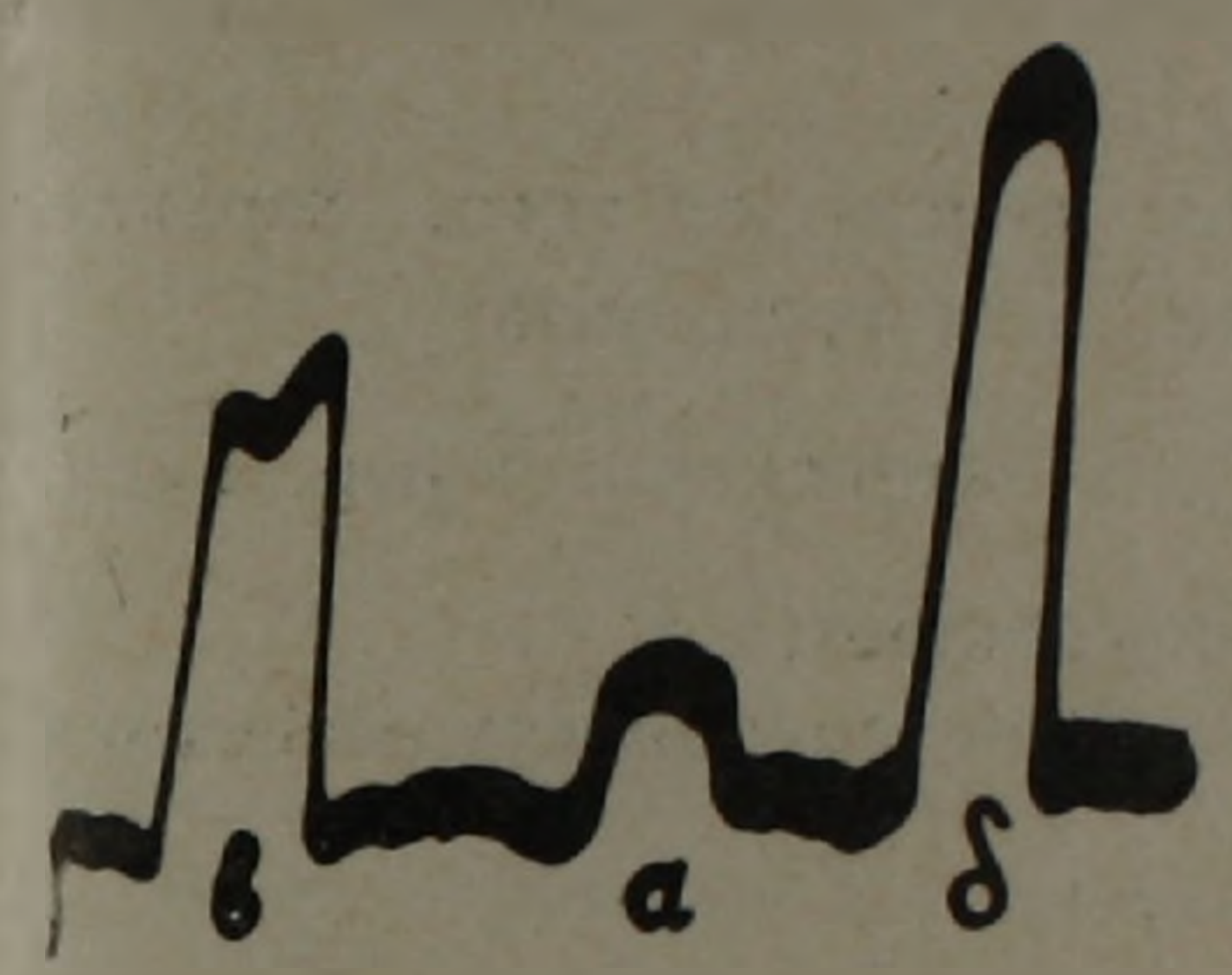


Рис. 3. Отражение от кварца при большом градиенте.

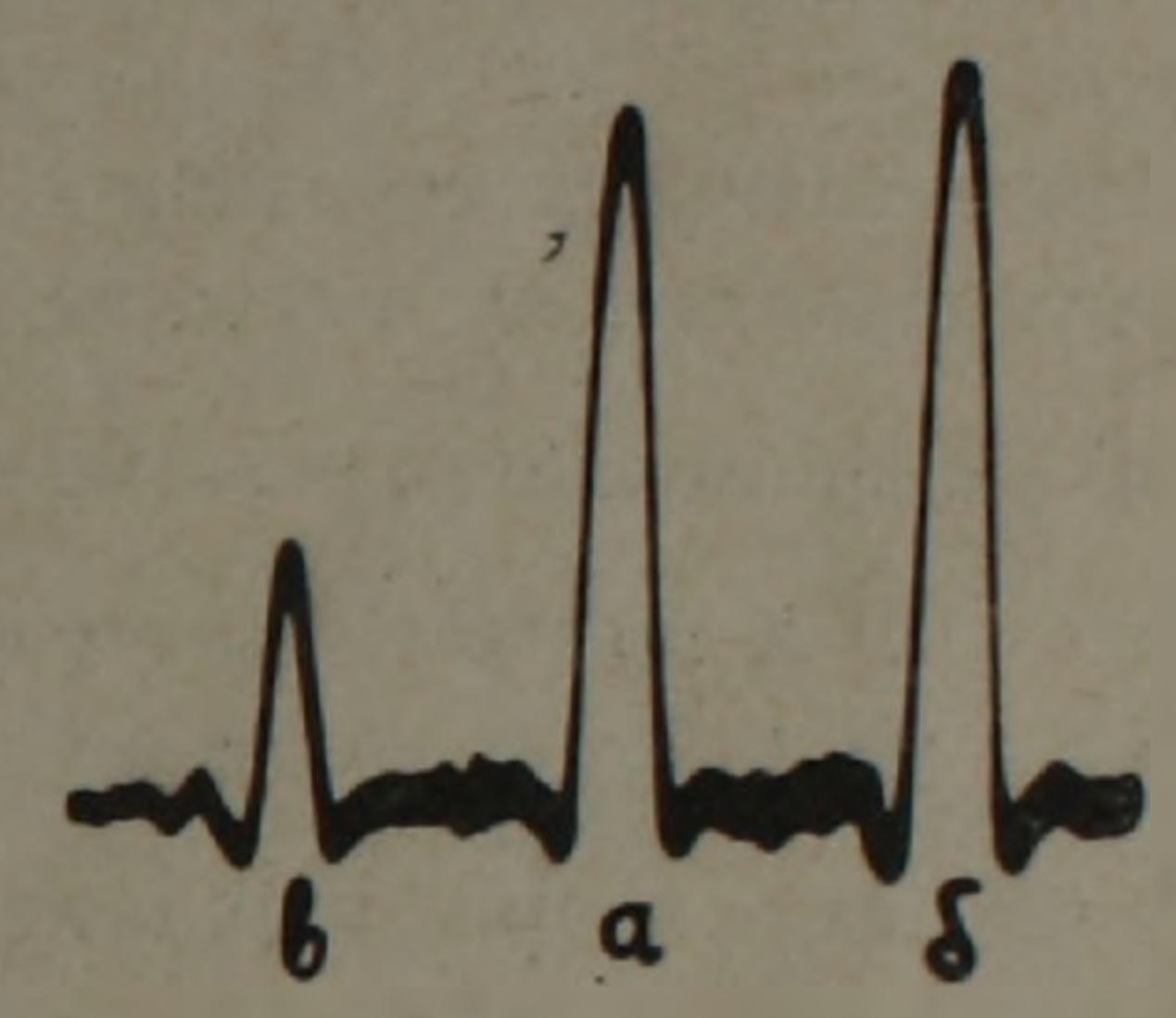


Рис. 4. Отражение от кремния при $\mu t = 15$.

в случае аномального режима при тонких кристаллах (не глубокая аномалия) интенсивность рефлекса при $\vec{B} \downarrow \uparrow \vec{S}$ не падает (кривые a и b имеют почти одинаковую высоту), но при $\vec{B} \uparrow \uparrow \vec{S}$ интенсивность рефлекса из-за градиента резко падает.

При толстых кристаллах ($\mu t=30$, сравнительно глубокая аномалия) независимо от направления градиента, интенсивность рефлекса резко падает. В этом случае ($\mu t=30$) независимо от направления градиента интенсивность рефлекса уменьшается, но когда $\overrightarrow{B}\uparrow\uparrow\overrightarrow{S}$ интенсивность уменьшается несколько больше, чем когда $\overrightarrow{B}\downarrow\uparrow\overrightarrow{S}$.

Результаты проведенных нами опытов в основном сводятся к следующему:

- 1. В случае кварцевых образцов имеем:
- а) при небольших градиентах $\left(4\frac{rpad}{cM}\right)$ интенсивность реф-

лекса уменьшается и рефлекс расщепляется при $\vec{B}\uparrow\uparrow\vec{S}$, а при $\vec{B}\downarrow\uparrow\vec{S}$

б) при больших градиентах интенсивность рефлекса увеличивается независимо от направления и расщепление не происходит; однако

это увеличение в случае $B\downarrow\uparrow S$ гораздо больше, чем когда $B\uparrow\uparrow S$, примерно аналогичные результаты получены в работе (5), где приводятся результаты исследования зависимости интенсивности от направления механических давлений в кристаллах кремния ($\psi t=1,5$).

2. В случае кремниевых образцов имеем:

а) при малых μt ($\mu t=15$, сравнительно тонкие кристаллы) интенсивность рефлекса при $\vec{B} \downarrow \uparrow \vec{S}$ остается неизменной, а при $\vec{B} \uparrow \uparrow \vec{S}$ резко падает;

б) при больших ut ($\mu t = 30$, сравнительно толстые кристаллы) как в первом $B \downarrow \uparrow S$, так и во втором $B \uparrow \uparrow S$ случаях интенсивность

рефлекса резко падает.

Таким образом, из вышеизложенного можно сделать следующие выводы:

Интенсивность отражения сильно зависит от того, параллельны или антипараллельны векторы дифракции и градиента:

а) в неаномальном режиме при $B \downarrow \uparrow S$ интенсивность рассеяния увеличивается, а при $\vec{B} \uparrow \vec{S}$ интенсивность падает;

б) в неглубокой аномалии ($\mu t=15$) интенсивность рассеяния при $\vec{B}\uparrow\uparrow\vec{S}$ падает, а при $\vec{B}\downarrow\uparrow\vec{S}$ не меняется;

в) при глубокой аномалии как при $B \cap S$, так и при $B \downarrow \uparrow S$ интенсивность рассеяния падает, но в первом случае уменьшение интенсивности больше, чем во втором.

Влияние градиента в основном сводится к тому, что отражательная способность различных сторон плоскостей меняется по-разному: интенсивности волн, отраженных от различных сторон данной системы плоскостей, отличаются друг от друга.

По-видимому, влияние градиента сказывается двояко:

- а) в аномальном режиме градиентные нарушения совершенства кристаллов увеличивают поглощение и уменьшают интенсивность рефлекса;
- б) из-за градиента происходит искривление отражающих плоскостей, в результате чего при отражении с их вогнутой стороны происходит фокусировка отраженных воли и интенсивность рефлекса увеличивается, а при отражении от выпуклых сторон происходит дефокусировка и интенсивность рефлекса уменьшается, чем и объясняется вышеуказанное несимметричное отражение.

Поэтому в кварцевых образцах при малых градиентах в случае $B \upharpoonright S$ интенсивность рефлекса больше, чем в случае $B \upharpoonright S$. Расщепление рефлекса в случае $B \upharpoonright S$ объясняется тем, что нарушения кристаллической решетки в поверхностных слоях больше, чем внутри кристалла (поверхностные слои отражают сильнее).

При больших градиентах нарушение кристаллической решетки еще больше увеличивается и преобладает над эффектом дефокусировки, и поэтому с обеих сторон системы плоскостей интенсивность отражения, оставаясь несимметричной, увеличивается.

В случае кремниевых образцов при аномальном происхождении:

а) при сравнительно тонких кристаллах ($\psi t = 15$) в случае $B \parallel S$ фокусирующий эффект компенсируется ослабляющим эффектом (увеличение поглощения) и уменьшение интенсивности рефлекса не

происходит, а в случае $B \uparrow \uparrow S$ происходит дефокусировка и увеличивается поглощение, поэтому интенсивность отражения уменьшается;

б) при сравнительно толстых кристаллах эффект увеличения поглощения преобладает над эффектом фокусировки, поэтому интенсивность отражения оставаясь несимметричной, как в случае $B \downarrow \uparrow S$, так и в случае $B \uparrow \uparrow \vec{S}$, падает.

Ереванский государственный университет

Պ. Հ. ԲԵԶԻՐԳԱՆՅԱՆ, Մ. Ա. ՆԱՎԱՍԱՐԴՅԱՆ

Ռենտգենյան ռեֆլեքսի ստրուկտուրայի և ինտենսիվության կախումը ջերմաստիճանային գրադիենտի մեծությունից և ուղղությունից

Պարղարանված է, որ ինտենսիվության կախվածությունը գրադիենտից էական փոփոխություն է կրում թէ-ի տարրեր արժեքների ղեպքում, օրինակ՝

- m) $M \approx 1$, S | | B-whiteness, $S \downarrow \uparrow B$ -stedungness,
- $p)=15,\ S\uparrow\uparrow B-w u h n L d,\ S\downarrow \mid B$ գրե θ եւ փոփոխու θ յու u չ կ u ,
- q) $\mu t=30$, $\vec{S}\uparrow\uparrow\vec{B}$ with \vec{B} with \vec{B} with \vec{B} with \vec{B} .

Այս փոփոխությունները բացատրվել են ֆոկուսացման և ապաֆոկուսացման մի-^{լոցով} (անդրադարձնող հարթությունների ճկում), ինչպես նաև մեխանիկական այլ ^{խախտումներով, որոնք առաջանում են ջերմաստիճանային դրաղիենտի ազդեցության}

ЛИТЕРАТУРА-РРИЧИСПРЕЗПРС

¹ Y. Sakisaka, I. Sumoto, Proc. Math. Phys. Soc. (Japan), 13, 21 (1931). ² G. Borr
mann, G. Hildebrandt, Z. Naturforsch, IIa, 585 (1956); Zs. F. Phys., 1956, 189—199, (1959).

G. Hildebrandt, Zs. F. Krist. 112/312, (1959). ⁴ B. Okkerse, P. Penning, Phil. Res.

Repls., 18. nl. 82 (1963). ⁵ E. Fukushima, K. Hayakawa, H. Nimura, J. Phys. Soc. Japan, 17, 709 (1962).

XLVI 1968

^СТРОФИЗИКА

УДК 523.164

Ю. К. Мелик-Алавердян

О функции радиосветимости радиогалактик

(Представлено академиком В. А. Амбарцумяном 14/IV 1968)

Функция радиосветимости радиогалактик с последовательным учетом релятивистских эффектов получена в (¹). Однако, как выяснилось уже к моменту опубликовання работы (¹), использованные там данные об отождествлениях радиогалактик были не полными и, отчасти, нуждающимися в пересмотре. Этим обстоятельством и вызвана, главным образом, необходимость нового определения функции радиосветимости с привлечением значительно пополнившегося к настоящему времани наблюдательного материала о радиогалактиках. В настоящей работе использованы отождествления радиогалактик, приведенные в обзоре (²), спектральные плотности радиопотоков взяты из каталога 4С (³, 4), а значения спектральных индексов—из (5, 6).

Для построения функции радиосветимости необходимо иметь полный список радиогалактик в достаточно большом объеме. Однако для большей части известных радиогалактик не измерены еще красные смещения. Оценка абсолютных радиовеличин таких радиогалактик может быть получена в предположении, что их абсолютные оптические величины имеют то или иное определенное значение. В настоящей работе каждой из этих радиогалактик приписывается 3 значения абсолютных визуальных величин. Эти значения равны—22^m,0—22^m,5 и—23^m,0, с весами, соответственно 0,25; 0,50 и 0,25. Таким образом вводится некоторая функция оптической светимости, позволяющая частично учесть дисперсию абсолютных оптических величин.

Для каждого из этих значений M, для каждой радиогалактики с известной видимой оптической звездной величиной, можно определить z из уравнения:

$$M_v = m_v - 5 \lg D + 5 - K(z) - \Delta m_v,$$
 (1)

если только известна зависимость от z фотометрического расстояния D. Для моделей с нулевой космологической постоянной и нулевым давлением:

$$D = \frac{c}{H_0 q_0^2} \left[q_0 z + (q_0 - 1) \left(\sqrt{1 + 2q_0 z} - 1 \right) \right], \tag{2}$$

где q_0 — параметр ускорения, c — скорость света, а H_0 — постоянная Хаббла. Будем считать, что $H_0 = 75 \ \kappa \text{м/сек Mnc}$.

В формуле (1) имеются две поправки. Первая поправка—K(z)— учитывает изменение видимой визуальной величины из-за красного смещения. В настоящей работе приняты значения K(z), вычисленные B(z).

Вторая поправка— Δm_v — учитывает галактическое поглощение. Эта поправка вычисляется по формуле:

$$\Delta m_v = 0.1 \ a \ \text{cosec} \ b, \tag{3}$$

где a — поглощение в визуальных звездных величинах на 1 κnc в данном направлении (8). При галактической широте b удовлетворяющей условию $|b| > 30^\circ$ можно считать, что $a = 2^m/\kappa nc$.

После определения z для каждой радиогалактики можно вычис- лить абсолютную радиовеличину M_r :

$$M_r = m_r - 5 \lg D + 5 + K_r(z),$$
 (4)

где $K_r(z)$ — поправка, аналогичная оптической K — поправке:

$$K_r(z) = 2.5 (1 - \alpha) \lg (1 + z),$$
 (5)

где а — спектральный индекс.

Видимая радиовеличина m_r на частоте 178 мггц вводится здесь следующим образом:

$$m_r = 11.5 - 2.5 \lg S,$$
 (6)

где S — спектральная плотность потока на частоте 178 мггц в единицах 10^{-26} в $m/м^2$ гц. Вводимая таким образом система радиовеличин m_r очень близка к системе Брауна и Хазарда.

Все эти вычисления по приведенным выше формулам выполнены для 3 значений параметра ускорения q_0 , равных 0,1 и 2. Располагая полученными таким образом тремя списками радиогалактик с z и M_r , можно для каждого q_0 подсчитать среднее число радиогалактик различных абсолютных радиовеличин в единице объема. Эти объемы, соответствующие части небесной сферы со склонением $\delta > -5^\circ$, и данному предельному значению красного смещения, вычисляются по формулам, полученным в (1), и имеющим, после некоторых элементарных преобразований следующий вид:

$$V_0 = 5,46 \cdot 10^{10} \left[(1+z)^2 - 4 \ln (1+z) - (1+z)^{-2} \right] \tag{7}$$

при $q_0 = 0$,

$$V_1 = 2{,}19 \cdot 10^{11} \left[\arcsin \left(\frac{z}{1+z} \right) - \frac{z\sqrt{1+2z}}{(1+z)^2} \right]$$
 (8)

 $при q_0 = 1 и$

$$V_{2}=9,11\cdot10^{9}\left\{ \left(\frac{5+2z}{1+z}\right)\frac{\sqrt{1+4z}}{1+z} - 1 - \frac{3z(2-z)}{(1+z)^{2}} - \frac{24}{\sqrt{27}} \left\{ \arcsin\left(\frac{0,5-z}{1+z}\right) - \arcsin\left(0,5\right) \right\} \right\}$$
 (9)

 $при q_0 = 2.$

В эту область с $c > -5^\circ$ попадает также отличающаяся сильным галактическим поглощением экваториальная полоса. Чтобы устранить эффект возможной наблюдательной селекции, зона с $|b| < 10^\circ$ исключена из рассмотрения. Соответственно этому, объемы (7), (8) и (9) уменьшатся примерно в 1,2 раза.

Значения z в формулах (7), (8) и (9) ограничены условием пол-

ноты списка радиогалактик:

$$m_r (M, z_{\text{max}}) = 9^{\text{m}}.$$
 (10)

Иными словами, граница z_{\max} зависит от M_r , а через формулы (7), (8) и (9) объемы V зависят от z_{\max} . Тем самым для каждого M_r мы имеем свой "доступный объем".

В результате расчетов, для абсолютных радиовеличин от -26^{m_1} до -35^{m_2} , получены значения средних чисел радиогалактик в 1 Mnc^3 , приходящихся на единичный интервал абсолютных радиовеличин. Получено, что для всех трех рассмотренных космологических моделей функция радиосветимости может быть выражена следующей степенной зависимостью:

$$\lg n (M_r) = 0.50 M_r + 7.7. \tag{11}$$

В заключение приношу благодарность академику В. А. Амбарцумяну за руководство. Г. М. Товмасяна благодарю за полезные замечания. А. В. Теребиж благодарю за помощь в проведении вычислений на вычислительной машине "Наири".

Бюраканская астрофизическая обсерватория

ցու, Կ. ՄԵԼԻՔ-ԱԼԱՎԵՐԴՅԱՆ

Ռադիոգալակտիկաների ռադիոլուսատվության ֆունկցիայի մասին

Բերվում են ռադիոգալակտիկաների ռադիոլուսատվության ֆունկցիայի թվային հաշվարկների արդյունքները։ Կիրառված մեթոդը շարադրված է (1)-ում։ Ստացվում է, որ զրոյական ճընչ-մամբ, զրոյական կոսմոլոգիական հաստատունով և 0-ից մինչև 2 փոփոխվող արագացման պարամետրով կոսմոլոգիական մոդելների շրջանակներում, 1 Մդպս 3 -ում եղած ռադիոգալակտիկաների միջին թվի դիտվող բաշխումը ըստ բացարձակ ռադիոմեծությունների 178 մեզահերց հաձախականությունում կարող է ներկայացվել $\lg n(M) = 0.50M + 7.7$ արտահայտությամբ։

ЛИТЕРАТУРА-ԳРИЧИЕПЬРЗПЬИ

¹ R. C. Roeder, G. C. Mc Vittie, Aph. J. 138, 15 (1963). ² J. D. Wyndham, Aph. J. 144, 2 (1966). ³ Mem. R.A.S. 69, 5 (1965). ⁴ Mem. R.A.S. 71, 2 (1967). ⁵ R. J. S. Williams and P. Stewart, M.N. 135, 3 (1967). ⁶ K. J. Kellermann, Aph. J. 140, 3 (1964). ¹ A. P. Сэндейдж, Сб. Наблюдательные основы космологии, М., 1963. ⁸ H. C. Шаров, А. Ж. 40, 5 (1963).

АСТРОФИЗИКА

уДК 523 164

Ю. К. Мелик-Алавердян

О радиоизлучении «нормальных» галактик и яркости метагалактического радиофона

(Представлено академиком В. А. Амбарцумяном 14/IV 1968)

В работе (1) был сделан вывод о том, что наблюдаемое фоновое радиоизлучение Метагалактики может быть объяснено совместным радиоизлучением радиогалактик и, главным образом, нормальных галактик, без привлечения эволюционных или космологических факторов. Однако полученная в настоящей работе функция радиосветичости заставляет пересмотреть обоснованность этого вывода.

Построим функцию радиосветимости "нормальных" галактик. Воспользуемся теми же данными о радиопотоках и расстояниях, которые использованы в (1), но с учетом спектральных индексов радиоисточников (2,3).

Абсолютные радиовеличины на частоте 178 мгги можно вычислить по формуле:

$$M = m - 5 \lg z - 43, \tag{1}$$

так как $z \ll 1$. В формуле (1) для постоянной Хаббла принято значение 75 км сек Мпс.

Система видимых радиовеличин вводится следующим образом:

$$m = 11.5 - 2.5 \lg S - 2.5 \lg \frac{1410}{178}$$
 (2)

где S— спектральная плотность потока на частоте 1410 мггц, а а— спектральный индекс радиоисточника.

Для определения функции радиосветимости достаточно теперь подсчитать число радиогалактик различных абсолютных радиовеличин в некотором объеме. Этот объем ограничен условием полноты списка радиоисточников. С другой стороны, при его определении необходичио считаться с возможностью местных флуктуаций концентрации галактик.

В качестве условия полноты списка радиоисточников примем ус-

$$m(M, z_{\text{max}}) = 11^{\text{m}}.$$
 (3)

Кроме этого, рассматриваемый объем ограничим условием:

$$z_{\text{max}} \leq 0,005.$$
 (4)

При выполнении этого условия список галактик можно считать свободным от оптической селекции (1).

В результате расчетов получается, что распределение галактик по абсолютным радиовеличинам, в интервале абсолютных радиовеличин от -22^m до -16^m , может быть представлено выражением:

$$\lg n(M) = 0.50 M + 6.9,$$
 (5)

где n(M) — число галактик данной абсолютной радиовеличины в $1 \; Mnc^3$ и в единичном интервале абсолютных радиовеличин.

Подсчитаем теперь радиоизлучение "нормальных" галактик в $1\ Mnc^3$:

$$P_0 = \int P(M) n(M) dM, \tag{6}$$

где P(M)— радиоизлучение галактики с абсолютной радиовеличиной M. Для интервала абсолютных радиовеличин от — 22^m до — 16^m по формуле (6) находим:

$$P_0 = 2.57 \cdot 10^{19} \ \text{вт/гц стер Mnc}^3$$
 (7)

Соответствующая яркостная температура метагалактического радиофона может быть вычислена по формуле:

$$T_b = \frac{\lambda^2}{2k} \frac{c}{H_0} P_0 \int_0^{z_{\text{max}}} \frac{dz}{(1+z)^{2+\alpha} \sqrt{1+2q_0 z}},$$
 (8)

где $\bar{\alpha}$ — среднее значение спектрального индекса, а q_0 — параметр ускорения. В частности, при подстановке в (8) значения (7), при $q_0=1$ и $\bar{\alpha}=0.8$ получается $T_b=4$ К.

Очевидно, что это значение является оценкой нижней границы для вклада "нормальных" галактик в метагалактическое фоновое радиоизлучение.

Другую, по-видимому, верхнюю оценку для этого вклада получим в предположении, что все галактики дают радиоизлучение в соответствии с функцией радиосветимости (5). Принимая для концентрации галактик $1 \ Mnc^{-3}$, а нижней границей значений абсолютных радиовеличин считая— 25^{m} , из уравнения:

$$\int_{-25}^{M_{\text{max}}} n (M) dM = 1$$

$$(9)$$

получаем оценку верхней границы интервала абсолютных радиовеличин галактик: $M_{\text{max}} = -13^{\text{m}},68$.

При этих предположениях, по формуле (8), радиоизлучение "нормальных" галактик в 1 Mnc^3 составляет $5.50 \cdot 10^{19}$ вm/гц стер Mnc^3 ,

а соответствующий вклад "нормальных" галактик в температуру метагалактического радиофона составляет 9°К.

Таким образом, значение яркостной температуры радиоизлучения нормальных галактик, полученное в настоящей работе, в несколько раз меньше соответствующего значения, полученного в (1) и необходимого для объяснения наблюдаемого фонового радиоизлучения при отсутствии эволюционных эффектов или непредвиденных осложнений с космологией.

В заключение приношу благодарность академику В. А. Амбарцумяну за руководство. Г. М. Товмасяна благодарю за полезные замечания. А. В. Теребиж благодарю за помощь в проведении расчетов на вычислительной машине "Наири".

Бюраканская астрофизическая обсерватория Академия наук Армянской ССР

3ՈՒ. Կ. ՄԵԼԻՔ-ԱԼԱՎԵՐԴ3ԱՆ

նո**ւմալ գալակտիկանե**ւի ռադիոլուսատվության և Մետագալակտիկայի ռադիոֆոնի պայծառության մասին

Ստացված է 178 մեդահերց հաձախականությունում գալակտիկաների ռադիոլուսատվության ֆունկցիան, բացարձակ ռադիոմեծությունների — 22 ^m-ից մինջև — 16^{,m} ընկած միջակայքում քննարկվում է Մետազալակտիկայի ռադիոֆոնի պայծառության ջերմաստիճանի վրա նորմայ գալակտիկաների ազդիցության հարցը։ Այդ ավանդը գնահատվում է որպես 4—9°K;

ЛИТЕРАТУРА— ԳՐԱԿԱՆՈՒԵՅՈՒՆ

¹ Г. Б. Шоломицкий, А.Ж., 44, 5 (1967). ² Suppl of the Progress of theoretical Physics 31 (1964). ³ L. Marvin, De Jong Aph. J., 142, 4 (1965).

1968

XLVI

ФИЗИЧЕСКАЯ ХИМИЯ

УДК 541 124

Т. Т. Гукасян, член-корреспондент АН Армянской ССР О. А. Чалтыкян, Н. М. Бейлерян

Кинетика образования ацетальдегида при окислении диэтиламиноэтанола персульфатом калия в водных растворах

(Представлено 25/I 1968)

Для выявления механизма окисления диэтиламиноэтанола персульфатом калия необходимо было изучить кинетику образования ацетальдегида. Скорость накопления ацетальдегида определялась полярографически. Фоном для измерений служил 0,1 моль/л водный раствор LiOH.

1. Влияние концентраций реагентов на скорость накопления ацетальдегида.

Исходная концентрация персульфата (P) $_0 = 0.02$ моль/л = const, исходная концентрация диэтиламиноэтанола $\begin{pmatrix} C_2H_5 \\ C_2H_5 \end{pmatrix}$ N—CH $_2$ —CH $_2$ —OH варьировалась в пределах от 0.005 до 0.04 моль/л при $t=25^{\circ}$ С.

Кинетические данные приведены в табл. 1.

Зависимость количества образовавшегося ацетальдегида во времени от начальных концентраций диэтиламыноэтанола

$(A)_0 = 0.005$ $MONb/N$			$(A)_0 = 0.01$ $MONb/\Lambda$			$(A)_0 = 0.02$ MONb/N			$(A)_0 = 0.025$ $MONb/N$			$(A)_0 = 0.04$ $MOAb/A$		
мин		Сац. 103 моль/л			Сац. 10 ³ моль/л			Сац. 103 моль/л			Сац. 103 моль/л		сек	Сац. 103 моль/л
1 3 6 9 13 18 21 26 29	50 50 30 25 50 45 25 50	0 0,8 1,6 2,9 3,9 4,4 4,5 4,4	1 2 3 6 9 14 20 27 29	30 30 30 30 25 30 40 40 25	0 2,8 3,8 5,2 6,3 7,0 8,3 9,1 9,1	1 1 3 5 7 12 17 26 30	00 45 25 10 55 35 10 00 10	0 4,7 7,8 9,2 11,2 12,3 13,5 14,5 14,8	2 3 5 7 10 16 23 29	10 50 15 00 25 40 20 00	8,4 11,3 13,2 14,7 15,7 16,7 16,8 17,0	2 6 10 14 24 28	35 30 00 35 30 15	12,6 17,4 19,3 19,5 19,7 20,0

Из табл. 1 следует, что при убывании начальной концентрации аминоспирта появляется индукционный период. Нужно отметить, что

максимальное количество образовавшегося ацетальдегида при данной концентрации аминоспирта зависит от отношения аминоспирт/персульфат.

Когда отношение $(A)_0/(P)_0=2$ равняется стехиометрическому [в данном случае $(A)_0=0.04$ моль/л и $(P)_0=0.02$ моль/л] половина аминоспирта превращается в ацетальдегид, а количество израсходованного персульфата равно образовавшемуся количеству ацетальдегида.

Кинетические данные приведены на рис. 1.

В этом случае можно писать:

$$\frac{d \left(S_2O_8^{--}\right)}{dt} = + \frac{d \left(CH_3CHO\right)}{dt}$$

Для определения порядка реакции по аминоспирту определялась скорость реакции при различных начальных концентрациях аминоспирта (табл. 1).

Результаты обработки данных табл. 1 отображены на рис. 2.

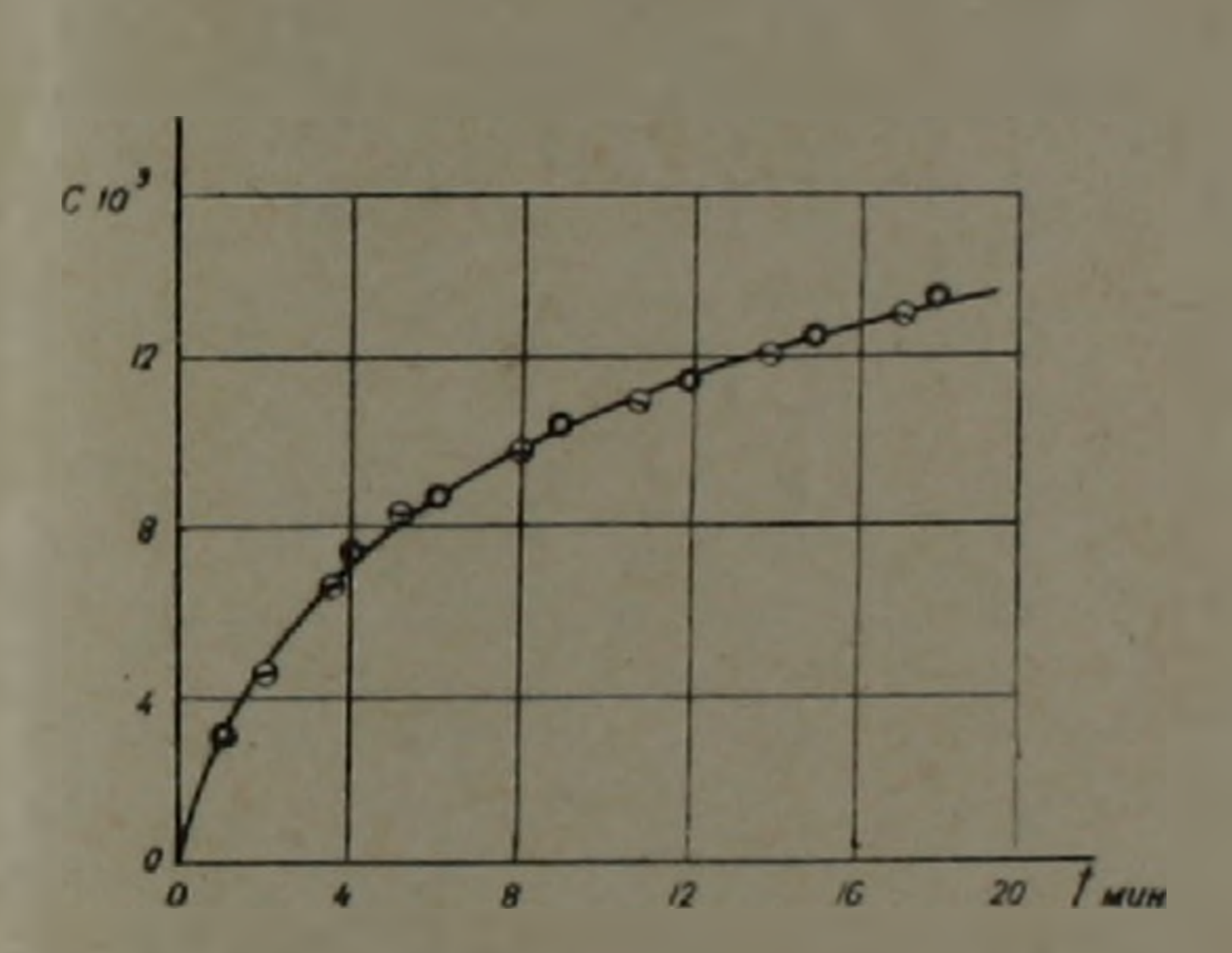


Рис. 1. Зависимость расхода персульфата и образования ацетальдегита от времени.

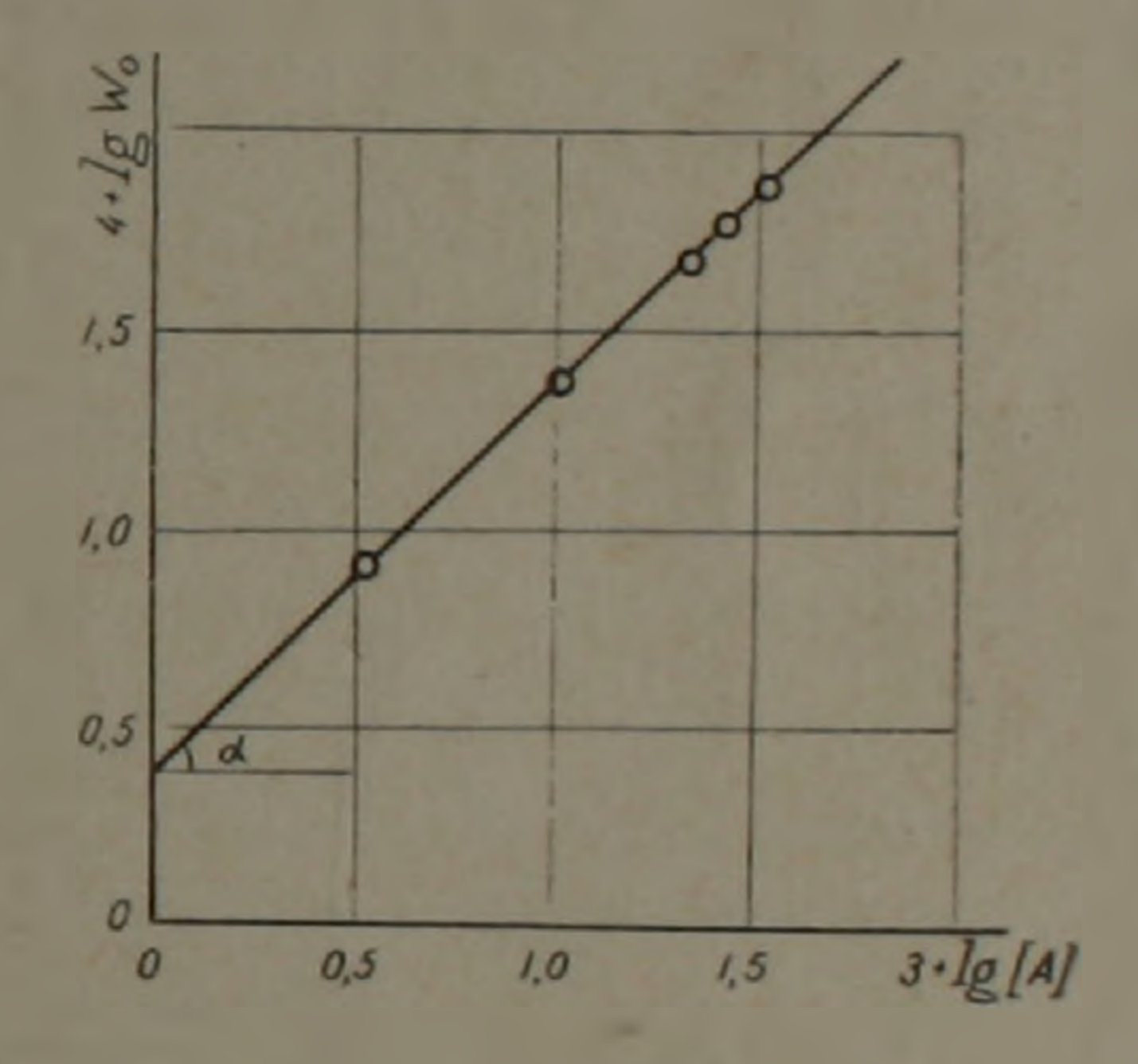


Рис. 2. Зависимость начальной скорости реакции от начальных концентраций диэтиламиноэтанола.

Условия опытов: $(P)_0 = 0.02$ моль/л const; t = 25°C; $(A)_0 = 0.005$ до 0.01 моль/л.

Из рис. 2 видно, что порядок по аминоспирту первый (tgz = 1). Таким же образом определена зависимость скорости образования ацетальдегида от начальной концентрации персульфата.

Опыты проводились при 25° С, при $(A)_0 = 0.02$ моль/л = const и $(P)_0 = 0.01$ до 0.03 моль/л. Кинетические данные приведены в табл. 2.

На основании данных табл. 2 определяли скорость накопления ацетальдегида при различных начальных концентрациях персульфата • Полученные результаты изображены на рис. 3, из которого следует, что порядок по персульфату равен 3/2.

Таким образом. суммарная скорость накопления ацетальдегида описывается уравнением:

$$\frac{d \left(\text{CH}_3 \text{CHO} \right)}{dt} = K_{9\Phi} \left(P \right)^{3/9} (A).$$

Таблица 2 Зависимость количества образовавшегося ацетальдегида во времени от начальных концентраций персульфата калия

$(P)_0 =$	= 0.01 16/A	$(P)_0 = 0.02$ $MOAb/A$				$P)_0 = 0$		$(P)_0 = 0.03$ $MOЛЬ/Л$		
мин сек	Сац. 1() ³	MUH	сек	Сац. 10 ³ моль/л	MUH	сек	Сац. 103 моль/л	мин	сек	Сац. 103 моль/л
1 25 25 4 15 6 9 35 14 00 19 50 15 24 15 27 30 29 15	0 2,8 4,5 6,3 7,7 7,8 8,25 8,35 8,35	1 1 3 5 7 12 17 22 26 30	00 45 25 10 55 35 10 10 00 10	0 4,7 7,8 9,2 11,3 12,3 13,5 14,3 14,5 14,8	2 3 5 6 8 12 14 18 27 30	15 45 10 50 40 10 20 55 15 15	6,6 8,7 10,1 11,4 12,4 13,9 14,7 15,4 16,4 16,4	2 3 5 6 10 13 17 21 25 29	00 45 10 45 15 15 15 10 10	6,7 10,1 11,4 12,2 13,9 16,7 17,2 18,2 18,7 18,7

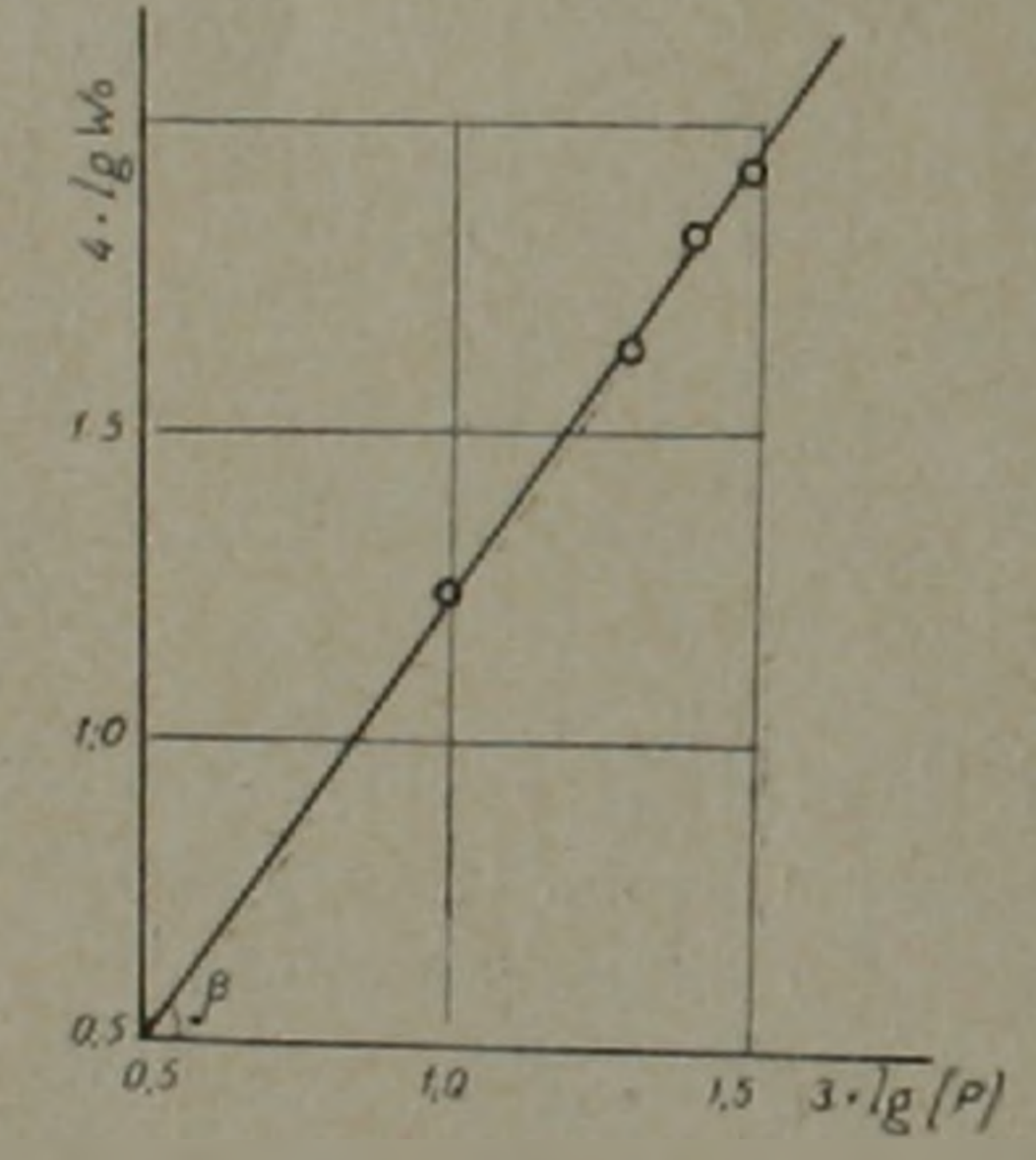


Рис. 3. Зависимость начальной скорости реакции от начальных концентраций персульфата. Условия опытов: $(A)_0 = 0.02$ моль/л = $= const; \ t = 25 \ C; \ (P)_0 = 0.01$ до 0.03 моль/л.

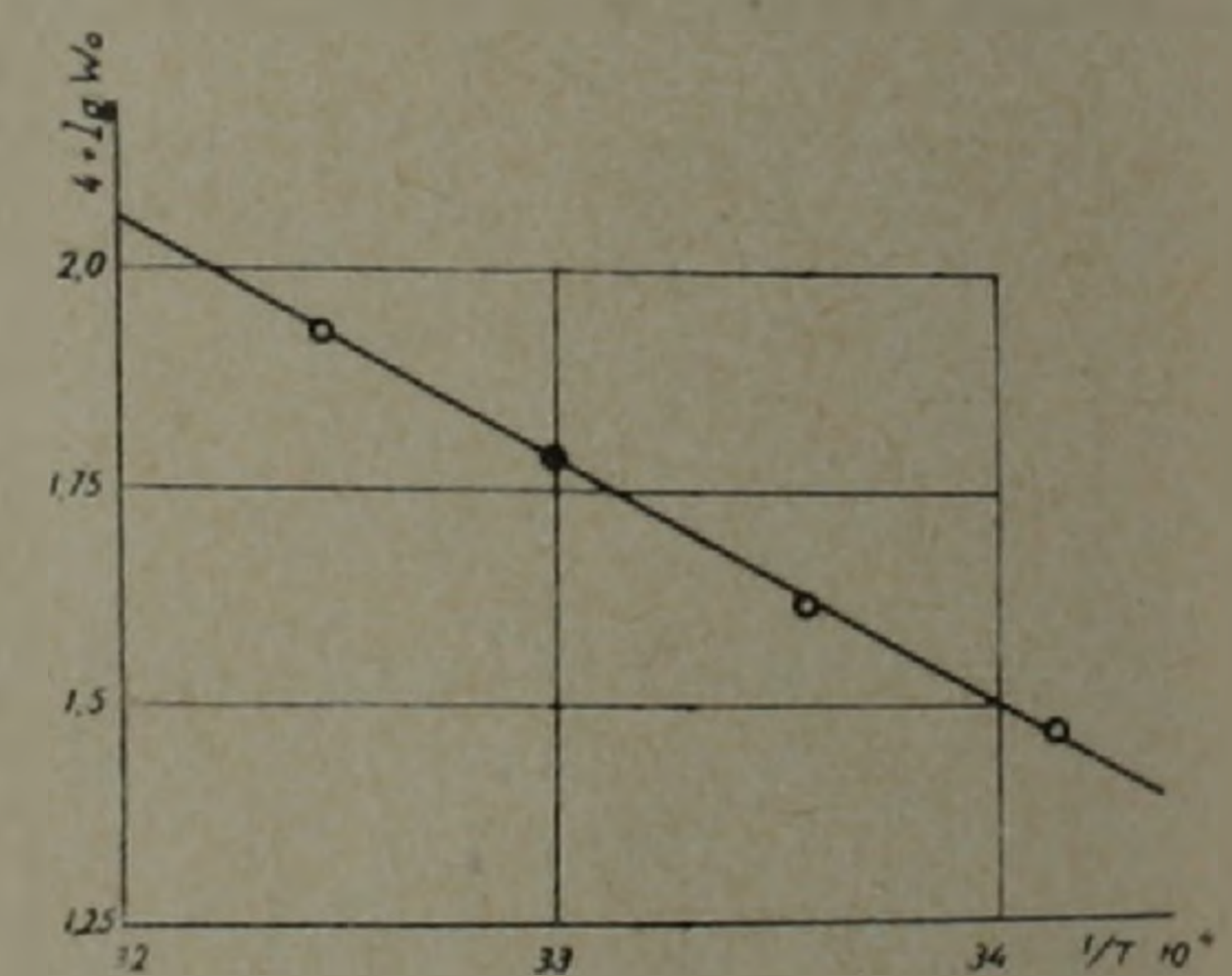


Рис. 4. Зависимость константы скорости реакции в Аррениусовских координатах.

II. Влияние температуры на скорость образования ацетальдегида. Опыты ставились в интервале температур 20°—35°С и при условиях

$$(A)_0 = (P)_0 = 0.02 \text{ моль/л.}$$

Данные измерения приведены на рис. 4 в аррениусовских коорди-

Эффективная энергия активации равна 12,8.

На основании полученных кинетических данных приводится сводная таблица 3.

Сравнение законов скорости израсходования персульфата и накопления ацетальдегида

$$W_{-} = -\frac{d \, (\mathrm{S}_2\mathrm{O}_8^{--})}{dt}$$
 $W_{+} = +\frac{d \, (\mathrm{CH}_3\mathrm{CHO})}{dt}$ по измерению расхода $\mathrm{K}_2\mathrm{S}_2\mathrm{O}_8$ по накоплению ацетальдегида $k_0 \, (P)^{3/2} \, (A)$ $k_0 \, (P)^{3/2} \, (A)$ $E_{3\Phi} = 13 \, \frac{\kappa \kappa a \Lambda}{MO\Lambda b}$ $E_{3\Phi} = 12.9 \, \frac{\kappa \kappa a \Lambda}{MO\Lambda b}$ $E_{3\Phi} = k_0 + \frac{a \, (\mathrm{LiOH})}{b + (\mathrm{LiOH})}$ $k_{3\Phi} = k_0 + \frac{a \, (\mathrm{LiOH})}{b + (\mathrm{LiOH})}$ При $(\mathrm{LiOH})_0 > 0.075 \, \frac{MO\Lambda b}{\Lambda}$ $W_{-} \neq f \, (\mathrm{LiOH})$ $W_{+} \neq f \, (\mathrm{LiOH})$

Ереванский государственный университет

r. Տ. ՂՈՒԿԱՍՅԱՆ, Հայկական ՍՍՀ ԳԱ թղթակից-անդամ Հ. Հ. ՉԱԼԹԻԿՅԱՆ, Ն. Մ. ԲԵՅԼԵՐՅԱՆ

Ացետալդենիդի գոյացման կինեաիկան ջrային լուծույթում դիէթիլամինաէթանոլը պեrսուլֆատով օքսիդացնելիս

Դիէթիլամինաէթանոլ — պերսուլֆատ ռեակցիայի մեխանիզմը պարզաբանելու ամար ուտումնասիրվել է ացետալդեհիդի գոլացման կինետիկան չրային լուծույթում։ Ացետալդեհիդի գո-

 b_{pp} ունենք ստեխիոժետրիկ հարաքերությամբ [[A] $_0$ /[P] $_0$ =2] վերցրած ռեակցիոն խառնուրդ. ապա ամինի կեսը վեր է ածվում ացետալդեհիդի, իսկ պերսուլֆատի ծախսը համարժեք է գոյայած ացետալդեհիդին։

էֆեկտիվ ակտիվացման էներգիան 12,9 կկալ/մոլ է։

பாறமானவுறை டி, மம்

$$-\frac{d (S_2O_8^{--})}{dt} = +\frac{d (CH_3CHO)}{dt} = k_{\xi \xi} \cdot (P)^{3/2} (A)$$

минералогия

УДК 549.6

С. О. Ачикгезян, Э. М. Налбандян

К вариации среднего показателя преломления (Nm) хлоритов на некоторых колчеданных месторождениях северной Армении

(Представлено академиком АН Армянской ССР С. С. Мкртчяном 8/11 1968)

В околорудных гидротермальных метасоматитах месторождений Тандзут (серноколчеданное), Чибухлы (серно-медноколчеданное) и Шамлуг (медноколчеданное) процессы хлоритизации пользуются широким развитием. Хлорит здесь является одним из основных породообразующих минералов, слагающий хлорито-карбонатовую и хлорито-серицитовую фации пропилитов, четко прослеживающиеся на расстоянии до первых сотен метров от рудных тел (линзы, жилы, зоны прожилково-вкрапленных руд) как по горизонтали, так и по вертикали. Хлорито-карбонатовая (обычно безрудная) и хлорито-серицитовая (иногда рудоносная) зоны закономерно переходят в более внутренние рудоносные кварцево-серицитовую и монокварцевую фации пропилитов, а последние иногда в кварцево-пирофиллитовую фацию вторичных кварцитов, заключив таким образом сопряженные с оруденением фации метасоматитов в специфическую оболочку, повсеместно содержащую хлорит грохауит-прохлоритового ряда.

Процессы рудообразования не могли в той или иной форме не влияния на химизм таких чувствительных индикаторов переменного химического состава, как хлориты, выразившегося в разноколичественных замещениях магния- железом, кремния- алюминием и др. Описание этого явления нашло отражение в работах некоторых исследователей. В частности, Браун (1) на месторождении Бойд (США) отмечает факты обесцвечивания биотита и хлорита вблизи массивной сульфидной руды и понижения их показателей преломления — биотит, переходит во флогопит, а рипидолит — в амезит. Накамура (2), изучив химически и рентгеноструктурно жильный хлорит, хлорит из серицитово-хлоритовой зоны и из пропилитизированных (зеленокаменно измененных) пород месторождения Ашио (Япония), приходит к выводу, что состав хлоритов изменяется в процессе зизменения боковых пород и что наибольшей железистостью обладают жильные хлориты, наименьшей - хлориты из пропилитизированных пород, а хлориты из серицитово-хлоритовой зоны имеют промежуточный состав.

Наиболее детально и разносторонне процессы хлоритизации освещены в работах Бурикова (3-4), изучившего хлориты околорудных гидротермально измененных и удаленных от рудных тел зеленокаменных пород из колчеданных месторождений на Среднем Урале (Маук, карабаш). Сочетая термоаналитические, рентгеноструктурные и оптические исследования с химическим анализом мономинеральных фракций хлоритов, автор на Маукском месторождении установил хлориты двух типов: 1) магнезиальные прохлориты в связи с колчеданным оруденением и 2) железистые и магнезиально-железистые пеннинклинохлоры в связи с медно-пирротиновым оруденением. В хлоритах первого типа по мере приближения к рудному телу повышается содержание Al₂O₃ и снижается содержание FeO, а в хлоритах второготипа наоборот - возрастает содержание FeO и уменьшается количество А12О3. Изменения состава хлоритов первого типа аналогичны таковым изученных нами хлоритов и объясняются частичным выщелачиванием железа из боковых пород и отложением его в виде пирита.

В отличие от предыдущих исследователей, пришедших к выводу об изменении свойств околорудных хлоритов на основании смещения термоэффектов, различий в рентгенограммах и химических анализов, нами в массовом количестве были замерены Nm хлоритов, с целью обнаружения их возможной вариации, ибо показатели преломления минералов переменного состава также являются функцией их химизма и структуры.

Определение Nm менее трудоемко, чем получение термограмм или рентгенограмм, тем более, что это не связано с трудностями отбора мономинеральных фракций для производства химических анализов.

Обнаруженная нами вариация Nm хлоритов наблюдалась в расрезах скважин (Тандзут), на поверхности (Чибухлы) и в горизонтальных горных выработках (Шамлуг). Результаты замеров Nm хлоритов приведены в табл. 1.

При анализе полученных данных вырисовывается четкая картина закономерного понижения Nm хлоритов по мере приближения к рудным телам как в висячем, так и в лежачем боках. Данная закономерность наблюдается и в вертикальном, и в горизонтальном направлениях, что является достаточно важным фактором при использовании изменения Nm хлоритов в качестве одного из поисковых критериев для установления примерного местоположения слепых рудных тел в пространстве.

Из данных табл. 1 вытекает, что ввиду более интенсивного процесса выщелачивания в висячем боку рудных тел, на почти равных расстояниях от них, градиент вариации Nm хлоритов меняется медленнее, чем в лежачем боку. Это явление также может служить направляющим моментом для определения более или менее точной ориентировки предполагаемого слепого рудного тела. Вариация Nm хлоритов на Тандзутском месторождении дает основание предполоРезультаты замеров Nm хлоритов колчеданных месторождений Тандзут, Чибухлы и Шамлуг

№ образца	Расстоя- ние от рудного тела (.w)	Nm* хлоритов	№ образца	Расстоя- ние от рудного тела (м)	Nm хлорнтов	№ образца	Расстоя- ние от рудного тела (м)	Nm хлоритов	
	Тандз	вутское м	есторожд	дение		Шамлугское месторож- дение			
Ск	важина №	30	Скв	ажина №	26	Горизона	г—140 м,	жила № 5	
0725 0729 0731 0733 0737 0742 0749 0754	- 34 - 56 - 68 - 80 - 104 - 128 - 170 - 204	1,602 1,604 1,605 1,607 1,608 1,610 1,606 1,612	0545 0539 0535 0531 0527 0515 0511	$ \begin{array}{r} +32 \\ +6 \\ \hline -8 \\ -30 \\ -46 \\ -98 \\ -116 \\ \end{array} $	1,609 1,606 1,608 1,615 1,621 1,617 1,614	271 269 265 258 243 239 227	- 0,3 - 1,5 - 5 - 12 - 36 - 44 - 68	1,608 1,609 1,610 1,612 1,613 1,612 1,612	
Скважина № 29			Чибухлинское месторож- дение			636	+70 +28	1,607	
0797 0791 0785 0777 0769 0763	- 12 - 40 - 72 -116 -152 -180	1,602 1,603 1,605 1,604 1,610 1,612	•	еченский гочный фл +270 +230 +165 +140 + 60	участок) анг 1,615 1,606 1,602 1,600 1,597	632 629 626 625 624 Горизон	+ 16 + 8 + 6 + 5 + 3 т - 60 м, ж	1,606 1,601 1,601 1,600 ила № 12	
	важина №		2085 2084 2083	- 75 -110 -145	1,599 1,606 1,608	794 796 799	- 2 - 4 -20	1,603 1,604 1,609	
725 723 735 749 743	723 — 47 1,606 735 — 83 1,610 749 — 119 1,607		Цент 2020 2019 2018	ральная ч + 90 + 40 + 10	асть 1,605 1,603 1,603	Горизон ⁻ 83 5	т—32 <i>м</i> , ж	ила № 12 1,603	
755 770	—190 —217	1,604 1,602	2017 2015 2014 2013		1,596 1,604 1,606 1,607	838 839 840	- 5 -11 -21	1,607 1,607 1,609	

Определения Nm хлоритов произведены в белом свете с точностью до $\pm~0.002$.

Условные обозначения

известные рудные тела;

---- предполагаемые рудные тела;

+ расстояние от висячего бока рудного тела;

- расстояние от лежачего бока рудного тела.

жить о возможном наличии слепых рудных тел в разрезах скважин №№ 26 и 28.

В зеленокаменных породах, изменение которых не связано с процессом рудообразования, Nm хлоритов меняются бессистемно. Этот факт позволяет отличить зоны хлоритсодержащих околорудных мета-

соматитов от бесперспективных в отношении оруденения зеленокаченно измененных пород.

Обнаруженная закономерность в колебаниях Nm хлоритов по пере приближения к рудным телам может служить также индикаторым конкретных физико-химических условий рудообразования и околорудного метасоматоза.

Институт геологических наук Академин наук Армянской ССР

Ս. Հ. ԱՉԻՔԳՅՈԶՅԱՆ, Է. Մ. ՆԱԼՔԱՆԳՑԱՆ

Հյուսիսային Հայաստանի մի քանի կոլչեդանային հանքավայրերում քլուիտների միջին բեկման ցուցիչների (Nm) փոփոխության վերաբերյալ

Ուսումնասիրված են Տանձուտ, Ձիբուխլի և Շամլուղ հանքավայրերի մերձհանքային ապար-Կերում լայն տարածում ունեցող քլորիտների բեկման միջին ցուցիչները, որոնց արժեքների մեջ անջամարմինների շրջակայքում նկատված են խիստ օրինաչափ փոփոխություններ։

Պարզված է, որ ւանքամարմիններին մոտենալիս քլորիտների բեկման միջին ցուցիչները Նվաղում են, անկախ նրանից, մերձեցումը կատարվում է հանքային մարմնի կախված, Թե պառւած Թևի կողմից, ուղղաձիգ, Թե հորիզոնական ուղղությամբ։

Քլորիտների բեկման միջին ցուցիչների այդպիսի փոփոխության գրադիենտի տատանումները անքամարմինների կախված թևում նկատելի են ավելի նվազ, քան պառկած թևում։

վերոհիշյալ օրինաչափությունները հնարավորություն են ստեղծում քլորիտների բեկման փչին ցուցիչների մեծությունների մեջ նկատվող տատանումներն օգտագործել, որպես կույր տնքամարմինների որոնման նշան, ինչպես նաև որոշել նրանց մոտավոր տեղադրումը տարածության մեջ։

ЛИТЕРАТУРА— ԳРЦЧЦЪПЬРЗПЬЪ

¹Henry S. Brown, Geol. Soc. America Spec. Papers, № 68, 1962. ² Takeshi Nalamura. J. Geosci. Osaka City Univ. 7, Jan. 1963. ³ E. В. Буриков, Бюлл. Моск. о-ва клыт. природы, отд. геол., 38, № 5, 1963. ⁴ E. В. Буриков, Вестник Московского јя-та, № 1, 1964.

5

виохимия

УДК 6128.015

Академик АН Армянской ССР Г. Х. Бунятян, Н. А. Есаян, А. Р. Арменян

О проникновении гамма-аминомасляной кислоты через гематоэнцефалический барьер

(Представлено 19/III 1968)

При изучении взаимоотношений между некоторыми нейроактивными веществами в мозгу выяснилось, что гамма-аминомасляная кислота (ГАМК), определенным образом влияет на обмен катехоламинов в мозгу и в других тканях (1) и серотонина в мозгу. Ряд данных, полученный нами позволил предположить, что часть парентерально введенной ГАМК проникает в мозг, особенно в те отделы его, которые богаты нейроактивными веществами—средний мозг, в частности, гипоталамус.

Вопрос проникновения ГАМК через гемато-энцефалический барьер нельзя считать окончательно решенным. Ряд авторов отрицает проницаемость этого барьера в отношении ГАМК. Считается, что она проникает в мозг у взрослых животных при повреждении гемато-энцефалического барьера. Однако недавние исследования показали, что при повреждении некоторых участков мозга путем их охлаждения ГАМК проникала не только в эти участки, но и в неповрежденные части мозга (²). Ряд работ (³) и исследования, проведенные Казаряном в нашей лаборатории с равномерно меченой ГАМК, показали, что она проникает в мозг из крови.

По современному представлению, нейроактивные вещества—ацетилхолин, норадреналин, серотонин, ГАМК, как в мозгу, так и в периферических нервных окончаниях находятся в прочно- и слабосвязанных формах, а также в свободном состоянии. Физиологической активностью обладают свободные или слабо связанные формы этих веществ. Исследования Эллиотта и сотр. (4,5) показали, что большая часть связанной ГАМК высвобождается из мозговой ткани в таких средах, которые употребляются для выделения субклеточных частиц, например, в 0,25 М растворе сахарозы. В мозговой ткани ГАМК находится в двух разных пулах, в одном из которых она связана лабильно, в другом—более прочно. По всей вероятности, эти два вида пула локализованы в разных морфологических структурах мозга. Прочно связанная ГАМК обнаружена, в основном, в нервных окончаниях (6), а слабо связанная, по всей вероятности, сосредоточена в

рецепторах. Свободная ГАМК считается переходной формой между атими двумя пулами (5).

По-видимому, в физиологической активности ГАМК важную роль играют количественные изменения ее свободной и слабо связанной в определенных областях мозга, а не колебания ее общего коичества в целом мозгу. Как показали исследования Эллиотта (4), инсулин, карбазидные соединения и вообще вещества, снижающие уровень ингибирующего фактора, уменьшают прочно связанный ГАМК, гогда как вещества повышающие уровень ее в мозгу, такие как гидооксиламин и ипразид, наоборот, увеличивают содержание свободной формы ГАМК. В нашем институте было показано, что при внутрибрюшинном введении ГАМК содержание свободной ГАМК повышается в гипоталамусе и понижается в полушариях через 2 минуты после ее введения (1). Однако принимаемая доза ГАМК (10 мг/кг) и время 12 мин) в этих экспериментах не соответствовали условиям наших опытов, где изменения содержания катехоламинов и серотонина отмечались через 20 минут после внутрибрюшинного введения 5 мг/кг и через 15 мин после внутрикаротидного введения 0,5 мг/кг ГАМК. Поэтому мы сочли целесообразным изучить изменения в содержании свободной и связанной ГАМК в разных частях мозга в условиях, соответствующих нашим предыдущим опытам.

Исследования проводили на белых крысах весом 120—150 г. ГАМК (5 и 0,5 мг/кг) вводили внутрибрюшинно и внутрикаротидно соответственно. Животных забивали декапитированием через 20 минут после внутрибрюшинного и через 10 минут после внутрикаротидного введения. Отделение соответствующих частей мозга, взвешивание, гомогенизацию производили в течение двух минут. Ткань гомогенизировали при комнатной температуре в 4-х кратном объеме рингер-фосфатного раствора и гомогенат центрифугировали при 15.000g в течение 30 минут по Эллиотту (4). К надосадочной жидкости, которая содержит свободную ГАМК, прибавляли 0,1 объема 4н. НСЮ, осадок суспензировали в 1 мл 0,4 н. НСЮ, ГАМК определяли в 0,1 мл перхлорного экстракта, соответствующего приблизительно 5 мг ткани микрофлюорометрическим методом по Лове и сотр. (8) на Farrand spectrophotofluorometer'e, при 365 и 480 мм, Проверка показала что, этот метод отличается большой чувствительностью и дает возможность определить незначительные колебания ГАМК в небольшом количестве ткани.

В начальных экспериментах флюорометрическим способом определяли количество ГАМК в разных отделах мозга: в гипоталамусе оно составляло 411, в полушариях 352, в продолговатом мозгу 236 мкг/г. Эти величины совпадают с литературными данными (9, 10). Для уточнения количества свободной и связанной ГАМК в одном полушарии того же мозга определяли количество общей ГАМК, в другом—ее свободные и связанные формы. Сумма последних оказалась равной количеству общей ГАМК в соседнем полушарии. Сначала в полушариях, в среднем мозгу, в варолиевом мосту вместе с продолговатым мозгом определяли количества свободной и связанной ГАМК через 20 мин после ее внутрибрюшинного введения в количестве 5 мг/кг; однако достоверных изменений как в отношении свободной, так и связанной ГАМК сравнительно с контрольными опытами не были обнаружены. Затем в тех же экспериментальных условиях определяли количество свободной и связанной ГАМК в различных отделах гипоталамуса. При изучении проникновения в мозг катехоламинов Лихтенштейгер путем гистохимической флюоресценции (11) показал, что некоторые области вентральной части гипоталам муса—как агеа retrochiasmatica, median eminence, ядра periventricular и агсиате поглощают значительную часть введенного норадреналина, т. е. некоторые области вентральной части гипоталамуса обладают большей проницаемостью, чем другие части мозга.

Исходя из этих данных мы разделяли гипоталамус горизонтальным сечением на вентральную и дорзальную части. Полученные нами результаты показывают, что через 20 мин после внутрибрюшного введения ГАМК (5 мг/кг) в вентральной части гипоталамуса крыс количество свободной ГАМК (табл. 1) значительно увеличивается. Этого не наблюдалось в отношении связанной ГАМК.

Таблица 1 Количество связанной и свободной гамма-аминомасляной кислоты (мкг/кг свежей ткани) в вентральной и дорзальной частях гипоталамуса через 20 минут после ее внутрибрюшинного введения (5 мк/кг)

	Вентрал	ьный гипо	оталамус	Дорзальный гипоталамус			
	свобод-	связан- ная	общая	свобод-	связан- ная	общая	
Контроль	163±9 (12)*	269±19 (12)		$171 \pm 10,9$ (12)	260±15 (12)	431±23 (12)	
Гамма-аминомасляная кислота	238±13** (12)	295±17 (12)	533±21** (12)	184±7 (12)	282±8,6 (12)	466±9 (12)	

^{*} Число опытов

Количества свободной и связанной ГАМК в дорзальной части гипоталамуса не отличаются от вентральной и после введения ГАМК уровень ее не подвергается достоверным изменениям. Нужно полагать, что ГАМК проникает в вентральную часть гипоталамуса и не переходит оттуда в дорзальные части. Исходя из этих данных мы в последующих экспериментах изучали только вентральную часть гипоталамуса.

Согласно Бертлеру (12) в гипоталамусе у человека норадреналин сосредоточен в основном в его передней и средней частях. Аналогичные данные были получены относительно других животных. Специфическая для катехоламинов флюоресценция обнаружена в основном

^{**} p < 0.005

в преоптической области, супраоптическом, паравентрикулярном и перивентрикулярном ядрах. В заднем гипоталамусе обнаружены только единичные катехоламиновые нервные волокна (13).

С целью объяснения эффекта ГАМК в отношении катехоламинов $_{M03}$ га мы использовали те отделы гипоталамуса, где содержание этих $_{M03}$ на наиболее высокое. Действие внутрибрюшного введения 5 $_{M2}$ /кг ГАМК на ее свободные и связанные формы изучали в переднем и $_{M03}$ показального гипоталамуса. Результаты исследований ($_{M03}$ показали, что достоверное увеличение ГАМК ($_{M03}$ отмечается только в переднем отделе вентрального гипоталамуса за счет ее свободной формы.

Таблица 2 Количество свободной и связанной гамма-аминомасляной кислоты (мкг/г свежей ткани) в передней и задней частях вентрального гипоталамуса через 20 минут после ее внутрибрюшинного введения (5 мг/кг)

		Передний		Задний			
	свобод-	связан- ная	общая	свобод-	связан-	общая	
Контроль	148±5	279±33	427±27	143±16	304±9	447±12	
	(10)*	(10)	(10)	(12)	(12)	(12)	
Гамма-аминомасляная	204±9**	276±44	481±21**	159±6,9	308±16	467±25	
кислота	(10)	(10)	(10)	(12)	(12)	(12)	

^{*} Число опытов

Представляло интерес изучить изменение уровня свободной ГАМК в других отделах мозга (кора полушарий и продолговатый мозг) под влиянием внутрикаротидного введения ГАМК (0,5 мг/кг), которая в наших прежних экспериментах понижала содержание норадреналина в мозгу (1). Полученные данные (табл. 3) еще раз показали увеличение свободной ГАМК в вентральном гипоталамусе без изменения ее связанной формы. Интересно, что количество свободной ГАМК понижалось в коре полушарий, и не протерпевало изменений в продолговатом мозгу.

Как было указано, выше, по данным Казарян, Гулян (*), через 2 минуты после внутрибрюшного введения 10 мг/кг ГАМК, повышается уровень свободной ГАМК в гипоталамусе. Полученные нами данные подтверждают эти результаты, показывая достоверное повышение свободной ГАМК в передней части вентрального гипоталамуса. Как известно из литературных данных ГАМК проникая в мозг, обнаруживается в свободной форме (2). Наши предыдущие эксперименты с аминооксиуксусной кислотой показали, что понижение уровня норадреналина в гипоталамусе отмечается при небольшом повышении эндогенной ГАМК в среднем мозгу. Исходя из вышеизложенного мож-

^{**} p<0,01

Количество свободной и связанной гамма-аминомасляной кислоты (*мкг/г* свежей ткани) в различных отделах мозга через 10 минут после ее внутрикаротидного введения (0,5 мг/кг)

		Вентральный гипотоламус			Кора полушарий			Продолговатий мозг		
	сво- бод- ная	свя- зан- ная	общая	сво- бод- ная	СВЯ- Зан- ная	общая	сво- бод- ная	СВЯ- Зан- ная	общая	
Контроль	161±= 14 (8)*	250± 17 (8)	441± 25 (8)	194± 9 (10)	158± 13 (10)	352± 16 (10)	130± 7 (10)	106± 11 (10)	236± 14 (10)	
Гамма-аминомасляная кислота	209± 15** (8)	279± 14 (8)	488± 22** (8)	155± 15** (10)	136± 13 (10)	291 ± 22** (10)	136± 12 (10)	121± 15 (10)	257± 20 (10)	

^{*} Число опытов

но предположить, что отмеченное нами незначительное повышение уровня свободной ГАМК, особенно в участках гипоталамуса, богатые моноаминергическими нейронами, является причиной понижения норадреналина и повышения серотонина в гипоталамусе, отмеченная в предыдущих опытах при парентеральном введении ГАМК (1).

Институт биохимии Академии наук Армянской ССР

Հայկական ՍՍՀ ԳԱ ակադեմիկոս Հ. Խ. ԲՈՒՆՅԱԹՅԱՆ, Ն. Հ. ԵՍԱՅԱՆ, Ա. Ռ. ԱՐՄԵՆՅԱՆ

Գամմա-ամինոկաrագաթթվի թափանցումը աrյուն-ուղեղային պատնեշով

Մեր ծախկին փորձերի արդյունքները ցույց են տվել, որ դամմա-ամինոկարագաβթվի (ԳԱԿԹ) փոքր քանակների ներորովայնային և ներկարոտիդային ներարկումները փոփոխում են նորադրենայինի և սերոտոնինի մակարդակը ուղեղում, հատկապես, միջին ուղեղում։ Նման փոփոխություններ նկատվել էին նաև ուղեղային հյուսվածքի վրա ԳԱԿԹ-ի (30—300 մ կզ/մլ) անմիջական ավելացման ժամանակ ամինաօքսիքացախաթթվի ազդեցության տակ։ Սույն աշխատանքում ուսումնասիրվել է ԳԱԿՔ-ի ազատ և կապված ձևնրի քանակական փոփոխությունները ուղեղի տարբեր մասերում։ Փորձերի արդյունքները ցույց տվեցին, որ ԳԱԿԹ-ի ներորովայնային ներարկումը բերում է աղատ ԳԱԿԹ-ի հավանական բարձրացում հիպոթալամուսի առաջնային հատվածում։ ԳԱԿՔ-ի (0,5 մգ/կզ) ներկարոտիդային ներարկման դեպքում այդ բարձրացման հետ միասին նկատվել է աղատ ԳԱԿԹ-ի իջեցում կիսազնդերի կեղևում։ Հավանական է, որ վերը նկարագրած նորադրենայինի և սերոտոնինի մակարդակների փոփոխությունը միջին ուղեղում ԳԱԿԹ-ի ազդեցության տակ կապված է հիպոթալամուսում ԳԱԿԹ-ի ազատ՝ ֆիղիոլոգիական ակտիվ ձևի շատացման հետ։

ЛИТЕРАТУРА-ЧРИЧИБПРЕЗПРЫ

¹ Н. А. Есаян. А. Р. Арменян, Л. Н. Аракелян, Вопросы биохимии мозга, 3, 313, 1967. ² Р. Strasberg, К. Krnjevic, S. Swartz and K. A. C. Elliott, J. Neurochem., 14, 755 (1967). ³ С. А. Мирзоян и Р. Г. Бороян, Вопросы биохимии мозга, 3, 117, (1967). ⁴ К. А. С. Elliott and N. N. Van Gelder, J. Physiol., 153, 423 (1960). ⁵ K. A. C. Elliott, R. T. Khan, B. Bilodeau and R. A. Lovell, Canad. J. Biochem., 43, 407.

^{**} $\pi < 0.05$

(1965). 6 H. Weinstein, E. Roberts and T. Kakefuda, Biochem. Pharmacol., 12, 503 (1963). 1 Б. А. Казарян, Э. А. Гулян, Вопросы биохимии мозга, 3, 83, 1967. 8 I. P. Lowe, E. Robins and G. S. Eyerman, J. Neurochem., 3, 8 (1958). 9 J. S. Sunita and C. Z. Malhotra, J. Neurochem., 9, 37 (1962). 10 R. E. Shaw and J. D. Heine, J. Neurochem., 12, 151 (1965). 11 W. Lichtensteiger and H. Langemann, J. Pharmacol., 151, 400 (1966). 12 A. Bertler, Acta Physiol. Scand., 51, 97 (1961). 13 Ch. Owman and B. Falck, Second Int. Pharm. Meeting, vol. 3, 157 (1965).

XLVI

1968

БИОХИМИЯ

УДК 612.8.015

С. Г. Мовсесян, Р. Г. Камалян

К вопросу образования НАД-сукцината из добавленных НАД и фумарата в митохондриальной фракции печеночной ткани кроликов

(Представлено академиком АН Армянской ССР Г. X. Бунятяном 22/II 1968)

Биосинтез адениловой кислоты (АМФ) из инозиновой кислоты (ИМФ) и аспарагиновой кислоты (АК), как показал ряд исследований (1-7) происходит через образование промежуточного соединения—аденило-сукцината (АМФ-С). Последний расщепляется под действием аденило-сукциназы на АМФ и фумарат. Установлена обратимость этого процесса—из АМФ и фумарата вновь синтезируется АМФ-С.

Кислотный или щелочной гидролиз $AM\Phi$ -C приводит к образованию AK и $ИM\Phi$ (6,8). Обнаружение AK при гидролизе $AM\Phi$ -C является одним из способов его идентификации.

В настоящей работе мы задались целью изучить возможность образования из НАД и фумарата НАД-сукцината, как промежуточного продукта, на пути реаминирования Д-НАД в митохондриальной фракции печеночной ткани, со стороны АК.

Образование НАД-сукцината изучали в условиях смещения равновесия прямой реакции в обратную сторону, что осуществлялось повышением концентрации НАД и особенно фумарата в реакционной смеси.

Подопытными животными служили кролики. После их обезглавлявания быстро извлекали печень, промывали ее 0,25 моллярным раствором сахарозы (рН 7.4, 1—2°С) и готовили кашицу, из которой получали митохондриальную фракцию по методу, описанному в предыдущей работе (в). Количество используемой для каждого опыта митохондриальной фракции соответствовало 500 мг свежей печоночной ткани (4,4—5,8 мг митохондриального белка). Инкубационная смесь содержала: 0,1 мл 0,133 моллярного К-фосфатного буфера (рН 7,4); 0,15 мл 0,2 моллярного трис-НСІ буфера (рН 7.4), 0,1 мл 0,12 моллярного раствора MgSO₄, 0,5 мл митохондриальной фракции. На каждую пробу в зависимости от условий опыта добавляли в микромолях:

 $_{\rm HAД}$ -2,86 и 5,72; АМФ-2,8 и 5,6; НА-16,4 и 32,8. Фумарат, сукцинат, $_{\rm AK}$ и ГК добавляли на пробу по 26 мкмоль. Объем инкубационной $_{\rm ЖИД}$ кости—1,5 мл. Инкубацию проводили при 37 в течение 2 часов в атмосфере воздуха.

Белки осаждали добавлением ТХУ (конечная концентрация 20/0). из надосадочной жидкости липиды и осадитель удаляли трехкратной экстракцией эфиром (эфир брали в двойном объеме и предварительно насыщали дистиллированной водой в отношении 2:1). Затем пробы подвергали лиофильной сушке. К сухому остатку добавляли насышенный раствор Ва (ОН)₂ и ставили на гидролиз при 100-102°C в запаянных пробирках в течение 20 часов. После гидролиза барий осаждали H₂SO₄, отделяли осадок центрифугированием и в супернатанте определяли АК методом бумажного электрофореза. Электрофорез проводили в пирин-ацетатном буфере 1:3,75 (1,6 мл пиридина + +6 мл ледяной уксусной кислоты + дистиллированная вода до 1 л). Электрический ток подавали в 1000—1250 в от 2.5 до 3 миллиампер на ленту. Длительность разделения 1,5-2 часа. АК выявляли раствором нингидрина в ацетоне, 20 минутной экспозицией при 80 С. Данные высчитывали в мкг на 1 мг белка. Белок определяли по методу Лоури и сотр. (10), аммиак микрометодом Зелигсона в модификации Силаковой и сотр. (¹¹).

Таблица 1 Действие сукцината и фумарата на образование аммиака из добавленных НАД, АМФ в митохондриальной фракции печеночной ткани

Условия опыта	Содержание свободного аммиака по сравнению с инкубированным контролем в мкг мг белка
Сукцинат	$-1,0\pm0,3$ (6)
Фумарат	$-1,5\pm0,18$ (6)
НАД+НА	2,8±0,42 (6)
НАД+НА+сукцинат	-1.0 ± 0.28 (6)
НАД+НА+фумарат	$-1,1\pm0,34$ (6)
АМФ	4,2±0,6 (6)
АМФ+сукцинат	-0.2 ± 0.1 (6)
АМФ-фумарат	$-1,5\pm0,16$ (6)

В опытах без добавлений (инкубированная проба) образуется 2,4±0,4 мкг аммиака на 1 мг белка.

Прежде чем приступить к изучению образования НАД-сукцината на добавленного НАД и фумарата в первую очередь интересно было

выяснить действие фумарата и сукцината на образование свободного аммиака из НАД и АМФ в митохондриальной фракции печени.

Проведенные исследования показали (табл. 1), что в присутствии добавленного фумарата, или сукцината наблюдается некоторое уменьшение продукции эндогенного аммиака по сравнению с инкубированным контролем (проба без добавлений). Интересно отметить, что оба субстрата полностью ингибируют деаминирование НАД и АМФ. Так, например, в пробах с НАД+НА (НА-никотинамид добавляли для ингибирования остаточной активности немитохондриального фермента, НАД-нуклеозидазы, расщепляющей НАД на аденозин-дифосфат-рибозу и НА) образуется $2,8\pm0,42$, а с АМФ $4,2\pm0,6$ мкг свободного аммиака. Между тем уровень последнего в опытах НАД+НА+фумарат, НАД+НА+сукцинат, АМФ+фумарат и АМФ+сукцинат по сравнению с контрольными опытами понижается на $1,0\pm0,28$; $1,1\pm0,3$; $0,2\pm0,1$ и $1,5\pm0,16$ мкг на 1 мг белка соответственно.

Действие сукцината на деаминирование НАД и АМФ, по всей вероятности, обусловлено его переходом в фумарат.

На основании вышеприведенных результатов можно предполагать, что фумарат предотвращает отщепление аммиака из НАД и АМФ путем присоединения к амино группе аденина указанных нуклеотидов и образования НАД-сукцината и АМФ-сукцината.

Следует отметить, что тормозящее действие фумарата на эндогенное аммиакообразование проявляется гораздо слабее, чем на деаминирование НАД и АМФ. Некоторое уменьшение уровня эндогенного аммиака под действием фумарата можно объяснить или подавлением деаминирования эндогенных аденин-нуклеотидов или же усилением восстановительного аминирования а-кетоглутарата путем генерации последнего, а также НАДН и НАДФН. Однако необходимо учесть, что ввиду недостаточности эндогенных резервов активного ацетата в митохондриальной фракции, вряд ли второй путь может играть существенную роль.

В дальнейшем выяснилось (табл. 2), что как фумарат, так и сукцинат резко подавляют стимулирующее действие Д-НАД на образование свободного аммиака из АК. Из табл. 2 явствует, что АК сама по себе в митохондриальной фракции печеночной ткани продуцирует лишь незначительное количество свободного аммиака (1,43±0,57 мкг на 1 мг белка). При сочетании АК с Д-НАД уровень образовавшегося аммиака резко возрастает, достигая 8,77±0,63 мкг на 1 мг митохондриального белка, при этом сильно повышается и утилизация АК (209,7±10,0 мкг на 1 мг белка).

Из этой же таблицы видно, что фумарат и сукцинат сильно подавляют образование свободного аммиака в пробах с АК+Д-НАД+НА Количество его не только не возрастает, но даже спускается ниже контрольных величин.

Весьма вероятно, что фумарат блокирует образование аммиака из АК при участии Д-НАД путем усиленного образования НАД-сукцината, и подавления его распада на НАД и фумарат.

Таблица 2 Образование свободного аммиака из добавленного аспартата и его утилизация в митохондриальной фракции печеночной ткани в присутствии Д-НАД

Условия опыта	Прирост аммиака по сравнению с инкубиро-ванным контролем в мкг/мг белка	Утилизация аспартата в мкг/мг белка
Аспартат	$1,43\pm0,57$ (16)	36,2±7,8 (6)
Д-НАД+НА	2,88±0,9 (16)	
АК+Д-НАД+НА	8,77±0,63 (16)	209,7±10,0 (6)
АК+Д-НАД+НАсукцинат	$-1,1 \pm 0,28$ (6)	
АК+Д-НАД+НА+фумарат	-0.8 ± 0.2 (6)	

В опытах без добавлений (инкубированная проба) образуется 2,62±0,6 мкг

Таблица 3 Образование НАД-сукцината и АМФ-сукцината из добавленных НАД+фумарат и АМФ+фумарат в митохондриальной фракции печени (о синтезе вышеупомянутых соединений судили по приросту АК в гидролизатах безбелковых экстрактов митохондрий)

Условия опыта	Количество аспартата в мкг на 1 мг белка
Фиксированный кон- троль	2,65±0,28 (4)
Инкубированный кон- троль	3,4 ±0,08 (4)
Фумарат	5.1 ± 0.3 (6)
АМФ	3,4 <u>-</u> +0,36 (6)
НАД	$1,0\pm 0,13$ (6)
АМФ+фумарат	$9,2 \pm 0,5$ (6)
НАД-фумарат	$11,0 \pm 0,4$ (6)

Действительно, последующие исследования показали (табл. 3), что в присутствии добавленных НАД+фумарат и $AM\Phi+фумарат$ к митохондриальной фракции печеночной ткани синтезируются соединения, гидролиз которых приводит к образованию АК. Количество образовавшейся АК в пробах НАД+фумарат и $AM\Phi+фумарат$, составляет 11.0 ± 0.4 и 9.2 ± 0.5 мкг на 1 мг белка— соответственно. В контрольных опытах обнаруживается 3.4 ± 0.08 мкг АК.

На приведенных результатов становиться очевидным, что в пробах НАД+фумарат, АМФ+фумарат образуются НАД-сукцинат и АМФ-сукцинат.

Полученные результаты показывают также, что в опытах с одним фумаратом отмечается некоторый прирост АК (обнаруживается $5,1\pm0,3$ мкг АК на 1 мг белка), что, по всей вероятности, обусловлено его переходом в щавелево-уксусную кислоту и образованием из последней АК. Понижение уровня аммиака при наличии одного фумарата следует объяснить связыванием аминогруппы аденин-нуклеотидов. Полученные результаты подтверждают наше предположение в отношении механизма действия фумарата на эндогенное аммиакообразование (табл. 1).

В пробах с НАД уровень АК значительно понижен $(1,0\pm0,13)$. Это можно объяснить тем, что НАД, отщепляя аммиак, переходит в Д-НАД, а последний усиливает утилизацию АК. Аналогичные результаты нами были получены в предыдущих исследованиях (12) и в отношении нервной ткани.

Образование НАД-сукцината в присутствии НАД и фумарата является веским подтверждением выдвинутого нами механизма (13) о том, что продукция аммиака из АК происходит путем конденсации АК с Д-НАД с образованием НАД-сукцината, который далее расщепляется на НАД и фумарат. НАД, отщепляя свободный аммиак переходит в Д-НАД, который вновь включается в цикл.

Ս. Գ. ՄՈՎՍԵՍՅԱՆ, Ռ. Գ. ՔԱՄԱԼՅԱՆ

ՆԱԴ-սադաթթվի ճամադրումը ՆԱԴ-ից և ֆումարաթթվից ճագարների լյարդի միտոքոնդրիալ ֆրակցիայում

Ճագարների լյարդի միտոքոնդրիալ ֆրակցիայի վրա կատարած ուսումնասիրությունները ցույց տվեցին, որ ֆումարաթթուն և սադաթթուն (վերջինս Հավանական է ֆումարաթթվի վերափոխման ճանապար ով) խիստ կերպով արդելակում են ամոնիակի արտապատումը ՆԱԴ-ից և ԱՄՖ-ից։ Նույն երևույթը նկատվում է ասպարադինաթթվի և դեամինո-ՆԱԴ-ի համատեղ մասնակցության դեպքում։ Ստացված փաստերը վկայում են ՆԱԴ-սադաթթվի և ԱՄՖ-սադաթթվի դույացման մասին։ Որպես ապացույց այդ եղրակացության ծառայում է մեր կողմից ստացված հետևյալ փաստը։ Երթ ՆԱԴ-ը կամ ԱՄՖ-ը և ֆումարաթթուն ավելացվում են միասին լյարդի միտոքոնդրիաներին, ապա ինկուբացիայից հետո մեկուսացրած սպիտակուցաղուրկ հեղուկի հիդրոլիղը բերում է ասպարադինաթթվի զգալի առաջացման։ Ստացված տվյալները հաստատում են նախորդ աշխատան բներում մեր կողմից առաջ քաշված տեսակետն այն մասին, որ դեամինուն ԱՌԴ-ի վերամինացումը ասպարադինաթթվով ընթանում է ՆԱԴ-սադաթթու միջանկյալ միացության հանապարնով։

ЛИТЕРАТУРА— РРИЧИВ ПРЕЗПРО

¹ С. E. Carter and L. H. Cohen, Feder, Proc., 14, 189 (1955). ² С. E. Carter and 1. H. Cohen, J. Biol. Chem., 222, 17 (1956). ³ W. K. Joklik, Biochem. J., 66. 333 (1957). ³ D. R. Wilken and R. G. Hansen, J. Biol. Chem., 236, 1051 (1961). ⁵ C. L. Davey, Arch. Biochem. Biophys., 95, 296 (1961). ⁶ E. Okuhara and R. G. Hansen J. Biochem, 55, 287 (1961). ¹ J. B. Wyngaarden and R. A. Greenland, J. Biol. Chem., 238, 1054 (1963). ³ С. Е. Carter, J. Biol. Chem., 223, 139 (1956). ° С. Г. Мовсесян и Г. Х. Бунятян, Вопр. биохимии мозга, Изд. АН АрмССР, 4, 1968 ¹ О. Н. Lowry, N. Т. Rosebrough, A. L. Farr and R. T. Randal, J. Biol. Chem., 193, 265, (1951). ¹ А. И. Силакова, Г. П. Труш и А. Явилякова, Вопр. мед. химии, 8, 538, 1962. ¹² Р. Г. Камалян, Г. Х. Бунятян и С. Г. Мовсесян, "Биологический журнал Армении", 1968- ¹ Г. Х. Бунятян и С. Г. Мовсесян, Вопросы биохимии мозга, Изд. АН АрмССР, 2, 5, 1966.

THE IN PROPERTY OF A P. LEWIS CO.

1 - 52 (N 5 N 5 7 7 7 1

172412250 ----

WENT TO THE PARTY OF THE PARTY

XLVI

1968

5

УДК 595.773.4

ЭНТОМОЛОГИЯ

В. А. Рихтер

Новый вид паразитических мух-тахин (Diptera, Tachinidae) из Закавказья

(Представлено академиком АН Армянской ССР В. О. Гулканяном 28/III 1968)

При обработке коллекционных материалов по фауне паразитических мух-тахин Кавказа был обнаружен ранее неизвестный вид рода Tachina Meigen. Ниже приводится его описание.

Tachina avicula V. Richter, sp. п. д. Лоб в 1, 4 раза шире глаза; лобная полоса желтовато-красная, покрыта редким белым налетом; орбиты черные, блестящие, в передней части и вдоль краев глаз в густом белом налете, в черных тонких длинных волосках; лицо темно-желтое, над нижним краем несколько затемненное, покрыто белым налетом; скулы темно-желтые, покрыты густым белым налетомв тонких длинных черных волосках, доходящих до нижнего края глаза; затылочное расширение черное, в светло-сером редком налете и длинных тонких черных волосках; задняя поверхность головы черная, в светло-сером редком налете и желтовато-белых густых волосках. Скулы в 1,3 раза шире 3-го членика усиков. 2 орбитальных, 9-10 лобных, 2 заглазковых, 1-2 затеменные щетинки.



ter, sp. п., г. А-усик; Б-церки сбоку.

Внутренняя теменная щетинка длинная, крепкая; наружная теменная щетинка развита, короче внутренней. 2 основных членика усиков буровато-желтые, снаружи более или менее сильно затемнены; 3-й членик и ариста темно-бурые; 3-й членик расширен к дистальному концу, с выступающим передневершин-Рис. 1. Tachina avicula V. Rich- ным и широко сглаженным задневершинным углом (рис. 1А), в 1, 2 раза короче 2-го членика, длина его больше

своей наибольшей ширины. Подбородок черный, длина его в 6 раз больше его толщины; щупики красновато-желтые или бурые, немного короче подбородка.

Щетинки груди черные. Среднеспинка буровато-черная, с буровато-желтыми закрыловыми бугорками и полосой по боковому краю за поперечным швом, в сером налете, образующем (при взгляде спереди) четыре нечетко очерченных продольных полосы; поверхность среднеспинки в стоячих черных волосках; 3+3 акростихальных, 4+3 (у 1 7 4+4) дорзоцентральных щетинки. Щиток буровато-черный, с бурым задним краем, в сером налете и стоячих черных волосках, с з парами краевых щетинок; апикальные щетинки скрещенные, их длина составляет 4/5 длины субапикальных щетинок; преапикальные щетинки развиты. Бочки груди черные, в редком сером налете и стоячих черных волосках; 3 стерноплевральных щетинки.

Ноги в черных волосках и щетинках. Бедра черные, на вершине с вентральным буровато-красным пятном, иногда отсутствующим; голени черные или темно-бурые; лапки черные, у 2 от задние лапки буровато-красные. Коготки передних лапок в 1,5—1,7 раза длиннее их 5-го членика, который в 1,3 раза длиннее 4-го членика лапок.

Крыло темно-бурое; эполета черная, базикоста желтая, крылышко и чешуйки белые; R_{4+5} с 3—5 щетинками при основании. Жужжальца буровато-желтые.

Брюшко черное, блестящее, лишено налета; его 3-й и 4-й (у 1 лишь 3-й) тергиты по бокам с более или менее заметным буровато-красным пятном; 2-й—4-й тергиты на вентральной поверхности брюшка с узкой желтой каймой по заднему краю; 2-й—4-й тергиты в черных прилегающих щетинистых волосках на дорзальной поверхности и в стоячих волосках снизу; 5-й гергит в стоячих волосках; стерниты черные, в черных стоячих волосках, с длинными крепкими черными щетинками по заднему краю. 2-й тергит с 1 парой медиальных маргинальных и 1 парой латеральных маргинальных щетинок; 3-й тергит с 1 парой медиальных маргинальных и 1—2 парами латеральных маргинальных щетинок; 4-й тергит с 8 парами маргинальных щетинок; 5-й тергит с 3 рядами щетинок; 2-й и 4-й стерниты с 4 щетинками, 3-й с 6 щетинками.

Церки удлиненные, с зубцом на вершине (рис. 16).

Длина тела 12,5—14 мм.

Материал. Нахичеванская АССР: Насирваз Ордубадского района близ горы Капутджух (Зангезурский хребет), 3 7, 24/VI 1967, среди них голотип (В. Рихтер). Все три экземпляра собраны на дороге ущелье реки Гилян-чай, по краю высокотравного мезофитного луга с зонтичными.

Темные крылья и отсутствие налета на брюшке сближает описываемый вид с *Tachina znoikoi* Zim., рядом с которым его следует поместить в определительной таблице видов рода *Tachina* Meigen Л. С. Зимина (¹). От *T. znoikoi* Zimin описываемый вид отличается по следующим признакам: лоб в 1,4 раза шире глаза; брюшко черное (у *T. znoikoi* Zimin лоб в 1, 2 раза шире глаз; брюшко желтовато-красное, со срединной продольной черной полосой).

Типы описанного вида хранятся в коллекции Зоологического института Академии наук СССР, в Ленинграде.

Зоологический институт Академии наук СССР

Վ. Ա. ՌԻԽՏԵՐ

Պաrազիտ ճանների-տախինների (Diptera, Tachinidae) նու տեսակ Անդրկովկասից

1967 թ. Անդրկովկասում հավաքված նյութերում հայտնաբերված է Tachina սեռին պատկանող մի նոր տեսակ։ Այդ տեսակը Tachina avicula անվան տակ նկարադրված է այս հոդվածում։

ЛИТЕРАТУРА— ԳՐԱԿԱՆՈՒԹՅՈՒՆ

¹ Л. С. Зимин, Система трибы Tachinini (Diptera, Larvaevoridae). Труды Зоол. инст. АН СССР, 11: 509—636, 1935.

ՔՈՎԱՆԴԱԿՈՒԹՅՈՒՆ XLVI ՀԱՏՈՐԻ

	\$ 5
արկթիր և Shall	
II. Ե. Մաrկոսյան — Պրոգրեսիվ և ռեգրեսիվ վերջավոր օրիհնտացված գրաֆի աղեղ-	
ների բաղաները	j
ւլ Գ. Օճանջանյան — հղվող օպերատոր ունեցող ինտեգրալ հավասարումների առԹիվ	49
լ. Ա. Մաթևոսյան <i>— Մակերևույթները բերված տարածության մե</i> ջ	55
Ս. Ե. Մաբկոսյան <i>— Աղեղների թազայի միակության մատրիցային հայտանիշ և որև</i> է	
րազայի գտնումը	60
Հ. Բ. Նեrսեսյան — Վոլտերայի տիպի ընդչանրացրած հավասարումների հատկու	
թյունների մասին .	145
Մ. Գ. Կոեյն, Ֆ. Է. Մելիք-Ադամյան — Հանրագումարի պոտենցիալով կանոնիկ դի-	
ֆերենցիալ հավասարումների Տ—մատրիցաների տեսության մասին .	150
(Ի. Ա. Շիբիկյան — $y'=kA$ (x) y տեսքի սիստեմի սպեկտրալ անալիզը կիսա-	
	209
առանցքի վրա Գ. Հ. Գաբակով — Հ _ր դաշտի նախնական էլեմենտների մի հատկության մասին	213
լրեր Անրեկ Ա	
Ա. Գ. Բագդոև <i>— Անհամասեո հեղուկի շարժումը ճնշման ազդեցութ</i> յան <i>տակ</i>	67
վ. Ց. Գնունի, Լ. Ա. Մովսհսյան — <i>Գլանային Թաղանքի ժոմենտային վիճակի կայու</i> -	
նության մասին	156
Հ. Մ. Հաrությունյան — Հարվածային ալիքի և սեպի փոխազդեցության մասին	160
ՍՈԱՉԳԱԿԱՆՈՒԹՅԱՆ ՏԵՍՈՒԹՅՈՒՆ	
Մ. Ա. Ալեքսանդբյան — Շրջանային խոռոչով Թուլացված կիսահարթության համար	217
կոնտակտայի ն խնդիրը	~
ԻՆԺԵՆԵՐԱԿԱՆ ՍԵՅՍՄՈԼՈԳԻԱ	
Ռ. Հ. Համասյան, Ա. Դ. Նագաւով <i>— Սեյսմոկայունության վիճակագրական Թեորիա-</i>	
	168
մի շուրջը է. Վ. Շանսուվաբյան, Վ. Ք. Ղուկասյան — Քարային որմածքի մոդելացման մի Հնա-	
րավորության վերաբերյալ	224
ՖԻ <u>ՉԻԿԱ</u>	
Ա. Դ. Գազազյան <i>— Մասնակի կոհերե</i> նտ <i>էլեկտրամագնիսական ճառագայթման փո</i> -	
	10
խազդեցությունը ատոմների հետ Ռ. Մ. Հաrությունյան — Գերհաղորդիչ թաղանթի մասին հոսանքի առկայության	
դեպքում	97
գրագրուս Գ. Մ. Ավագյանց, Ի. Ռ. Ալտման, Ց. Մ. Ալտման — <i>Կրեմնիումային դիոդների մեջ</i>	
թացասական դիմադրության թնույթի մասին	103
թացասական դիմադրության թսույթը սասըս Դ. Մ. Հաբությունյան — Գինզթուրգ-Լանդաուի հավասարումները գերհաղորդիչում	200
	172
հոսանքի առկայության դեպքում Գ II II-leannes և II Հարությունյան — Խոսը մակարդաններ ընկորը կերանա-	112
Գ. Մ. Ավազյանց, Վ. Մ. Հաrությունյան — Խորը մակարդակներ ունեցող կիսանա-	228
լորդչի միջով հոսանքի անցման հարցի շուրջը	~ 40
	232
ի իրութրութվություր ժութուդը ծրևղտութեուրույիը ժևունիթյությություրին բ ումմություրին	202

uusenshybhu.

Ջ. Բ. Հովճաննիսյան — Ոչ ջերմային ռադիոճառագայիում ունեցող մոլորակաձև մի- դամածությունների ռելյատիվիստական էլեկտրոնների էներդետիկ սպեկտրի մասին . 3ու. Կ. Մելիք-Ալավեուլյան — Ռադիոզալակտիկաների ռադիոլուսատվության ֆունկ-	7
ցիայի մասին Յու. Կ. Մելիք-Ալավեւդյան — <i>Նորմալ գալակտիկաների ռադիոլուսատվության և Մե-</i>	
տագալակտիկայի ռադիոֆոնի պայծառության մասին	4
ԱՆՕՐԳԱՆԱԿԱՆ ՔԻՄԻԱ	
վ. Մ. Թառայան, Ժ. Մ. Առստամյան, Ջ. Ա. Միքայելյան — Ոսկու Հբստրակցիոն- ֆոտոմետրիկ որոշումը մենիլ կանաչով	11
<u> </u>	
3ա. Մ. Պաուշկին, Մ. Ա. Վոrոնինա, Լ. Ն. Ամելեխինա, Ի. Ս. Պանիդի, Դ. Ա. Չուխաջ- յան — Պոլիֆենիլացետիլենների կատալիտիկ ակտիվությունը դիմեթիլվինիլկարբինոլի դե-	7 (
հիդրատացման ռեակցիայում	
ՖԻԶԻԿԱԿԱՆ ՔԻՄԻԱ	
Ի Տ. Ղուկասյան, Հ. Հ. Չալբիկյան, Ն. Մ. Բեյլեւյան — <i>Ացետալդենիդի գոյացման</i> կինետիկան ջրային լուծույթում դիէթիլամինաէթանոլը պհրսուլֆատով օքսիդացնելիս 24	1.4
ԱԳՐՈՔԻՄԻԱ	
Ա. Շ. Դալստյան, Լ. Խ. Խաչիկյան — Կարթոնատների ազդեցությունը հողի շնչառու- թյան ուժգնության վրա	ið
ԵՐԿՐԱ ՐԱՆՈՒԹՅՈՒՆ	
Գ. Պ. Բաղդասաբյան, Ռ. Լ. Մելքոնյան — Նոր տվյալներ Էոցենի և վերին յուրայի սա մանի վերաբերյալ Ալավերդու հանքային շրջանում	
Ա. Ի. Կառապետյան — Հայկական ՍՍՀ Փամբակի հանքային շրջանի Ծաղկաշատի (Բաքարլույի) ինտրուզիայի հասակի և հանքատարության մասին . 19	
ՀԱՆՔԱԲԱՆՈՒԹՅՈՒՆ	
Հ. Գ. Ղազաբյան, Վ. Ի. Լուցենկո, Ե. Գ. Ամիբբեկյան, Ա. Գ. Հակոբյան — Քաջարանի հանքավայրի սուլֆիդային և խառը հանքաքարհրի առաջնային հանքամանրունքների մասին 11։ Ս. Հ. Այիքգյոզյան, Է. Մ. Նալբանդյան — Հյուսիսային Հայաստանի մի քանի կոլչե-	4
դանային հանքավայրերում քլորիտների միջին բեկման ցուցիչների (N _m) փոփոխության վերաբերյալ	8
ՊԵՏՐՈԳՐԱՖԻԱ	
Հ. Հ. Սարգսյան, Գ. Ս. Հարությունյան — Լիստվենիտների գենետիկական տիպերի մասին (Սևանա լճի հյուսիս-արևելյան մասի օրինակով)	()h
ԷԿՈԼՈԳԻԱ	
Վ. Ա. Ռեկուբբատսկի, Բ. Յա. Վիլենկին — Սևանի իշխանի մատղաշի ռացիոնի ձևա- վորումը տարբեր ջերմաստիճաններում	

ՌՍԳԻՈԿԵՆՍԱՔԱՆՈՒԹՅՈՒՆ

Դ. Դ. Աթայան — Ջերմային շոկերի աղդեցությունը առաջնային ճառագայթահա- րումների վրա հանգստի շրջանում դտնվող սերմերի մեջ	22
ւ բիղ ՀԻՄԻ Ա	
է. Ս. Հավունջյան, Գ. Ա. Ալեքսանյան — Ծխախոտի մի քանի արտադրական սոր-	
արև աղիրային և շածաևային վամըն	2
թ. Տ. Ղաբիբջանյան, Ռ. Ա. Զաքաբյան — Մագնեզիումի իոնների ազդեցությունը Թիո-	
ՏԷՖ-ի տոքսիկության և Հակաուռուցքային ակտիվության վրա	30
Ա. Ա. Srnqյան — Մերենդերա Ռաղեի (Merendera Raddeana) ալկալոիդային կոմպ-	9
լեքսի մասին Ա. Շ. Գալստյան, Գ. Ս. Թադևոսյան — <i>Թույլ ղարգացած հողերի ֆերմենտային</i>	39
ակտիվության մասին	83
Հ. Խ. Բունյաթյան, Ա. Վ. Հաrությունյան — Խմորասնկային հեքսոկինազայի ազդե-	
ցությունը ադենիննուկլեոտիդներից ամոնիակի առաջացման վրա ուղնղային հյուսվածքում Հայկական ՍՍՀ ԳԱ ակադեմիկոս Հ. Խ. Բունյաթյան, Ն. Հ. Եսայան, Ա. Ռ. Աւմեն–	87
յան — Գաժժա-աժինոկարագաթթվի թափանցումը արյուն-ուղեղային պատնեշով	252
Ս. Գ. Մովսեսյան, Ռ. Գ. Քամալյան — <i>ՆԱԴ-սադաթթվի համադրումը ՆԱԴ-ից և</i>	
ֆումարաթթվից ճադարների լյարդի միտոքոնդրիալ ֆրակցիայում	258
բորցսերը ՖիԶիոլոգիԱ	
Մ. Մ. Սաբկիսովա — Գիբերելինի և ССС ռետարդանտի ազդեցությունը խաղողի տար-	195
բեր սորտերի շնչառության վրա Պ. Ա. Խուբշուդյան, Գ. Ս. Ավագյան — Հույսի ինտենսիվության ազդեցությունը երի-	141
տասարդ ընկուզենու աճի վրա՝ անտառային պայմաններում	132
Վ. Հ. Ղազաբյան, Մ. Գ. Գյոզալյան — Ձմեկուսացված տերևների ջրապարունակության	
փոփոխությունը՝ կապված բույսի արմատաապահովվածության հետ	195
Ն. Լ. Քալաջյան, Մ. Ք. Չայլախյան — <i>Պալարաթակտերիաների կողմից արտադրվող</i>	
ֆիզիոլոգիապես ակտիվ նյութերի մասին	200
ԲՈՒՅՍԵՐԻ ՍԻՍՏԵՄԱՏԻԿԱ	
THE SUCHE OF USERIA	
Ի. Ի. Թումաջանով — Veronica bogosensis sp. nova. m. նոր էնդեմ Դաղստանի վե-	
րին ալպիական ադնիվալ ֆլորայից	136
ԿԵՆԳԱՆԱՔԱՆՈՒԹՅՈՒՆ	
է. Ս. Հաrությունյան — Amblyseius սեռի գիշատիչ տղերի նոր տեսակներ Հայաս-	
տանից	92
ՄԻՋԱՏԱԲԱՆՈՒԹՅՈՒՆ	
Վ. Ա. Ռիխտեր — Պարաղիտ ձանձերի-տախինների (Diptera, Tachinidae) նոր	
տեսակ Անդրկովկասից	264
^կ ննԴԱՆԻՆԵՐԻ ՄՈՐՖՈԼՈԳԻԱ	
Ա. Բ. Մելիք–Մուսյան <i>—Կատվի ուղեղիկի կեղևա-կորիզային պրոեկցիայի հարցի շուրջը</i>	205
^{Գե} ՂԱԳՈՐԾՈՒԹՅՈՒՆ	
Ռ. Ա. Ալեքսանյան <i>— Գանգլերոնի աղդեցության մեխանիզմի հարցի</i> շուրջը	38
Ս. Հ. Միրզոյան, Ռ. Ղ. Բուոյան —	00
յին արյան շրջանառության և սրտամկանի թթվածնային լարվածության վրա .	42
Դ. Ա. Քամալյան <i>— Արծաթի ֆեոֆիտի</i> նատը որպես հակամիկրոբային պրեպարատ	142

СОДЕРЖАНИЕ XLVI ТОМА

MATEMATHKA	Стр
$C.\ E.\ Маркосян$ — Базы дуг прогрессивно и регрессивно конечно ориентированного графа	3 49 55 60 145
МЕХАНИКА	
А. Г. Багдоев — Движение неоднородной жидкости под действием давления . В. Ц. Гнуни, Л. А. Мовсисян—К устойчивости моментного состояния цилиндрической оболочки	156
теория упругости	
$M.\ A.\ A$ лександрян—Контактная задача для полуплоскости, ослабленной круговой полостью	217
ИНЖЕНЕРНАЯ СЕЙСМОЛОГИЯ	
Р. О. Амасян, А. Г. Назаров—К стохастической теории сейсмостойкости Л. В. Шахсуварян, В. К. Гукасян— Об одной возможности моделирования каменной кладки	168 224
ФИЗИКА	
А. Д. Газазян — Взаимодействие частично-когерентного электромагнитного излучения с атомами Р. М. Арутюнян—О сверхпроводящем состоянии пленки с током Г. М. Авакьянц, И. Р. Альтман, Ц. М. Альтман — К природе отрицательного сопротивления в кремниевых диодах Р. М. Арутюнян — Об уравнении Гинзбурга—Ландау при наличии тока в сверхпроводнике Г. М. Авакьянц, В. М. Арутюнян—К вопросу о прохождении тока через полупроводник, содержащий глубокие уровни П. А. Безирганян, М. А. Навасардян—Зависимость структуры и интенсивности рентгеновых рефлексов от величины и направления температурного градиента	103 172 228
АСТРОФИЗИКА	
Дж. Б. Оганесян—О спектре релятивистских электронов в планетарных ту- манностях с нетепловым радиоизлучением	176

Ю. К. Мелик-Алавердян — О функции радиосветимости радиогалактик . Ю. К. Мелик-Алавердян — О радиоизлучении «нормальных» галактик и яр-кости метагалактического радиофона	
НЕОРГАНИЧЕСКАЯ ХИМИЯ	
В. М. Тараян, Ж. М. Арстамян, Д. А. Микаелян — Экстракционно-фотометрическое определение золота метиловым зеленым	15
органическая химия	
Я. М. Паушкин, М. А. Воронина, Л. Н. Амелехина, И. С. Паниди, Г. А. Чу-хаджян—Каталитическая активность полифенилацетиленов в реакции дегидратации диметилвинилкарбинола	179
фИЗИЧЕСКАЯ ХИМИЯ	
Т. Т. Гукасян, О. А. Чалтыкян, Н. М. Бейлерян—Кинетика образования ацетальдегида при окислении диэтиламиноэтанола персульфатом в водных растворах	244
АГРОХИМИЯ	
А. Ш. Галстян, Л. А. Хачикян — Влияние карбонатов на интенсивность «дыхания» почвы	188
ГЕОЛОГИЯ	
Г. П. Багдасарян Р. Л. Мелконян — Новые данные о границе эоцена и верхней юры в пределах Алавердского рудного района	18
Каджаран-480	
МИНЕРАЛОГИЯ	
А. Г. Казарян, В. И. Луценко, Э. Г. Амирбекян, А. Г. Акопян—О первичных шламах сульфидных и смешанных руд Каджаранского месторождения	
ПЕТРОГРАФИЯ	
Г. А. Саркисян, Г. С. Арутюнян—О генетических типах лиственитизации .	120
ЭКОЛОГИЯ	
В. А. Рекубратский, Б. Я. Виленкин—Формирование рациона у молоди севанской форели при разных температурах	75
РАДИОБИОЛОГИЯ	
Р. Р. Атаян—Влияние температурных шоков на первичные лучевые повреж- дения хромосом, вызванные облучением покоящихся семян	22

виохимия

Э. С. Авунджян, Г. А. Алексанян — Состав аминокислот и сахаров в сырье	
некоторых промышленных сортов табака	- 2
и антибластическую активность Тио-ТЭФ	3
А. А. Трозян — Об алкалондном комплексе Мерендеры Радде	3
А. Ш. Галстян, Г. С. Татевосян — О ферментативной активности слабораз-	
витых почв	8:
Г. Х. Бунятян, А. В. Арутюнян—Влияние дрожжевой гексокиназы на образование аммиака из адениннуклеотидов в мозговой ткани	81
Г. Х. Бунятян. Н. А. Есаян, А. Р. Арменян— О проникновении гамма-амино-	
масляной кислоты через гемато-энцефалический барьер	253
С. Г. Мовсесян, Р. Г. Камалян—К вопросу образования НАД-сукцината из	
добавленных НАД и фумарата в митохондриальной фракции печеночной ткани	250
кроликов	200
ФИЗИОЛОГИЯ РАСТЕНИИ	
М. М. Саркисова-Влияние гиббереллина и ретарданта ССС на дыхание у	
различных сортов винограда	127
П. А. Хуршудян, Г. С. Авакян—О природе влияния интенсивности освеще-	
ния на рост молодых деревьев ореха грецкого, произрастающих в лесном фитоценозе	139
В. О. Казарян, М. Г. Гезалян—Об оводненности неизолированных листьев и	102
ее изменении в зависимости от корнеобеспеченности растений	195
H. Л. Каладжян, М. Х. Чайлахян—О физиологически активных веществах,	225
выделяемых клубеньковыми бактериями	200
СИСТЕМАТИКА РАСТЕНИЙ	
И. И. Тумаджанов-Veronica bogosensis sp. nova тновый эндем верх-	
неальпийской аднивальнои флоры Дагестана	136
ЗООЛОГИЯ	
Э. С. Арутюнян—Новые виды хищных клещей рода Amblyseius Berlese, 1904	
(Parasitisormes, Phytoseidae) из Армении	92
ЭНТОМОЛОГИЯ	
В. А. Рихтер—Новый вид паразитических мух-Тахин (Diptera, Tachinidae)	
из Закавказья	264
МОРФОЛОГИЯ ЖИВОТНЫХ	204
1 Б. Мелик-Мусьян — К вопросу о корково-ядерных проекциях мозжечка кошки .	205
ФАРМАКОЛОГИЯ	
P = A = A corresponds to	
Р. А. Алексанян — К вопросу о механизме действия ганглерона С. А. Мирзоян, Р. Г. Бороян—Влидино	38
нарное кровообращение и кислородиет на коро-	
Г. А. Камалян — Об антибактериальном свойство изменя	42
с хлорофиллом	142
	1 16

